

Vysoká škola: střední a textilní
v Liberci
Katedra: textilních a oděvních
strojů

Fakulta: střední
Školní rok: 1986/87

ZADÁNÍ DIPLOMOVÉ PRÁCE

(PROJEKTU, UMĚLECKÉHO DÍLA, UMĚLECKÉHO VÝKONU)

EGSAM IBRAHIM

pro

obor 23-21-8 Strojní zařízení pro chemický, potravinářský a spotřební průmysl

Vedoucí katedry Vám ve smyslu nařízení vlády ČSSR č. 90/1980 Sb., o státních závěrečných zkouškách a státních rigorózních zkouškách, určuje tuto diplomovou práci:

Název tématu: Návrh a konstrukce automatizovaného zařízení na hodnocení textury a povrchu textilií.

VYŠOKÁ ŠKOLA STROJNÍ A TEXTILNÍ
Ústřední knihovna
LIBEREC 1, STUDENTSKÁ 6
PSČ 461 17

1. Skoncujte posuneky metod kontinuálního hodnocení textury a povrchu textilií.
2. Navrhniče zařízení a provedte jeho konstrukci pro automatizované hodnocení textury plošných textilií.
3. Navrhniče zařízení a provedte jeho konstrukci pro hodnocení kvality povrchu plošných textilií.
4. Navrhniče jednotlivou automatizační soustavu pro oba výše uvedené mechanické systémy.
5. Výrobní podklady dodajte k realizaci do vývojových cílů.

Rozsah grafických prací: Výrobní výkresová dokumentace

Rozsah průvodní zprávy: 15 - 20 stran A4

Seznam odborné literatury:

Diplomové práce VŠSP Liberec

Begin, M.: DP VŠSP Liberec 1986

Časopisy TEXTIL, ročníky 1970 až 1986.

Sodenka, L.: Textil 1978, č. 7

Sodenka, L.: Textil 1981, č. 4, 5

Textiltechnik 1981

Vedoucí diplomové práce: RNDr. Ing. L. Sodenka, JSC.

Datum zadání diplomové práce: 30. 9. 1986

Termín odevzdání diplomové práce: 12. 5. 1986

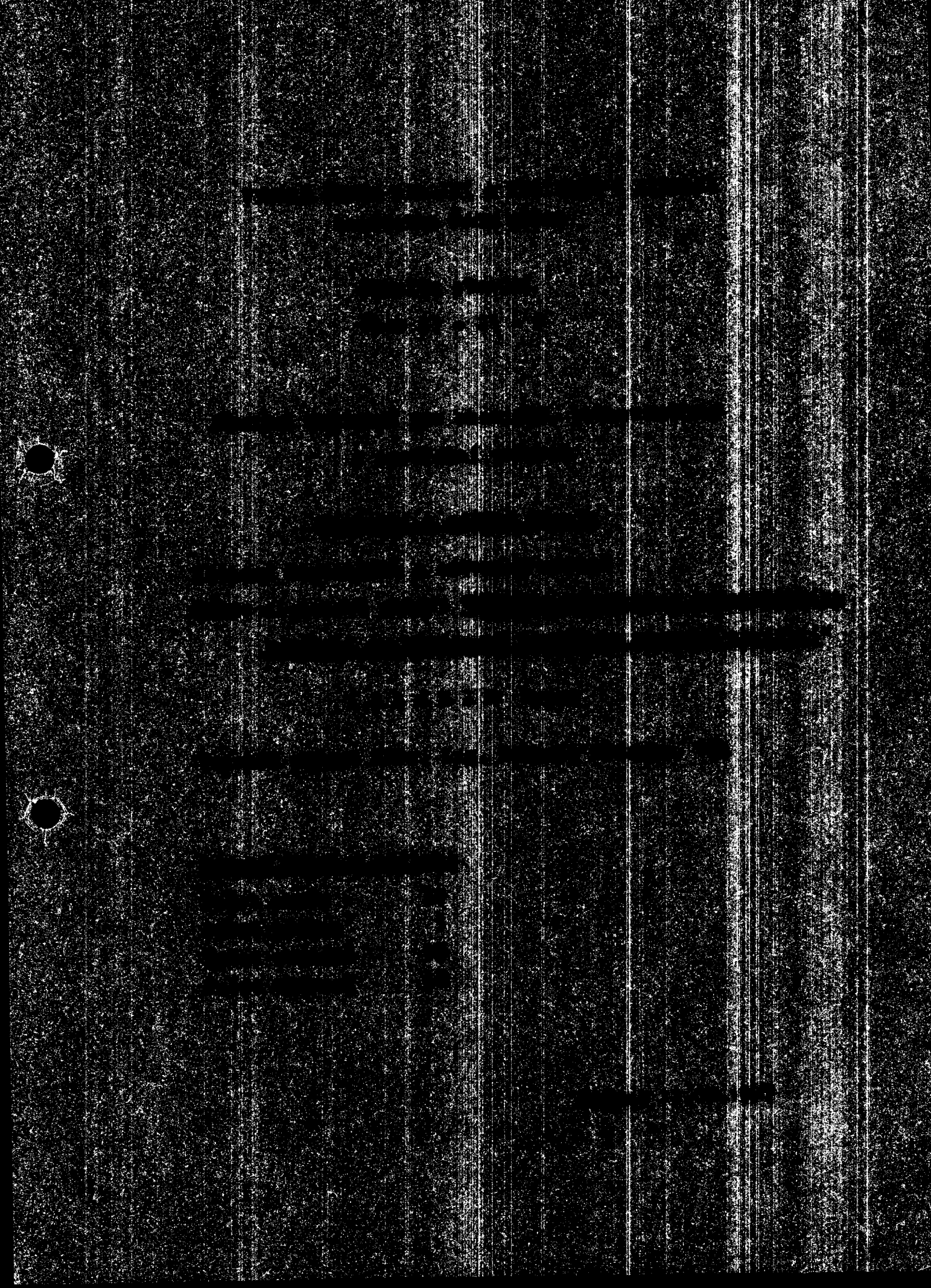
L. S.

Prof. Ing. Václav Prášil, DrSc.

Vedoucí katedry

Děkan

v Liberci dne 30. 9. 1986



VYSOKÁ ŠKOLA STROJNÍ A TEXTILNÍ V LIBERCI
nositelka Řádu práce

Fakulta strojní

Obor 23 - 21 - 8

Strojní zařízení pro chemický, potravinářský
a spotřební průmysl

Textilní a oděvní stroje

Katedra textilních a oděvních strojů

Název diplomové práce: "Načer a konstrukce automatického
zařízení na hodnocení textury a povrchu textilií"

I B R A H I M Issam

Vedoucí práce: RNDr. Ing. Lubomír Sedonka, CSc

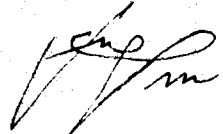
Rozsah práce a přílohy:

Počet stran	38
Počet příloh	1
Počet obrázků	10
Počet výkresů	46

Datum: 11.05.1987

Nefotografičně prohlašuji, že jsem diplomovou práci vypracoval
samostatně s použitím uvedené literatury

V Liberci, dne 11. května 1987



OBSAH

Předmluva

1. Význam studia textury a kontinuální metody pro její hodnocení
 - 1.1. Úvod
 - 1.2. Pojem textury
 - 1.3. Stupeň textury netkané textilie
 - 1.4. Rozdělení metod určování textury netkané textilie
 - 1.5. Kontinuální metody
 - 1.6. Mikroskopická metoda
 - 1.6.1. Teoretická podstata
 - 1.6.2. Řečková metoda
 - 1.6.3. Průsečíková metoda
 - 1.6.4. Experimentální technika - kvantitativní obrazová analýza
 - 1.7. Rozptylová metoda
 - 1.7.1. Teoretická podstata
 - 1.7.2. Experimentální technika - difrakce
- 1.8. Porovnání metod
2. Návrh zařízení pro automatické hodnocení textury - ZHT2
 - 2.1. Návrh ZHT2
 - 2.2. Výpočty související s konstrukcí a návrhem ZHT2
 - 2.2.1. Výpočet převodového poměru
 - 2.2.2. Výpočet potřebného výkonu
 - 2.2.3. Pevnostní výpočet důležitých součástí
 - 2.2.3.1. Kontrola pohybového šroubu na vzpěr
 - 2.2.3.2. Kontrola pohybového šroubu na tlak, krut a tah
 - 2.2.3.3. Kontrola pozice č. 21 a č. 23

- 3. Návrh a konstrukce zařízení pro hodnocení kvality povrchu plošných textilií - ZMSP-1**
 - 3.1. Piezoelektrická metoda**
 - 3.2. Návrh a konstrukce ZMSP-1**
 - 3.3. Výpočty související s konstrukcí a návrhem ZMSP-1**
 - 3.3.1. Výpočet převodového poměru a rychlosti posuvu plošné textilie ve směru x**
 - 3.3.2. Výpočet potřebného výkonu k posuvu plošné textilie ve směru x**
 - 3.3.3. Pevnostní výpočet důležitých součástí**
 - 3.3.3.1. Kontrola otočného šroubu na tah, tlak a krut**
 - 3.3.3.2. Kontrola pozice č. 27**

4. Návrh jednotné automatizační soustavy

Závěr

Senzory použité literatury

PŘEDMLUVA

V předkládané diplomové práci se zabývám návrhem a konstrukcí zařízení pro automatické hodnocení textury a povrchu plošné textilie.

Základním podkladem této práce bylo autorské osvědčení RNDr. Ing. Lubomíra Sodomky, CSc. a piezoelektrická metoda používaná na katedře fyziky. Obě konstrukce jsem navrhoval tak, aby mohly být realizovány ve vývojových dílnách VŠST. Práce je rozpracována do kapitol následujícím způsobem:

1. Význam studia textury a kontinuální metody pro její hodnocení.
2. Návrh a konstrukce zařízení pro automatické hodnocení textury /ZHT2/.
3. Návrh a konstrukce zařízení pro hodnocení stejnoměrnosti povrchu plošných textilií /ZMSP-1/. Do této kapitoly jsem zahrnul posmatky o piezoelektrické metodě, která je navržena pro kontinuální hodnocení hodnocení stejnoměrnosti povrchu textilie.
4. Ideový návrh automatizační jednotné soustavy pro ZHT2 a ZMSP-1.

Závěrem práce je návrh nové rozmetylové metody, shrnutí získaných posmatků a možnostech jejich využití v budoucnosti.

1. VÝZNAM STUDIA TEXTURY A KONTINUÁLNÍ METODY PRO JEJÍ HODNOCENÍ

1.1. Úvod

V poslední době dochází k růstu výroby netkaných textilií. Z toho vyplývá, že netkané textilie zaujmou v budoucnosti významné místo v textilní výrobě. Jelikož je netkaná textilie tvořena samotnou spletí vláken nebo spletí a pojivem, dají se její vlastnosti v neomezeném rozmezí měnit změnou její struktury, tj. rozložením vláken ve vrstvě i v prostoru nebo rozložením a velikostí vazebních míst. Z toho důvodu je netkaná textilie méně definovatelná oproti tkanině nebo pletenině. Každou netkanou textilii lze považovat za individuum. Pro upřesnění definice netkané textilie je třeba objasnit některé základní veličiny odvozené z nejrůznějších fyzikálních zákonů; např. hustota, tloušťka, součinitel zaplnění atd.

Z metod určování některých parametrů struktury netkané textilie mají dobrou perspektivu metody popisující texturu netkané textilie.

1.2. Pojem textury

[1]

K definici textury /orientace vláken/ netkaných textilií je třeba zavést pojem prvku struktury netkaných textilií. Tímto prvkem struktury nutným k vymezení pojmu textury je třeba volit základní prvky netkané textilie, tj. nejkratší přímkové úseky vláken, jejichž jednotkovým vektorem je určena jejich orientace. Považujeme-li netkanou textilii za rovinny útvar, můžeme v ní směr popisovat jediným polárním úhlem θ . Texturu rovinné netkané textilie pak definujeme jako funkci úhlu θ určenou poměrem

$$T/\theta / = \frac{n/\theta /}{N}$$

/1/

kde $n/\theta /$ je počet vlákenných úseků ležících ve směru θ ,

N je jejich celkový počet ve sledovaném vzorku netkané textilie.

Vyneseme-li funkci $T/\theta /$ do polárního diagramu nebo histogramu, dostaneme úplnou charakteristiku textury netkané textilie. Pro teorii a pro praxi je důležité určovat funkce $T/\theta /$ experimentálně a najít vhodné číselné charakteristiky této funkce, které by vystihovaly jedním číslem texturu netkané textilie.

1.3. Stupeň textury netkané textilie

K celkové charakteristice textury netkané textilie je možné zavést i reprezentativní číselnou hodnotu, kterou nazveme stupněm textury. Pro stupeň textury netkané textilie bylo zavedeno různými autory několik definicí, které nyní uvedeme. Všechny užívají nejvyšších a nejnižších hodnot z texturní funkce $T/\theta /$, které označíme n^+ a n^- a jsou tvaru

$$S_1 = /n^+ - n^-/ / 1/2$$

/2/

$$S_2 = \frac{S_1}{n^+}$$

/3/

$$S_3 = \frac{n^+ - n^-}{n^+}$$

/4/

$$S_4 = \frac{n^+ - n^-}{n^+ + n^-}$$

/5/

Podrobnější informace o takto zavedených stupních textury lze najít v [1,2]

1.4. Rozdělení metod určování textury netkané textilie

Metody určování textury netkané textilie lze rozdělit na metody přímé a nepřímé, které pak dělíme na destruktivní, nedestruktivní a analogické. Při přímé metodě určujeme obě veličiny

texturní funkce T/θ , n/θ a N přímo. U nepřímých metod určujeme tyto veličiny zprostředkováně; nejlépe přes veličiny, které jsou n/θ a N úměrné.

Např.: Přímé metody - vážením odříznutých částí trásní
- mikroskopické

Nepřímé metody - založená na vzlínavosti tekutin v netkané textilii
- rozptylová
- difrakční

Analogové metody - počátečního modulu

Metody lze rozdělit na nekontinuální a kontinuální.

1.5. KONTINUÁLNÍ METODY

Kontinuálními metodami rozumíme metody, které jsou určeny pro hodnocení netkané textilie a dá se jich použít v laboratoři nebo v provozu. Jsou to metody mikroskopické a metody založené na rozptylu světla.

1.6. Mikroskopická metoda

1.6.1. Teoretická podstata

K určení texturní funkce T/θ je třeba určit počet nejkratších přímkových úseků /diferenciálů/ do daného směru a celkový počet těchto úseků N ve vzorku. Nejdříve tedy musíme určit základní prvek textury netkané textilie, tj. nejkratší přímkový orientovaný úsek vlákna. K tomu je třeba používat mikroskopu nebo rastrovacího mikroskopu s ne příliš velkým zvětšením a zkoumat mikrosnísky z více míst netkané textilie, z nichž budeme určovat L - a L_0 , přičemž L - je nejkratší úsek vlákna, L_0 jednotkový vektor tohoto úseku. Pak se již rozdělí všechna vlákna na tyto úseky a spočítá se jejich počet ležící ve směru θ . Celkový počet vlákných úseků N se určí ze vztahu

$$N = \frac{L}{L_0}$$

/6/

kde L je celková délka vláken v vzorku.

Počítat všechny orientace L/θ by však bylo značně pracné, proto bylo navrženo několik metod, jak určení n/θ zjednodušit.

1.6.2. Úsečková metoda

Stanovení počtu n/θ lze zjednodušit tak, že na mikrosnímku vytýcímme čtverec a v úvahu bereme jen ty části vláken, které protinou jeho dvě protilehlé strany. Jejich větší počet v jednom směru určuje n_+ a jejich menší počet ve směru kolmém určuje n_- . Těchto hodnot se pak užívá dosazením do vzorců /2/ až /5/ k hodnocení stupně textury netkané textilie.

1.6.3. Průsečíková metoda

Do středu kruhového mikrosnímku upevníme otáčivé rameno a počítáme průsečíky vláken s tímto polopaprskem stálého poloměru v závislosti na úhlu nastavení θ . Úhel θ měříme mezi referenčním směrem a normálem k otáčivému rameni. Vynesnením počtu průsečíků v závislosti na úhlu θ , podělený celkovým počtem průsečíků do všech směrů, dostáváme texturní funkci T/θ , z níž je možné určit nejvyšší a nejnižší počet průsečíků n_+ a n_- a z nich pak podle /2/ až /5/ stupeň textury netkané textilie.

Polární diagramy texturní funkce určené průsečíkovou metodou popisují texturu pavučiny, rouna, netkané textilie. Tyto útvary mohou být podle rozložení vláken v textuře i velmi nesymetrické. Proto je výhodné k interpretaci nesymetrie polárních diagramů sestrojit různé modelové standardní diagramy a jich použít k interpretaci nesymetrie polárních diagramů. Průsečíková metoda, kterou nyní naznačíme, byla zpracována teoreticky na Vysoké škole technické v Karl-Marx-Stadtu.

Při odvození vyjdeme z ideálně uspořádané textury, kterou tvoří rovnoběžná ekvidistantní vlákna, jež nazveme paprsky. Kolmo na soustavu paprsků vedeme úsečku délky $L/\text{obr. } 1/$. Počet průsečíků této úsečky s paprsky označme N . Otočením úsečky délky L o úhel φ bude počet průsečíků paprsků a úsečkou n určen vztahem

$$n = N |\cos \varphi|$$

/7/

Absolutní hodnota byla zavedena do vztahu /7/ proto, že jak n , tak i N jsou celá kladná čísla. Pro ideálně uspořádanou /dokonalou/ texturu bude závislost $n = n/\varphi/$ kladná kosinová křivka /obr. 2/, pro ideálně neuspořádanou texturu úsečka rovnoběžná s osou, pro obecnou strukturu má pak $n = n/\varphi/$ zcela obecný průběh /obr. 2/. Obor úhlu φ stačí uvažovat 0 až π , neboť π je periodou uvažované úlohy. Plochy pod křivkami $n = n/\varphi/$ ideálně uspořádané textury, ideálně neuspořádané a obecné textury označme A_1, A_2 a A v tomto pořadí. Mají-li netkané textile stejnou celkovou délku vláken, pak platí $A_1 = A_2 = A = 2N$. Přeměníme-li v tomto případě plochu pod křivkou $n/\varphi/$ libovolné textury na plochu ideálně neuspořádané textury, takže $A_1 = A_2 = A = n_s \pi$, určíme tak střední počet průsečíků vlákených úseků n_s s úsečkou $L/\text{obr. } 3/$.

Po zavedení výše uvedených pojmu lze stupeň textury definovat takto: Stupeň textury netkané textilie S_5 je poměr ploch, z nichž první tvoří plocha mezi křivkou reálné textury $n/\varphi/$, kterou označíme A_{real} , a přímou ideálně neuspořádané textury a druhou křivka ideálně uspořádané textury s toutéž přímou pro stejnou celkovou délku vláken v sledované textuře, kterou označíme A_{max} , takže

$$S_5 = \frac{A_{\text{real}}}{A_{\text{max}}}$$

/8/

přitom

$$A_{\text{real}} = \int_0^{\pi} |n/\varphi| - n_s | d\varphi$$

/9/

$$A_{\max} = 2 \int_0^{\pi} (N \cos \varphi - n_s) d\varphi + 2 \int_{\varphi_1}^{\pi/2} (n_s - N \cos \varphi) d\varphi$$

vede to pro $\varphi_1 = 50,46^\circ$ ke vztahu

$$A_{\max} = 0,472 \text{ A}$$

/10/

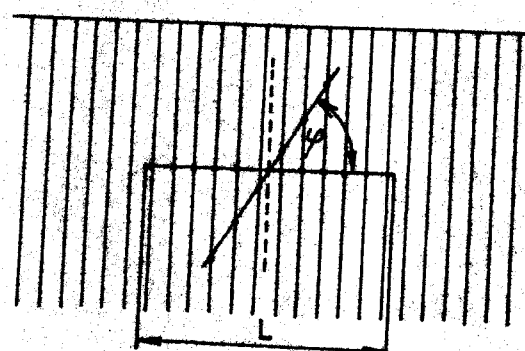
Přejdeme od integrace k sumaci rozdělením intervalu 0 až π na m tříd, dostaneme dosazením /9/ a /10/ do /8/ pro stupen orientace S_5 výraz

$$S_5 = 2,34 \frac{\sum_{i=1}^m |n_i - n_s|}{\sum_{i=1}^m n_i}$$

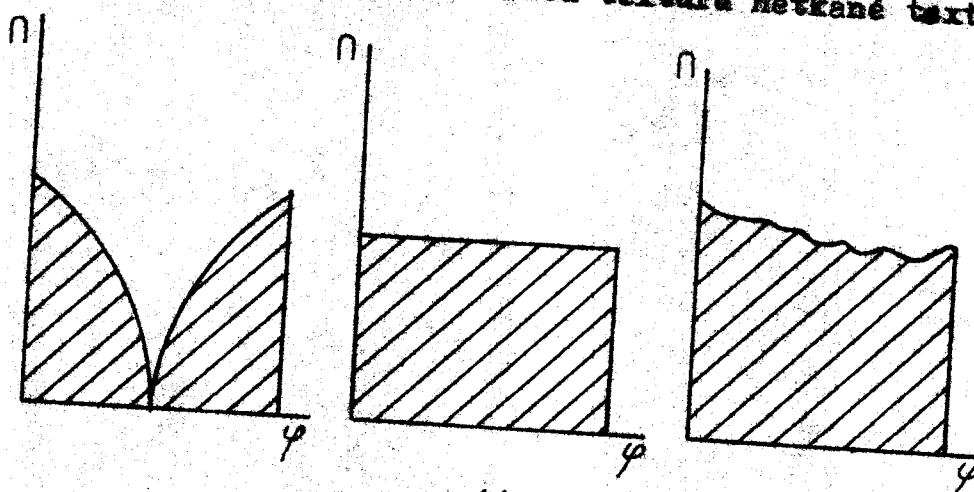
/11/

jehož je možno přímo použít k vyhodnocení textury při zjištění průsedků paprsků /vláken/ s danou referenční úsečkou L.

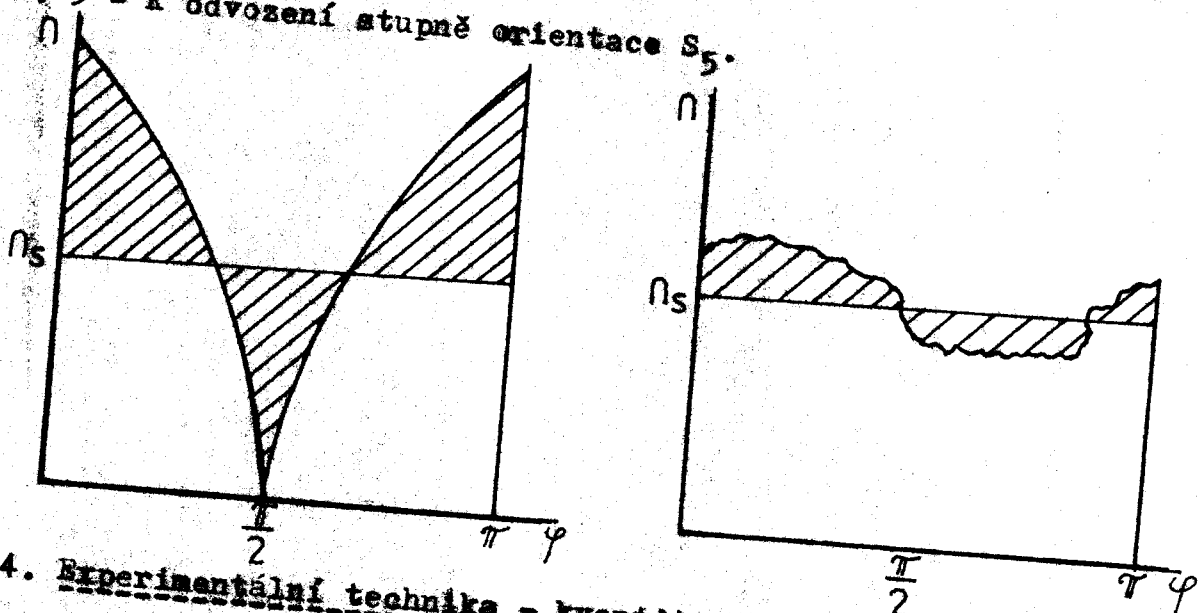
Obr. 1 - K odvození vztahu /7/ na ideální texturu.



Obr. 2 - Závislost $n = n/\varphi$ pro ideálně uspořádanou, ideálně nespořádanou a obecnou texturu netkané textilie.



Obr. 3 - K odvození stupně orientace S_5 .



1.6.4. Experimentální technika - kvantitativní obrazová analýza

Kvantitativní obrazová analýza založená na moderních zobrazovacích optoelektronických principech patří mezi univerzální metody pozorování přímých obrazů, podobně jako oko. Tato technika umožňuje přímé vyhodnocování a kvantifikování obrazů nejrůznějšího původu, jako jsou mikroskopické, elektronomikroskopické snímky, hologramy i difrakční obrazce. Jedním z takových složitých zařízení ke kvantitativnímu snímání obrazů je Quantimet 720. Základním příslušenstvím přístroje jsou reflexní a transmisní mikroskopy, optoelektronický převaděč obrazu s monitorem a vyhodnocovací jednotky s počítačem. K dalšímu vybavení patří rastrovací mikroskop, dia- a filmprojektor nebo epidiaskop. Proto je možné takovýmto zařízením vyhodnocovat snímky z makro i mikroblastí sledovaných vzorků. Detektor Quantimetu rozděluje obraz vzorku na 720 řádků a na televizní obrazovce se objevuje obraz vzorku. Růžením obrazového paprsku vzniká matici bodů obrazu. Jeden řádek tvoří 890 obrazových bodů. Tímto systémem je možné spočítat počet průsečíků zobrazovacího svazku s vlákny a po dosazení do vzorce /11/ určit stupeň orientace

S_5 netkané textilie. Vysoká cena Quantimetu a jeho nedostupnost v běžné laboratoři vedly k realizaci jednoduššího systému pro vyhodnocení textury netkaných textilií průsečíkovou metodou. Vzorek netkané textilie se vloží do mikroskopu. Vzorkem je nutné posuvat po osách X a Y v jeho vlastní rovině. V ohrazovém poli je umístěn fotonásobič, který zaznamenává změny světla způsobené průchodem vlákna při pohybu stolku mikroskopu. Tak je možné zaregistrovat každý průsečík světelného paprsku s vláknem. Z počtu průsečíků lze určit podle /1/ stupen textury S_5 .

Blokové schema téhoto zařízení je na obr. 6. Za fotonásobič téhoto zařízení byl zvolen typ M10FS29 firmy K. Zeiss Jena spolu se zdrojem vysokého napětí Pho 1 téže firmy. Pracovní napětí na fotonásobiči bylo 1 kV. Pulsy z fotonásobiče se po zesílení počítaly univerzálním čítačem UZ3514.

1.7. Rozptylová metoda

1.7.1. Teoretické podstata

Po objevu laserů a jejich komerční dostupnosti se ukazuje výhodné použít optických rozptylových metod k určování textury netkaných textilií. Jde o metodu analogickou určování textury vláken, drátů, fólií nebo plechů při studiu jejich mikrostruktury užitím difrakce rentgenového záření. Laserové záření, představující koherentní zdroj záření, zastupuje zdroj rentgenového záření. Krystality a jejich orientace představují orientované úsečky vláken vzorku, přičemž plošná netkaná textilie odpovídá fólii nebo plechu. Pro jednoduché teoretické úvahy předpokládají autoré [1], že zkoušená netkaná textilie tvoří plošný tvar ve tvaru roviny. Dopadá-li na rovinou vzorek netkané textilie rovinná monochromatická vlna o vlnovém vektoru k_0 , a roz-

ptyluje se do směru popsaným vlnovým vektorem k , je možné odvodit pro vektor intenzity rozptyleného elektromagnetického záření E_r vztah /5/.

$$E_r = E_0 \exp(i\omega t) \int ds R/r \exp(-ir.K) \quad /12/$$

kde E_0 je amplituda vektoru intenzity dopadajícího laserového záření,

ω jeho úhlová frekvence,

r polohový vektor zkoumaného místa vzorku určeného elementární plochou,

ds vzorku netkané textilie,

$$K = k - k_0.$$

Veličina

$$A/K = \int ds R/r \exp(-ir.K) \quad /13/$$

v níž strukturní rozptylová strukturní funkce R/r , představující rozptylovou schopnost laserového záření z jednotkové plochy vzorku, je amplituda rozptylového záření modulovaná strukturou vzorku netkané textilie.

Veličinu R/r , která je obrazem struktury netkané textilie vypočteme z /14/ Fourierovou transformací, takže

$$R/r = \int dS A/K \exp(+ik.r) \quad /14/$$

Integrace se nyní provádí přes plochu S reciprokého prostoru, jehož prvky jsou i vektory k , k_0 , K .

Podívejme se nyní na důsledky uvedených vztahů pro studium textury rozptylem laserového světla. K tomu účelu zavedeme pojem ideální textury textilie, kterou tvoří podobně jako tomu bylo v obr. 1 soustava paralelních ekvidistantních nití /pa-prsků/ bez příčného rozměru a nekonečně dlouhých. Strukturní rozptylová funkce R/r bude v tomto případě jednorozměrná a ve tvaru

$$R/x/ = \sum_{m=-\infty}^{m=+\infty} \delta(x - na)$$

kde n je celé číslo,

/15/

a je periodická vzdálenost mezi paprsky, což je součet Diracových funkcí δ .

Provedeme-li Fourierovou transformaci funkce $R/x/$, dostaneme pro jenorozměrnou amplitudu $A/K/$ v reciprokém prostoru /což je prostor světelného pole rozptýleného záření/ výraz

$$A/K/ = \sum_{m=-\infty}^{m=+\infty} \delta(K - \frac{2\pi m}{a})$$

/16/

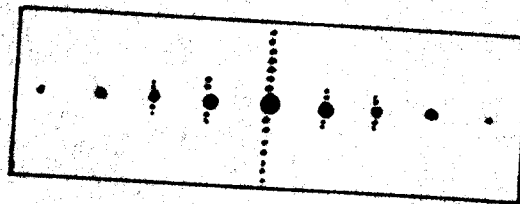
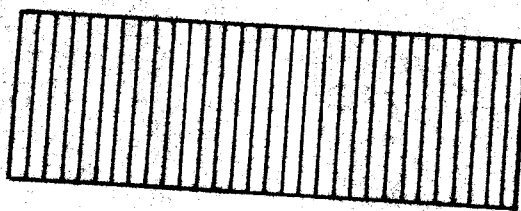
kde m je celé číslo.

Z něho je vidět, že rozptylovým obrazem ideální textury bude soustava difrakčních bodů periodicky rozmístěných ve vzdálenosti $2\pi/a$. Má-li soustava vláken konečný podélný profil a jsou-li vlákna konečná, omezená vnějším tvarom, projeví se tato skutečnost na modulaci jednotlivých difrakčních bodů. Takto vytvořené textury budeme říkat dokonalá periodická textura a její difrakční záznam, omezený obdélníkovým tvarom, představuje obr.4. Vedlejší maxima kolem difrakčních stop kolmo na difrakční přímku ukazují vliv tvaru vláken a vnějšího obdélníkového vzorku.

Je-li při orientaci vláken v netkaných textiliích vzdálenost mezi vlákny proměnná, tj. $a = a/x/$, je proměnná i vzdálenost $2\pi/a$ v difrakčním reciprokém prostoru a difrakční stopou je spojitá přímka kolmá na směr záření a soustavu rovnoběžných vláken. Strukturu nazveme dokonalá aperiodická. Jsou-li části vláken orientovány i do jiných směrů, pak difrakční stopy rozptýlí v případě textury nerovnoměrně a v případě textury nerovnoměrně v difrakční rovině. Takový difrakční záznam odpovídá reálné texturě netkané textilie. Tvar difrakčního obrazce, který je pro texturu protáhlý, je obrazec textury v reciprokém pros-

tu. Spojíme-li místa stejné intenzity v difrakčním obrazci, dostáváme obrasy textury uvedené jalo příklady na obr. 5. Čím je obrazec protáhlnejší, tím je textura výraznější. Jsou-li difrakční obrazce kruhové, jde o neorientovaný vlákený materiál. I když difrakční obrazce uvedené na obr. 5 charakterizují úplnou texturu, je výhodné zavést k jejímu popisu jediné číslo - stupň textury netkané textilie. K určování stupně orientace vláken textilní byla zavedena řada veličin, ne však každá z nich je vhodná pro difrakční optické metody. Pro hodnocení textury optickými metodami je možné použít několika veličin definovaných jako stupně textury, které jsou analogické vztahům /2/ až /5/.

Obr. 4 - Ideální struktura s obdélníkovým okrajem a její difraktogram.



1. Stupeň orientace podle Sodomky O_1

$$O_1 = (R_{\max}^2 - R_{\min}^2)^{1/2}$$

/17/

a jeho modifikaci

$$O_2 = \frac{R_1}{R_{\max}}$$

/18/

2. Stupeň orientace podle Orcharda O_3

$$O_3 = \frac{R_{\max} - R_{\min}}{R_{\max}}$$

/19/

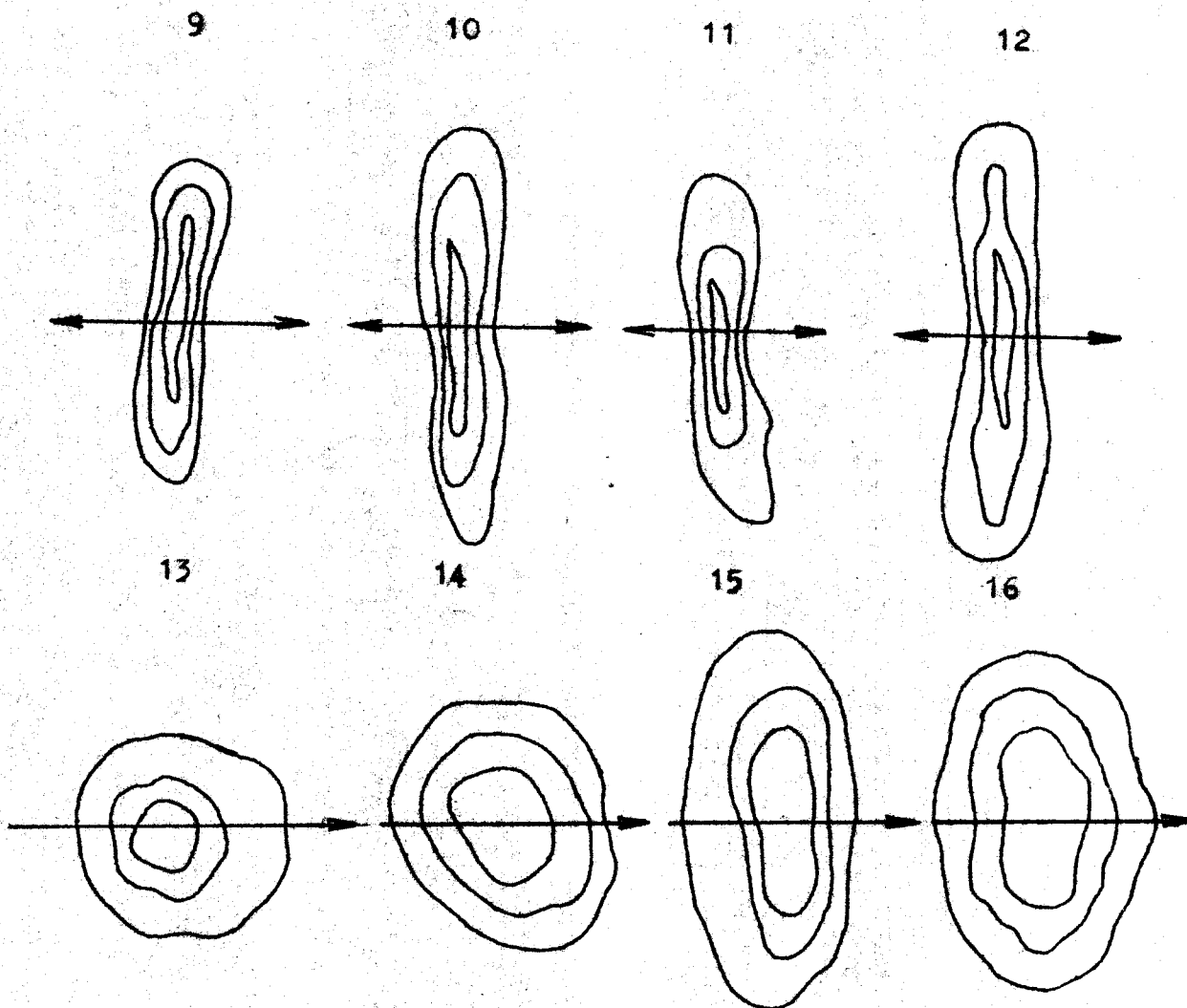
3. Stupeň textury podle Sodomky O_4

$$O_4 = \frac{R_{\max} - R_{\min}}{R_{\max} + R_{\min}}$$

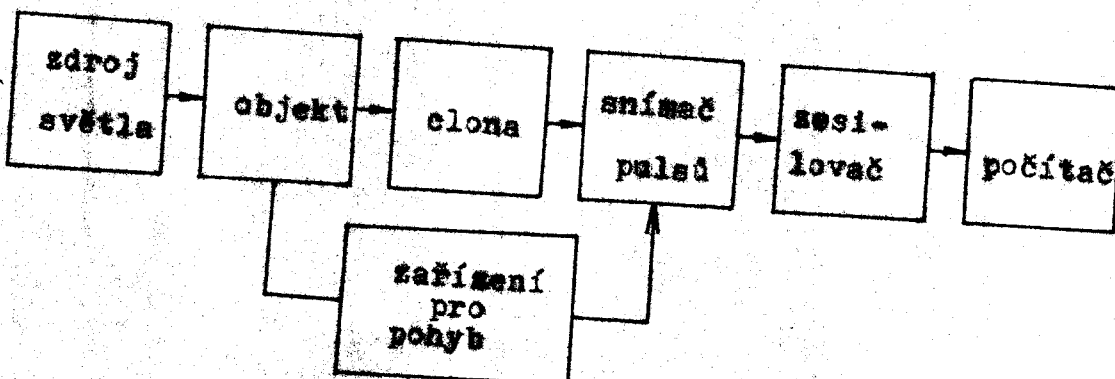
/20/

v nichž R_{\max} je největší vzdálenost izointenzivního difrakčního obrazce od jeho středu.

Obr. 5 - Izointenzivní obrazce popisující textury vzorků 9 - 16.



Obr. 6 - Blokové schéma optoelektronického zařízení pro průsečíkovou metodu.



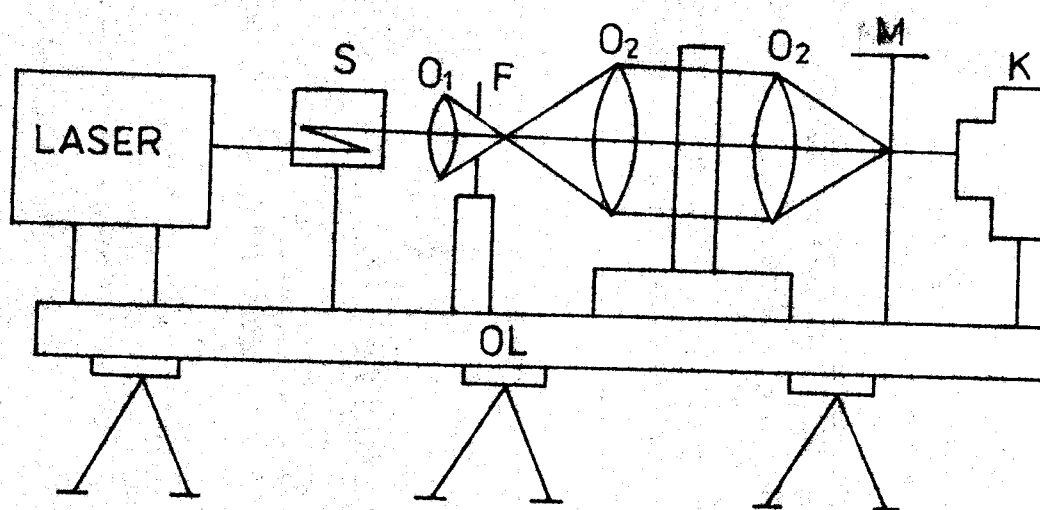
1.7.2. Experimentální technika - difrakce

Pro určování textury netkaných textilií difrakčními opticky-metodami je vhodné užívat optického difraktometru. Chceme-li zkoušet velké vývory netkaných textilií, je třeba mít k dispozici velké svitelná pole, což vyžaduje objektivy velkých průměrů. Součástí takového difraktometru, jehož princip je na obr. 7, jež ještě helium-neonový laser, prostorový filtr a objektivy rozšiřující původní laserový záření a vytvářející široké rovnoběžné optické pole, do kterého se vkládá vzorek netkané textilie nebo jejího rovinatého fotografického snímku. V ohniskové rovině třídy objektivu pak zaznamenáme difrakční obraz, který představuje kvalitativně úplný sázecí textury netkané textilie. Přetvarením difrakčních sázecí na film fotometru a spojením míst stejně intenzity zaznamenáme difrakční obraz, který uvedený již na obr. 5, což jsou, jak jich bylo řečeno, sázecny textury v reálném difrakčním prostoru.

K rychlejšímu využití sázecí difrakčních obrazů přímo ze svitelného difrakčního pole byl navržen a konstruován difraktometr. Do ohniskové roviny difrakčního pole se umístí oddělující se kontaktní rovinou kolmou k optické ose difraktometru s osou otáče-

ní v optické ose soustavy. Kotouč je opatřen štěrbinou směrující radiálně od středu kotouče. Za štěrbinou jsou umístěny citlivé fotoelektrické detektory, které při otáčení kotouče sejmou rozložení difraktované intenzity texturou netkané textilie. Tím dostáváme sáznam textury v závislosti na úhlu, který představuje texturu. Ten je možné překreslit do polárního diagramu a máme tak obraz úplné textury netkané textilie. Z polárního diagramu pak užitím vzorek /17/ až /20/ můžeme číselně kvantifikovat texturu pomocí jejího stupně podle vztahů /2/až/5/za předpokladu, že n_+ a n_- jsou poměrná nejvyšší a nejnižší intenzita v křivce rozptýleného záření, tj. že platí $n_+ = kI_{\max}$, $n_- = kI_{\min}$.

Obr. 7 - Experimentální uspořádání rozptylové metody:



- OL - optická lavice,
- S - směrovač laserového paprsku,
- O₁ - objektiv,
- F - prostorový filtr,
- O₂ - objektivy omezující rovnoběžné pole světla, vnější je umístěn vzorek,
- M,K - zobrazovací prostředky (matnice nebo kamera).

1.8. Porovnání metod

Z praxe několika autorů [1] bylo rozhodnuto, že metoda průsečíková vyžaduje k rozlišení jednotlivých vláken mikroskopické zvětšení. Je to metoda přímá a lokální, ale požaduje náročné a drahé vyhodnocovací zařízení typu Quantimet. Difrakční metody /rozptylové/ mohou být lokální nebo integrální. Neboť difrakční obrazec lze sejmout jak z různých míst vzorku, tak i ze vzorku velkoplošného. Celkový difrakční obrazec dává ihned kvalitativně nahlédnout do textury netkané textilie. Metoda průsečíková bude vždy metodou laboratorní. Rozptylová metoda se dá technicky zdokonalit i pro provozní automatizovaná zařízení. Společnou výhodou obou metod je jejich nedestruktivnost a možnost užití stupně textury definovaného vztahy /2/ až /5/, /11/, /17/ až /20/.

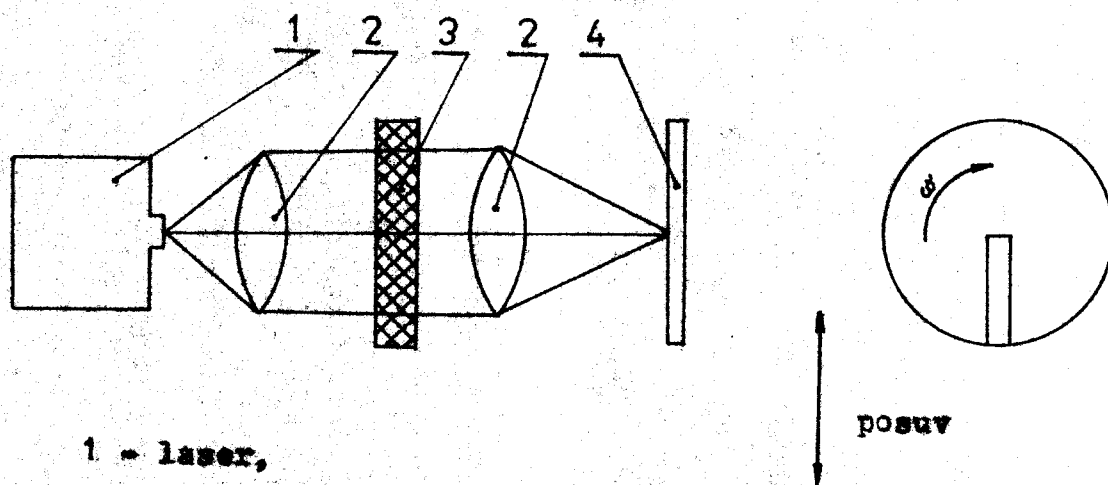
Velkou výhodu a přesnost má difrakční metoda určování textury netkaných textilií, které poskytuje mnohem více údajů o orientaci vláken již z jednoho měření. Další velkou předností difrakční techniky určování textury netkaných textilií je možnost optického modelování textury a jejího porovnání se skutečností.

2. NÁVRH ZAŘÍZENÍ PRO AUTOMATICKÉ HODNOCENÍ TEXTURY - ZHT2

2.1. Návrh ZHT2

Při něm návrhu jsem vycházel z A.O. č. 185949 RNDr. Lubomíra Sodenky CSc., které bylo určeno pro kontinuální zjišťování textury netkaných textilií, jehož princip je na obr. 8. V tomto návrhu se jedná o rozptylovou metodu [3]. Laserové záření prochází netkanou textilií a dopadá na fotomásobič, jenž je umístěn za radiální štěrbinou. Z fotomásobiče vychází záman o textuře netkané textilie jako funkce úhlu měření. Pomocí této metody je možné průběžně určovat orientaci vláken v netkané textilii, přímo a papíru.

Obr. 8 - Princip optické kontinuální rozptylové metody určování textury netkané textilie.



- 1 - laser,
- 2 - čočka,
- 3 - netkaná textilia,
- 4 - kotouč se štěrbinou.

Na základě této metody jsem navrhl zařízení pro automatické hodnocení textury /ZHT2/ a provedl jsem konstrukci na výkresu číslo KTS - 102 - 000. Zařízení se skládá ze třicetičtristí součástí. Základ tvorí ložiskové těleso s valivým ložiskem, do kte-

ráho je vložen dutý hřídel. Ke hřídeli je připevněn kotouč s otvory po patnácti stupních, pomocí nichž můžeme zjistit, pod kterým úhlem měříme elektrooptickým snímačem. Za kotoučem je na druhém konci hřídeli připevněna štěrbina, za niž je fotonásobič uložený do trubky, která je nalisována do ložiskového tělesa s přesahem. Otáčení štěrbiny se uskutečňuje přes převod skládající se z třího kotouče a náboje nalisovaného do hřídele motorku TUR-4NB. Aby se zvyšovalo tření mezi třecím kotoučem a nábojem, je na náboji nehyzem prýkový kroužek. Motorek lze připojit k regulátoru odporu - typ U-118/1 /R = 0 + 800 Ω . Tím dosáhneme změn v otáčení štěrbiny ve velkém rozmezí. Registrace posunu se uskutečňuje pomocí pohyblivého šroubu a matice připojené k ložiskovému tělesu. Šroub se otáčí a matice se posouvá. Příslušenství k ZMT2 je nakresleno na výkresu číslo KTS - 102 - 018 a skládá se z upínací a přitlačné desky. Mezi obě desky se bude vkládat plstěná textilie.

Podrobnější informace o konstrukčním provedení lze najít v dokumentu k diplomové práci.

2.2. Výpočty související s konstrukcí a mýrkou ZMT2

2.2.1. Výpočet mýrového poměru

$$i = 9,4$$

převodový poměr

$$D_2 = 165$$

průměr výstupního třecího kotouče

$$D_1 = 16$$

průměr vstupního třecího kotouče

γ

měrný sklon

$$n_1 = 75 \text{ ot/s}$$

$$= 0,02 \pm 0,03, \text{ voleno } 0,02$$

maximální otáčky motorku za sekundu

$$n_2 = 7,25 \text{ ot/s}$$

otáčky motorku

maximální otáčky výstupního kotouče

MK₁

krouticí moment působící na vstupní
třecí kotouč

MK₂

krouticí moment působící na výstupní
třecí kotouč

$$i = \frac{D_2}{D_1} \cdot \frac{1}{1 - \varphi} = \frac{n_1}{n_2} = \frac{MK_2}{MK_1} = 9.4 \quad /1.2/$$

otáčky štěrbinky

$$n = 0 \cdot 7.98 \text{ ot/s}$$

Poměrná literatura [4].

2.2.2. Výpočet potřebného výkonu

Při výpočtu potřebného výkonu jsem použil redukční metody. Na hřídele motorku jsem vypočítal redukovany moment setrvačnosti $J_{1\text{red}}$. Při výpočtu jsem použil literatury [5].

$$J_{1\text{red}} = J_1 + J_2 \quad /2.2/$$

$J_1 = 2 \cdot 10^{-6} \text{ kgm}^2$ moment setrvačnosti působící na vstupní třecí kotouč

$J_2 = 9 \cdot 10^{-6} \text{ kgm}^2$ moment setrvačnosti působící na výstupní třecí kotouč, dutý hřídel, štěrbinku a ložisko

$$H_1 = (J_{1\text{red}}) \cdot \varepsilon_1 = (J_1 + J_2 i) \varepsilon_1 = 0.07 \text{ Nm} \quad /3.2/$$

$$\varepsilon_1 = \frac{\omega_1}{t_1} = \frac{2\pi n_1}{t_1} \quad /4.2/$$

$t_1 = 6s$

doba rozběhu motorku do maximálních
stád /změnu rychlosti provádime přes
regulátor odpory/

maximální úhlová rychlosť motorku
potřebný výkon

$$P = H_1 \cdot 2\pi n_1 = 33 \text{ W}$$

ω_1

p

Zvolil jsem motorek TUR2-4Nb :

otáčky	4 500 ot/s
krouticí moment	0,089 Nm
výkon	40 W

2.2.3. Povrchovní výpočet důležitých součástí

2.2.3.1. Kontrola pohybového šroubu na vspěr /pozice č. 7/

Předpokládal jsem, že hmotnost všech součástí, které se posouvají, působí v osi pohybového šroubu. Axialní sílu působící v osi šroubu jsem stanovil pomocí /5.2/.

$m = 10 \text{ kg}$ hmotnost všech součástí, které se posouvají

$g = 9,81 \text{ m s}^{-2}$ gravitační zrychlení

F_a axiální síla

$$F_a = m \cdot g = 98,1 \text{ N}$$

/5.2/

Kontrola pohybového šroubu na vspěr se provádí pomocí rovnice /6.2/ pro stanovení kritické sily.

$s = 5 \text{ mm}$ stoupání závitu

$\sigma_{cr} = 320 \text{ MPa}$ kritické napětí

$d_3 = 18,5 \text{ mm}$ malý průměr závitu

$l = 112 \text{ mm}$ délka šroubu

$J = \frac{\pi d^4}{64}$ moment tuhosti v kratu

$$\sigma_{cr} = \frac{\sigma_{cr}^2 \cdot l}{4 l^2 \cdot s} = 190 \text{ N}$$

/6.2/

k spouštěník bezpečnosti

$$k = \frac{\sigma_{cr}}{F_a} = 1,94$$

Kontrola šroubu na vspěr vyhovuje.

Použitá literatura [6].

2.2.3.2. Kontrola pohybového šroubu na tlak, krut a tah /pozice č. 7/

Pohybový šroub se na tlak kontroluje pomocí rovnice /7.2/.

$$p_D \leq 5 \text{ MPa}$$

dovolený tlak v závitech

$$K_B = 1$$

součinitel nerovnoměrnosti rozložení

$$hw = 2,75 \text{ mm}$$

zatížení matice po výšce

$$t = 5 \text{ mm}$$

aktivní hloubka závitu

$$F_a = 98,1 \text{ N}$$

rozteč závitu

$$d_2 = 21,5 \text{ mm}$$

střední průměr závitu

$$z = 4$$

minimální počet zubů

$$P_{\max}$$

maximální tlak

$$P_{\max} = \frac{F_a \cdot K_B}{\pi d_2 \cdot hw \cdot z} = 0,14 \text{ MPa}$$

/7.2/

Kontrola šroubu na tlak vyhovuje.

Pro kontrolu pohybového šroubu na krut stanovíme minimální moment potřebný k otáčení pomocí rovnice /8.2/.

$$\gamma = 4,234^\circ$$

úhel stoupání závitu šroubu na střední průměr závitu

$$d_2 = 21,5 \text{ mm}$$

střední průměr závitu

$$F_a = 98,1 \text{ N}$$

axiální zatížení šroubu

$$M_{\min} = F_a \cdot \operatorname{tg} \gamma \cdot d_2 \cdot 0,5 \approx 0,08 \text{ Nm}$$

/8.2/

Pro výpočet potřebného momentu k otáčení šroubu jsem předpokládal součinitel bezpečnosti $k = 4$ a výpočet jsem provedl podle /9.2/.

$$M = k \cdot M_{\min} = 0,32 \text{ Nm}$$

/9.2/

$$\tau$$

smykové napětí

$$d_3 = 18,5 \text{ mm}$$

malý průměr závitu

$$w_3 = \frac{\pi d_3^3}{16}$$

$$\tau = \frac{M}{w_3} \approx 1 \text{ MPa}$$

/10.2/

Kontrola šroubu na krut pomocí vzorce /10.2/ vyhovuje.

Kontrolu šroubu na tah vypočítáme pomocí vztahu /11.2/.

64 tahové napětí

$\sigma_{t,D} = 150 \text{ MPa}$ dovolené napětí v tahu

G_x redukované napětí se stanoví podle rovnice /12.2/

$$\sigma_1' = \frac{P}{A} = 0.2 \text{ MPa} \quad /11.2/$$

$a_3 = 0,25 \pi d_3^2$ přířez šroubu

$$\sigma_x = \sqrt{\sigma_t^2 + 3x^2} = 1,8 \text{ MPa} \leq \sigma_{tB} \quad /12.2/$$

Kontrola hřešku na tak vyhovuje.

2.2.3.3. Kontrola pozice č. 21 a č. 23

Obě pozice se kontrolují na tah pomocí vzorce /13.2/.

$\sigma_{tp} = 150 \text{ MPa}$ dovolené napětí v tahu

$d_1 = 4,773 \text{ mm}$ malý průměr závitu M6

$d_3 = 4.773$ mm maly prumer zavitu M6

$P_a = 98,1 \text{ N}$ axiální sáníčení kroužku

$i = 4$ počet šroubu

$$\sigma_k = \frac{P}{\pi/4 d_3^2 \cdot 1} = 1,5 \text{ MPa}$$

Kontrola vykouuje pro obě pozice.

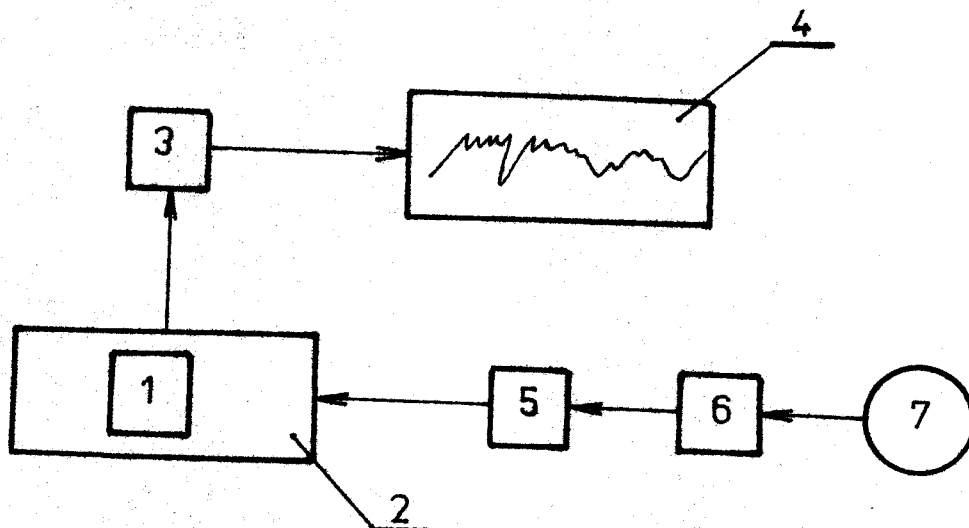
Poznámka: Ostatní součásti, které jsou méně namáhány, byly také skontrolovány, ale nebereme je v úvahu. Při výpočtech jsem použil literaturu [4,5,6,].

3. NÁVRH A KONSTRUKCE ZARIŽENÍ PRO HODNOCENÍ KVALITY POVRCHU PLOŠNÝCH TEXTILIÍ - ZMSP-1

3.1. Piezoelektrická metoda

Vzhledem k tomu, že dosud nejsou známy kontinuální metody pro hodnocení stejnoměrnosti povrchu plošných textilií, byla navržena na katedře fyziky Vysoké školy strojní a textilní v Liberci piezoelektrická metoda. Tato metoda je založena na kontinuálním snímání povrchu tkaniny piezoelektrickým čidlem pracujícím na piezoelektrickém principu /obr. 8/. Změny napětí jsou znázorněny grafickým zapisovačem.

Obr. 8 - Experimentální uspořádání piezoelektrické metody.



- 1-piezoelektrický snímač,
- 2-stůl pro uchycení vzorku,
- 3-impedanční převodník,
- 4-grafický zapisovač,
- 5-převodní ústrojí,
- 6-elektrémotor,
- 7-zdroj napětí.

Posuv výmorku může být řešen buď ručně nebo automaticky pomocí elektromotoru.

Grafický zášnam podává informaci o struktuře tkaniny. Zachycuje vady tkaniny i nerovnoměrnosti v rozložení jednotlivých nití. Přímo v grafu jsou vyčleněny úseky, kde se vyskytuje vada a úseky bez viditelné vady. Grafický zášnam podává informaci o dostavě, směrnách průměru nití, vadových místech. Vzdálenosti maxim charakterizují rovnomořnosti z hlediska dostavy. Z grafu lze vyjádřit údaje o průměru nití a jejich směnách. Vzdálenosti minim a jejich směry charakterizují nerovnosti průměru nití v tkanině, což ovlivňuje v směrné nítě nerovnosti celé tkаниny.

Pomocí této metody se provádějí tyto výpočty:

D

příslušná dostava

$$D = \frac{1}{L} \cdot 10 / \text{niti cm}^{-1}$$

L_{max}

vzdálenost maxim

L_{min}

vzdálenost minim

\bar{x}

aritmetický průměr zkoumané veličiny

$$\bar{x} = \frac{1}{n} \sum_{i=1}^n x_i$$

x_i

saměřená hodnota zkoumané veličiny

i

pořadové číslo saměřených hodnot

$$i = 1, 2, 3, \dots, n$$

n

počet provedených měření

s

směrodatná odchylka

$$s = \sqrt{s^2}$$

$$s^2 = \frac{1}{n-1} \sum_{i=1}^n (x_i - \bar{x})^2$$

v

variační koeficient

$$v = \frac{s}{\bar{x}} \cdot 10^2 / \%$$

3.2. Návrh a konstrukce ZMSP-1

Ve svém návrhu jsem vycházel z piezoelektrické metody. Tato metoda však měla určité technické nedostatky z hlediska posuvu a převodového ústrojí. Sestrojil jsem zařízení, které odstranilo nedostatky. Zařízení se skládá ze třiceti devíti součástí. Základ tvoří levá a pravá postrannice, které jsou uchyceny pomocí vspěrné tyče a nosníku. Otočný šroub je uložen ve dvou ložiskách. Pomocti vedení 1 a otočného šroubu se uskutečňuje automatický posuv ploché textilie /ve směru x/ uchycené v rámečku, jenž je vložen do rámu. Ruční posuv ploché textilie v příčném směru /y/ nám umožňuje vedení 2 a stavěcí šroub. K otočnému šroubu je přiložena stupnice, pomocí níž lze přesně nastavit posuv ploché textilie v příčném směru. Snímač stejnoměrnosti je tvořen ramínkem HC-13 s krystalovou vložkou VK 4202. Toto ramítko lze zaměnit za ramítko HC-15 s magnetickou vložkou. Při pohybu ploché textilie pod hrotom vložky dochází k piezoelektrickému jevu. Vlivem změny povrchu ploché textilie se mění elektrické napětí v přenosce a přenáší se na zapisovač. Převodové ústrojí je uloženo uvnitř zařízení. Aby byl posuv ploché textilie ve směru x konstantní, je k převodovému ústrojí připojen motor. Motor též umožňuje zpětný chod ploché textilie.

Podrobnější informace o konstrukčním provedení lze najít v dodatku k diplomové práci.

3.3. Výpočty související s konstrukcí a návrhem ZMSP-1

3.3.1. Výpočet převodového poměru a rychlosti posunu ploché textilie ve směru x

Na obr. 9 je znázorněno kinematické schéma převodového ústrojí.

$$n_1 = 22,8 \text{ ot/s} \quad \text{otáčky motorku}$$

$$z_1 = 30$$

počet zubů 1. kola

$$z_2 = 120$$

počet zubů 2. kola

$$z_3 = 25$$

počet zubů 3. kola

$$z_4 = 120$$

počet zubů 4. kola

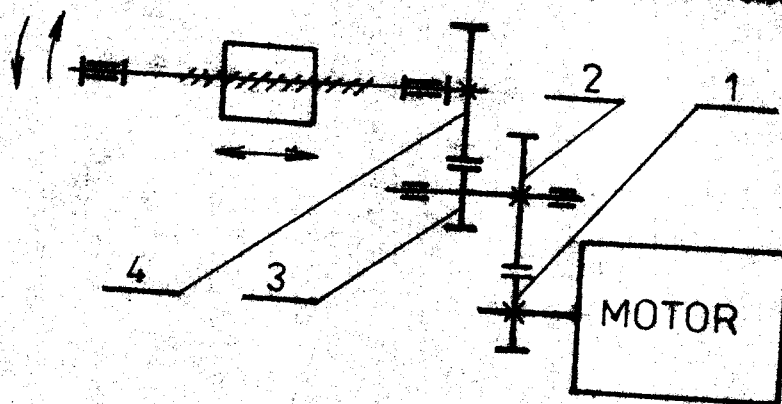
$$i = 19,2$$

převodový poměr se počítá podle /1.3/

$$n_g = 1,1875 \text{ ot/s}$$

otáčky šroubu se počítají podle /2.3/

Obr. 9 - Kinematické schéma převodového ústrojí.



$$i = \frac{z_2 \cdot z_4}{z_1 \cdot z_3} = 19,2$$

/1.3/

$$n_g = \frac{1}{i} = 1,1875 \text{ ot/s}$$

/2.3/

Rychlosť posuvu plôžnej textilie vo známe x sa počítá podle /3.3/

$$d_2 = 11 \text{ mm}$$

střední průměr závitu

$$\gamma = 3,1223^\circ$$

úhel stoupání na střední průměr závitu

$$n_g = 1,1875 \text{ ot/s}$$

otáčky šroubu

$$v = \pi \cdot n_g \cdot d_3 \cdot \operatorname{tg} \gamma = 2,29 \text{ mm/s}$$

/3.3/

3.3.2. Výpočet potřebného rýhovnu k posuvu plôžnej textilie

$$21,59254 \text{ g}$$

soudinitel smykového tření

$$\alpha = 30^\circ$$

úhel profile závitu

$$t' = 0,231$$

soudinitel tření v závitu se počítá
podle vzorce /4.3/

$$\rho = 13^\circ$$

třecí úhel v závitu se počítá podle
vzorce /5.3/

$$P_1 = 15,7 \text{ N}$$

$$\gamma = 3,1223^\circ$$

$$\varphi = 0,9 + 0,95$$

$$m = 7 \text{ kg}$$

$$r_g$$

$$g = 9,81 \text{ m/s}^2$$

$$r_a$$

$$k = 4$$

minimální axiální síla potřebná k posunu se podílí podle vztahu /6.3/ úhel stoupání na střední průměr závitu součinitel vyjednávající stráty v závitech k nepřesnosti výroby a stráty v ležiskách jsem volil 0,9
možnost působení na šroub

$$r_g = m \cdot g = 68,6 \text{ N}$$

tíhová síla působící na šroub

tíhové zrychlení

$$f' = \frac{s}{\cos \alpha} = 0,231$$

$$\rho' = \operatorname{arctg} \frac{s}{\cos \alpha} = 13^\circ$$

$$P_g = r_g \cdot f' = 15,7 \text{ N}$$

/6.3/

/5.3/

/6.3/

potřebná axiální síla k posunu plošné textilie ve závitu k podle vzorce /7.3/ součinitel bezpečnosti

$$P_a = k \cdot P_g = 63,2 \text{ N}$$

/7.3/

Potřebný krouticí moment působící na šroub se zjistí podle /8.3/

$$M_{Kg} = 0,1 \text{ Nm}$$

$$d_g = 11 \text{ mm}$$

$$r_g = \frac{d_g}{2}$$

$$M_{Kg} = r_g \cdot P_g \cdot \operatorname{tg}(\gamma' + \rho') \approx 0,1 \text{ Nm}$$

/8.3/

Potřebný výkon působící na šroub P_1 vypočítáme podle /9.3/

$$P_1 = M_{Kg} \cdot 2\pi \cdot n_g = 0,6 \text{ W}$$

/9.3/

Potřebný výkon motorku se vypočítá podle /10.3/

$$P_2 = \frac{P_1}{\gamma_g} = 4,8 \text{ W}$$

/10.3/

Zvolil jsem motor CT4C34 :

otáčky

1 370 ot/min

kroutící moment

0,07 Nm

výkon

10 W

3.3.3. Příprava k výpočtu důležitých součinitelů

3.3.3.1. Kontrola otocného šroubu na tak, tlak a krut

$$M_{K_m} = 0,07 \text{ Nm}$$

kroutící moment motorku

$$i = 19,2$$

převodový poměr

$$M_{K_S} = 1,344 \text{ Nm}$$

kroutící moment působící na šroub
se vypočítá podle /11.3/

$$P_a = 155 \text{ N}$$

axiální síla působící v ose šroubu se
vypočítá podle /12.3/

$$P_D = 5 \text{ MPa}$$

dovolený tlak v šroubu

$$z = 15$$

počet závitů matice /vedení 1/

$$d_2 = 11 \text{ mm}$$

střední průměr závitu

$$d_3 = 9,9 \text{ mm}$$

malý průměr závitu

$$P_{MAX} = 0,48 \text{ MPa}$$

maximální tlak na bodních plochách zá-
vitu se vypočítá podle /7.2/

$$k_B = 1$$

součinitel nerovnoměrnosti rozložení
zatížení po výšce matice

$$h_V = 1,25 \text{ mm}$$

aktivní hloubka závitu

$$\tau = 5,2 \text{ MPa}$$

smykové napětí se počítá podle /10.2/

$$\sigma_t = 18,0 \text{ MPa}$$

tauhové napětí se vypočítá podle /11.2/

$$\sigma_p = 18,8 \text{ MPa}$$

redukované napětí se vypočítá podle
/12.2/

$$\sigma_D = 110 \text{ MPa}$$

dovolené napětí v taku

$$M_{K_S} = M_{K_m} \cdot i = 1,344 \text{ Nm}$$

/11.3/

$$P_4 = \frac{M_{K_4}}{r_4 \cdot \operatorname{tg}(\gamma + \delta)} = 155 \text{ N}$$

$r_4 = 30 \text{ mm}$

poloměr rostědné kružnice 4. kola

$$r_4 = m \cdot z/2$$

$m = 0,5$

modul

$z = 120$

počet zubů

Kontrola šroubu na tlak podle /7.2/

$$P_{\max} = 0,48 \cdot P_D$$

Kontrola šroubu na tah podle /11.2/

$$\sigma_t = \frac{\tau}{s_3} = 18 \text{ MPa}$$

$$s_3 = \pi \cdot \frac{d_3^2}{4} = 5,2 \text{ MPa}$$

Kontrola na krut podle /10.2/

$$\tau = \frac{M_K}{w_3} = 5,2 \text{ MPa}$$

$$w_3 = \frac{\pi}{16} \cdot d_3^3$$

$$\sigma_t = \sqrt{\sigma_t^2 + \tau^2} = 18,8 \text{ MPa} \leq \sigma_{tD}$$

Kontrola šroubu vyhovuje.

3.3.3.2. Kontrola pozice č. 27 / pero 2x2x9 /

Pero se na tlak kontroluje podle vzorce /12.3/.

$$P_D = 120 \text{ MPa} \quad \text{dovolený tlak}$$

$$P = 5,6 \text{ MPa} \quad \text{tlak na boční plochy pero}$$

$$M_{K_B} = 1,344 \text{ MPa} \quad \text{kroutící moment}$$

$h = 4 \text{ mm}$

$d = 6 \text{ mm}$

$l = 9 \text{ mm}$

$$p = \frac{4 M_{K_B}}{h \cdot d \cdot l} = 6 \text{ MPa}$$

/12.3/

Kontrola pera vyhovuje.

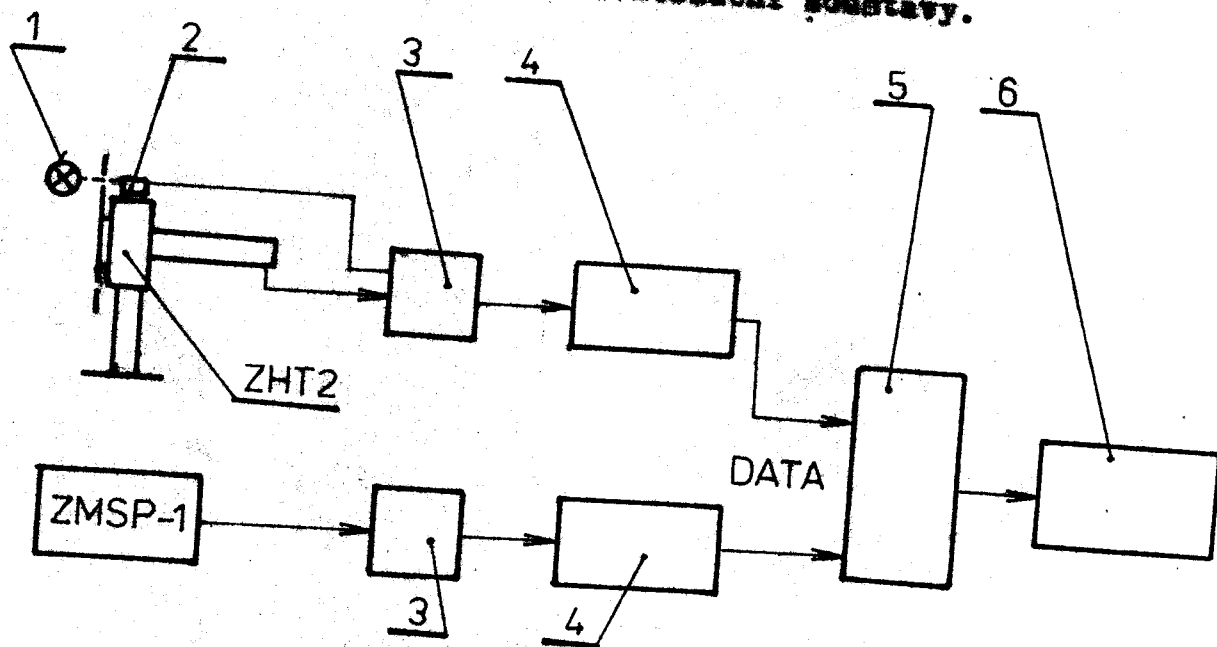
Poznáka : Při kontrolních výpočtech namáhaných součástí jsem
použil literaturu [4,5,6,7,8,9].

4. NÁVRH JEDNOTNÉ AUTOMATIZAČNÍ SOUSTAVY

Cílem této jednotné automatizační soustavy je zpracovávat informace získané ze ZHT2 nebo ZMSP-1. Měřením úhlu φ na ZHT2 získáme n jako funkci tohoto úhlu. Jednotná automatizační soustava nám najde n+ a n-, se kterých nám vypočítá S_1 , S_2 , S_3 , S_4 a nákreslí texturní diagram (viz kap. 1).

Změřením x_i na ZMSP-1 nám jednotná automatizační soustava vypočítá Σ , s, v (viz kap. 3). Získaný získané pomocí ZHT2 a ZMSP-1 slouží jako data zadávaná přes analytickodigitální převodník a kazetový magnetofon do počítače. Z tiskárny získáme výsledky.

Obr. 10 - Schéma jednotné automatizační soustavy.



- 1 - světelný zdroj,
- 2 - elektrooptický snímač,
- 3 - analytickodigitální převodník,
- 4 - kazetový magnetofon,
- 5 - počítač,
- 6 - tiskárna.

ZÁVĚR

Zařízení pro hodnocení textury /ZHT2/ nám umožňuje průběžně sledovat textury plošných textilií. Vyskytuje se v něm jedna velká nevýhoda - sledování textury se děje otáčením štěrbiny, což v konstrukčním řešení požadovalo zjistit otáčení štěrbiny. Proto bych se chtěl zmínit o nové rozptylové metodě, která využívá laserové záření podobně jako ZHT2 [12]. Při této metodě je otáčení štěrbiny zcela zrušeno. Ze dvou roviných skel 1 a 2 se vytváří radiální průhledné elektrody 11 + 18, spolu s vývody na okraji skla. Na druhém skle se vytváří průhledná elektroda 0 po celé ploše. Mezi takto připravená skla 1 a 2 se vytvoří nematická stočená textura, postupným připojováním napětí mezi průhlednou elektrodou 0 a radiální průhledné elektrody 11 + 18 se vytváří postupně radiální štěrbiny, jimiž prochází na textilním útvaru rozptylené záření. Vytvoří tak posloupnost signálů pro texturní diagram. Průhledná elektroda 0 má jediný vývod a ostatní radiální elektrody mají každá svůj zvláštní vývod. Na tyto radiální elektrody se pak připojuje postupně napětí, jimiž dochází postupně k zprůhlednění, elektrickým přepínačem se přivádí nízké napětí postupně na štěbinové elektrody. Tato metoda se zatím nemůže uskutečnit ve vývojových dílnách VŠST, ale může být dobře využívána v budoucnosti.

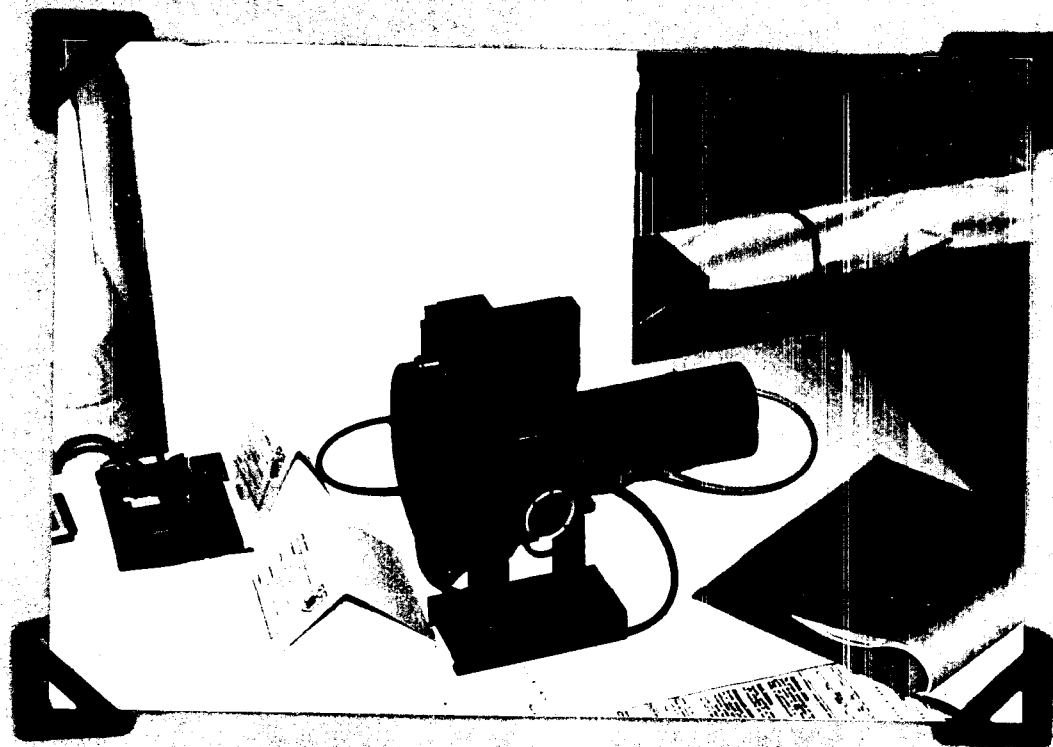
Závěrem bych chtěl poděkovat vedoucímu a konzultantovi diplomové práce RNDr. Ing. Lubomírovi Sedomkovi, CSc. za usměrňování v práci a pomoc při získávání odborné literatury, pracovníkovi vývojových dílen VŠST Petru Kuřákovi za realizaci ZHT2.

SEZNAM POUŽITÉ LITERATURY

- [1] Sodenka, L., Kamp, R.: Studium textury pánvičky, rovna a netkaných textilií
Textil 1981
- [2] Sodenka, L.: Optické metody určování struktury netkaných textilií
Textil 1978
- [3] Sodenka, L.: A.O. č. 185949
- [4] Boháček, F., a kol.: ČMS I, II, III
Skriptum, Ústav 1984
- [5] Šejtner, J.: Technická mechanika + Dynamika
SNTL, Praha 1955
- [6] Černoch, S., a kol.: Strojné technické příručka
SNTL, Praha 1977
- [7] Bagin, M.: Diplomová práce VŠST
Liberec 1978
- [8] Chavát, J.: Teorie mechanismů - vybrané statě
Skriptum VŠST, Liberec 1980
- [9] Bradáček, Z., Jáč, V.: Mechanika II
Skriptum VŠST, Liberec 1979
- [10] Zehula, K.: Měření neelektrických veličin
Sanimade I
SNTL, Praha 1972
- [11] Zelenka, J.: Elektrotechnika a průmyslová elektronika
Měření neelektrických veličin
Skriptum VŠST, Liberec 1979
- [12] Sodenka, L.: Patentní přihláška PU 8657-82

- [13] Rastka, I.: Konstrukční projekt
Skriptum VŠST, Liberec 1985
- [14] Vávra, P. a kol.: Strojnické základy
SNTL, Praha 1983

PŘÍLOHA



ZAŘÍZENÍ ZHT2

Geographical Distribution

1	LOŽISKOVÉ TĚLESO ø 200 - 55	ČSN425510.12 11523,0	001	3,27 KTS-102-001	1
1	DESKA 100 ~ 15 ~ 100,	ČSN425522.11 11573,0	001	0,59 KTS-102-002	2
1	ZÁKLADNA ø 90 - 40 - 165	ČSN425522.11 11523,0	001	1,94 KTS-102-003	3
1	PŘÍKUBA ø 65 - 35	ČSN425510.1 11600,0	001	0,41 KTS-102-004	4
1	OBJÍMKY ø 75 - 15	ČSN425510.0 11523,0	001	0,19 KTS-102-005	5
1	TRN ø 18 - 145	ČSN425510.1 11109,0	003	0,19 KTS-102-006	6
1	STOJAN ø 26 - 103	ČSN425510.1 11600,0	001	0,41 KTS-102-007	7
1	DUTÍ HÁJEL ø 100 - 50	ČSN425510.1 11523,0	001	0,7 KTS-102-008	8
1	ŠÍERKUTNA P1 - 60 ~ 60	ČSN425301.12 11372,0	001	0,52 KTS-102-009	9
1	TŘESÍ KOTOUČ ø 165 - 15	ČSN644511 TEXTIT		0,28 KTS-102-010	10
1	KÁBOU ø 18 - 20	ČSN425510.1 11109,0	003	0,016 KTS-102-011	11
1	RÁM P4 - 80 - 80	ČSN425310.12 11343,0	007	0,17 KTS-102-012	12
1	TRUBKA ø 50 - 60	ČSN425510.1 11523,0	001	0,8 KTS-102-013	13
1	MATICE ø 5 ~ 65	ČSN425510.1 11523,0	001	0,42 KTS-102-014	14
1	KRÍŽ ø 11 - 130	ČSN425510.1 11109,0	003	0,57 KTS-102-015	15
1	LOŽISKO 6C12	ČSN024633			16
1	KRUŽEK 95	ČSN022931			17
1	KRUŽEK 61	ČSN022930			18
1	AKOUDĚK 18...14	ČSN029260.1 0,24+7,07			19
1	ZÁVLAČKA 2,5-30	ČSN021781,00			20

ISSAM IBRAHIM

VŠST

ZÁKLEZENÍ NA HODNOCENÍ

TEXTURY

KTS-102-000

2

4	ŠROUB M6x 22	ČSN02110.12	21
4	ŠROUB M6x18	ČSN02110.12	22
4	ŠROUB M6x16	ČSN02110.12	23
3	ŠROUB M6x25	ČSN02110.12	24
8	ŠROUB M3x8	ČSN021146.12	25
8	ŠROUB M6x18	ČSN021151.12	26
2	ŠROUB M4x25	ČSN021131.1	27
1	MATICE M8	ČSN011411.12	28
15	PODLOŽKA 6,4	ČSN021702.12	29
2	PODLOŽKA 4,3	ČSN021702.12	30
1	FOTONÁSOBÍČ	K. ZEISS 96850	31
1	MOTOREK	TUR2-4Nb	32
2	ŠROUB M4x10	ČSN021101.12	33
1	6 50 - 4	ČSN643617 PA	KTS-102-017 34
1	P1-51-51	ČSN425301.12 11373.0	061 0,004 KTS-102-016 35
4	ŠROUB M2x10	ČSN021131.12	36
1	POLŠNÁ TEXTILIE		KTS-102-018 37

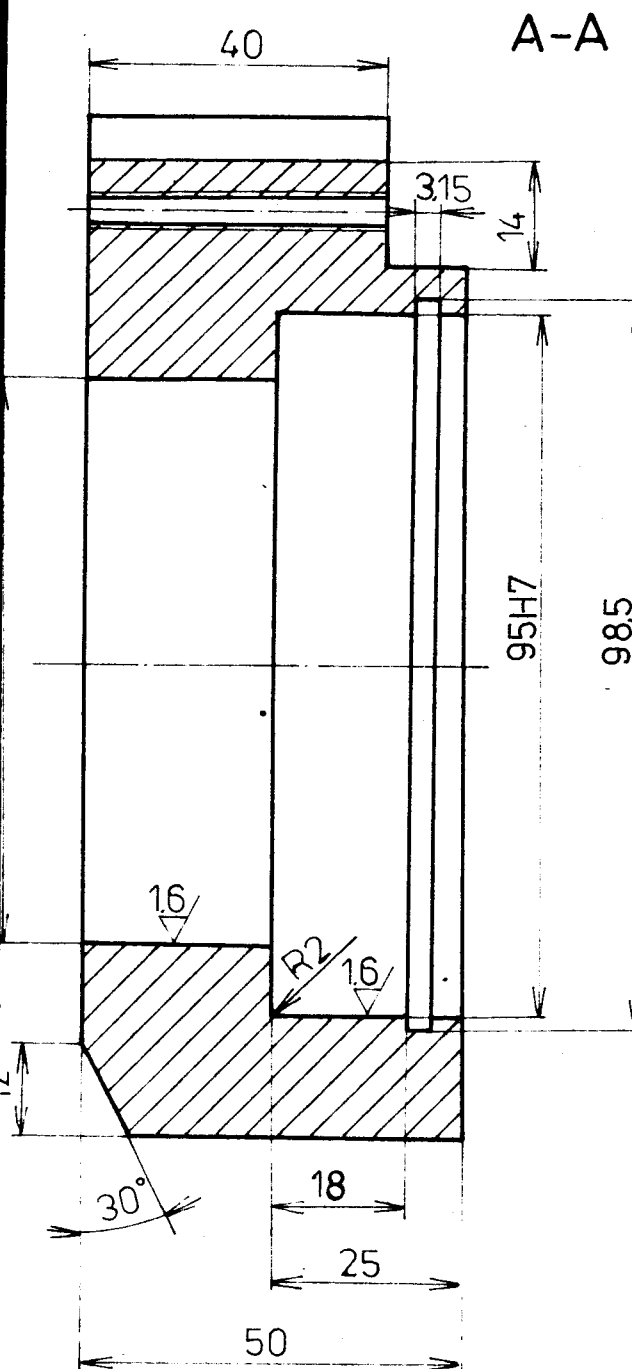
ISSAM IBRAHIM

VŠST

ZARIŽENÍ NA HODNOCENÍ

TEXTURY

KTS - 102 - 000



63/
▽(▽)

11523,0
φ200-55 ČSN 425510,0

3,27

1:1

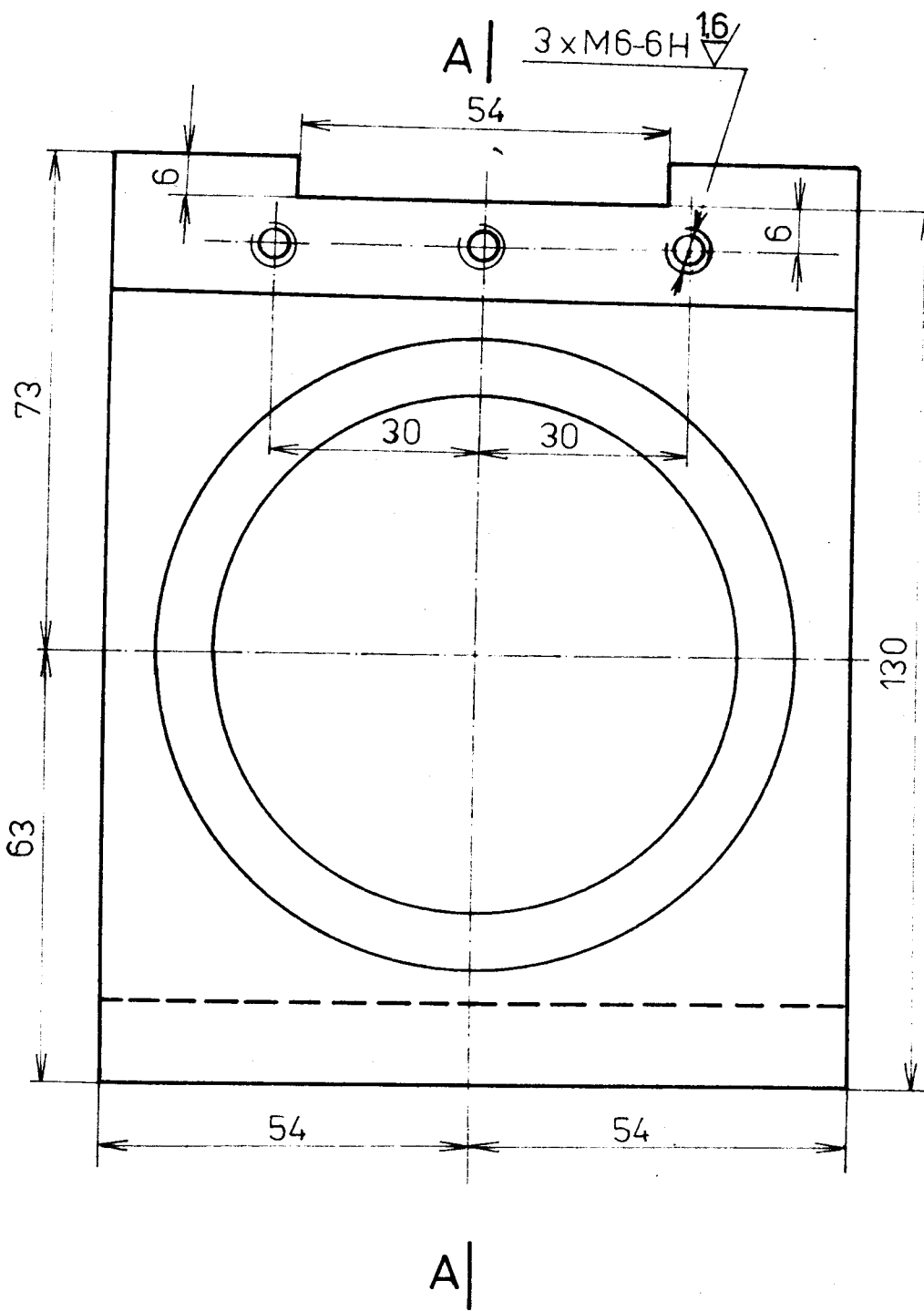
ISSAM

KTS-102-000

LOŽISKOVÉ TĚLESO

2 KTS-102-001

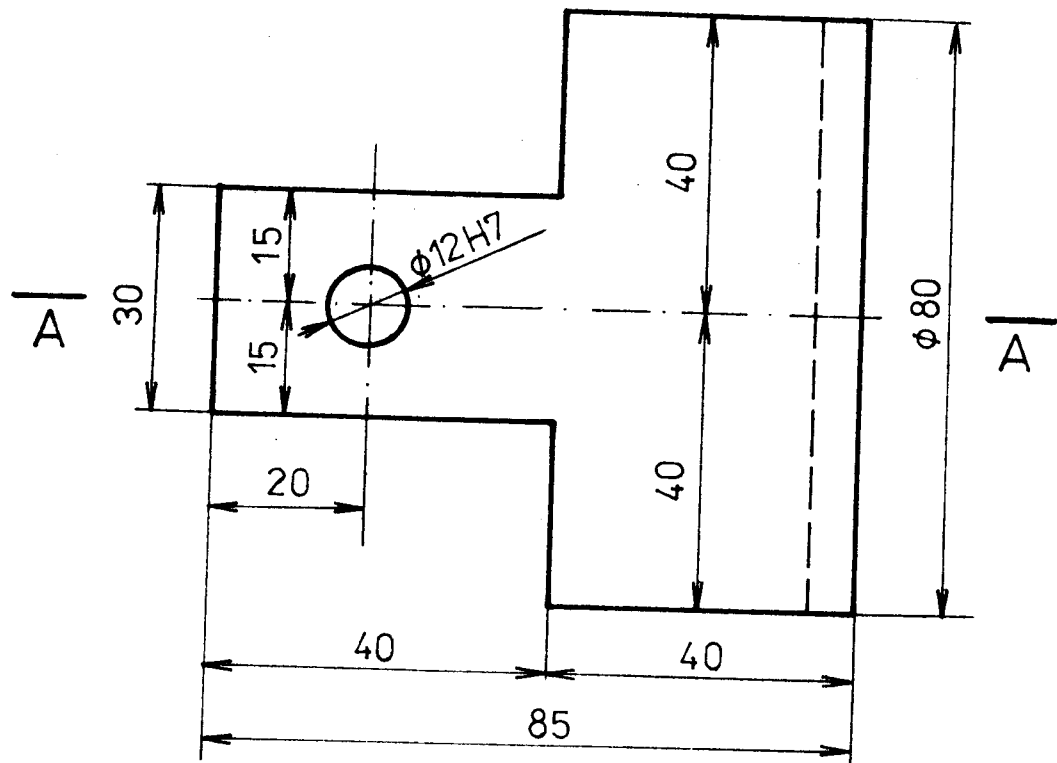
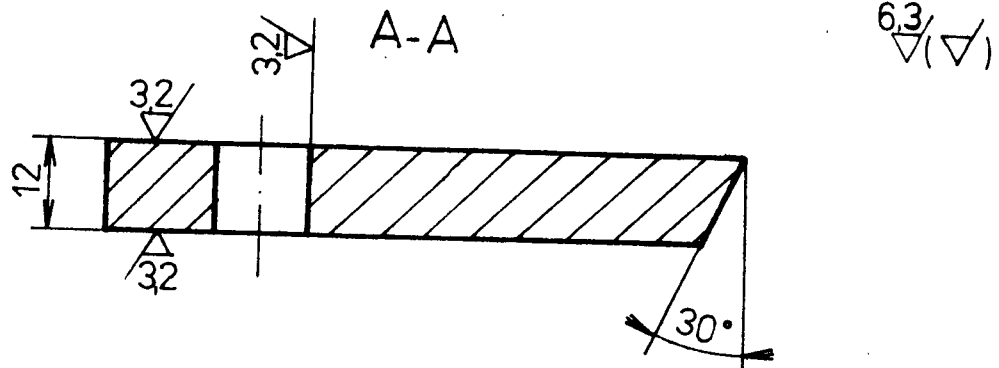
2



A

$\phi 76 \text{ H7}$

12



11 373.0

*100-15-100 ČSN 425522.11

ISSAM

0.59

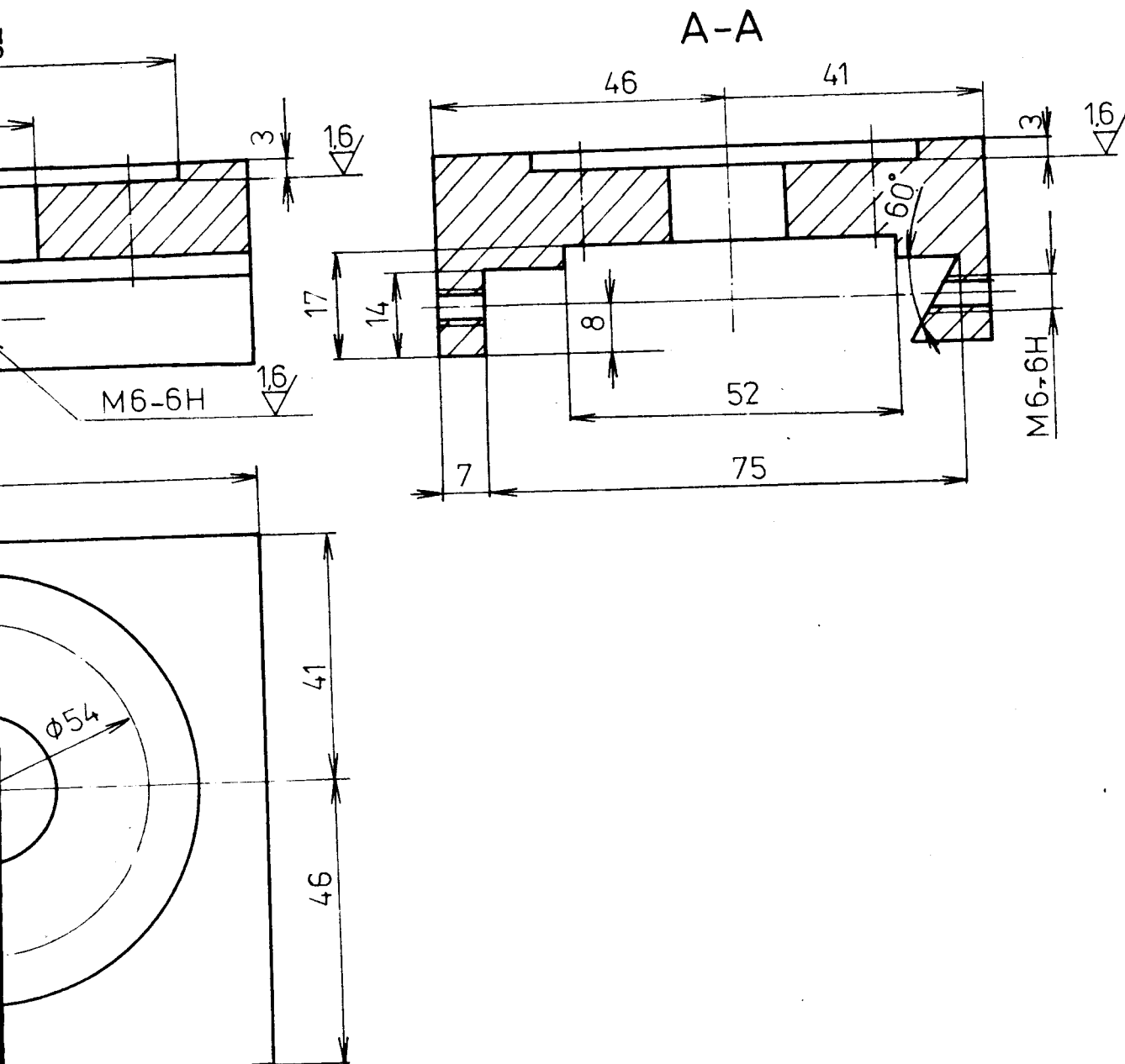
1:1

KTS-102-000

DESKA

KTS-102-002

3.2 ✓✓



115 23,0
≠ 90-40-165 CSN 425522,11

194

1 : 1

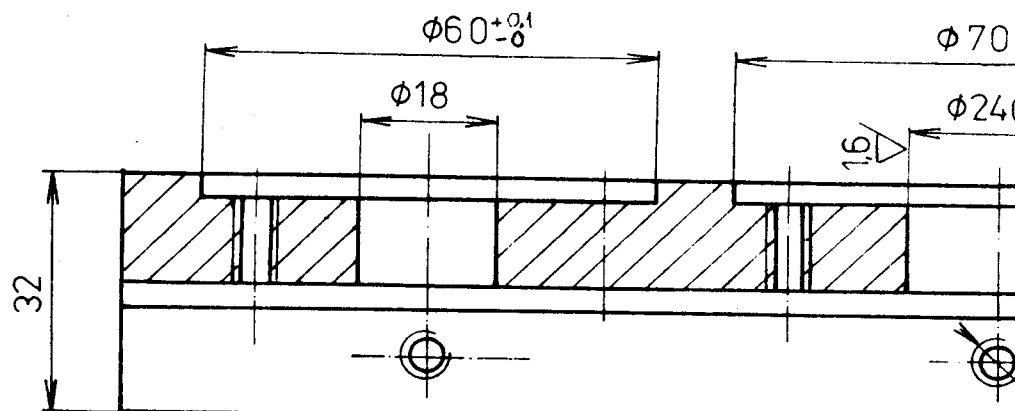
ISSAM

KTS-102-000

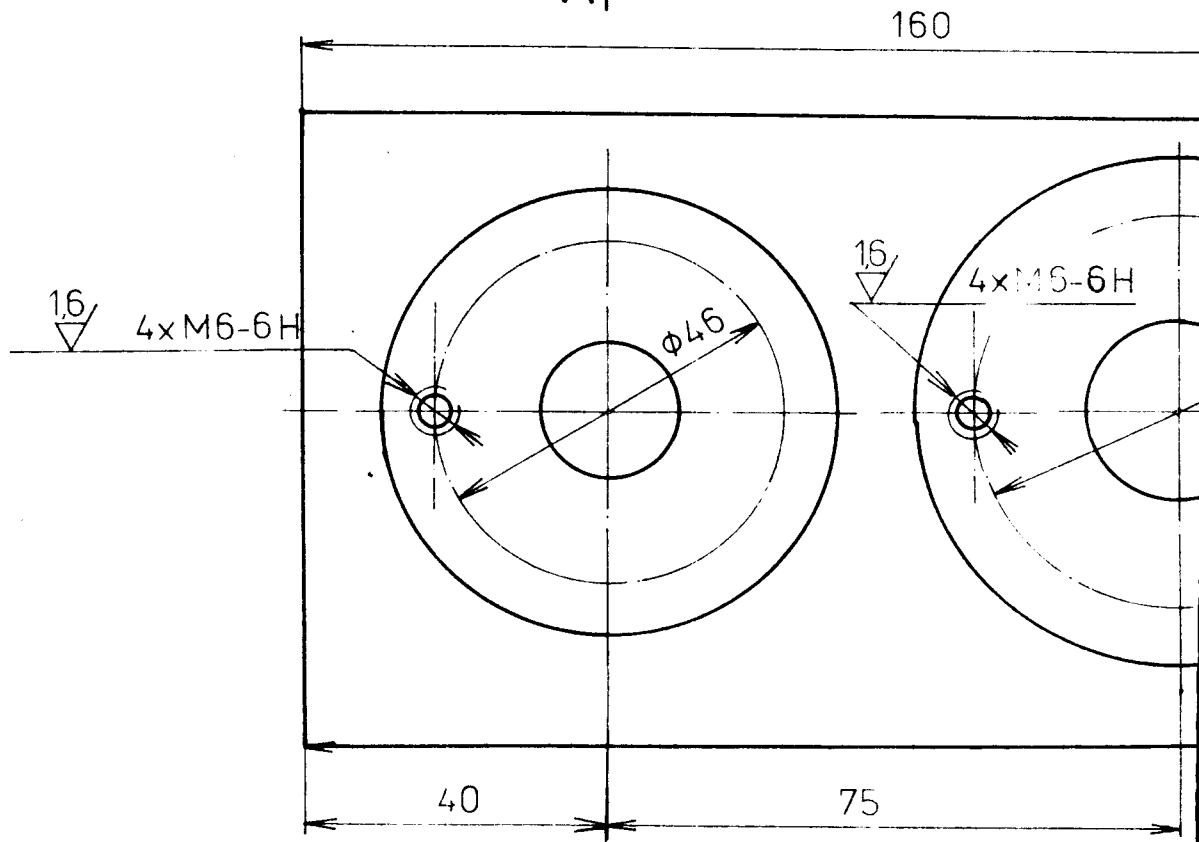
ZAKLADNA

1 KTS-102-003

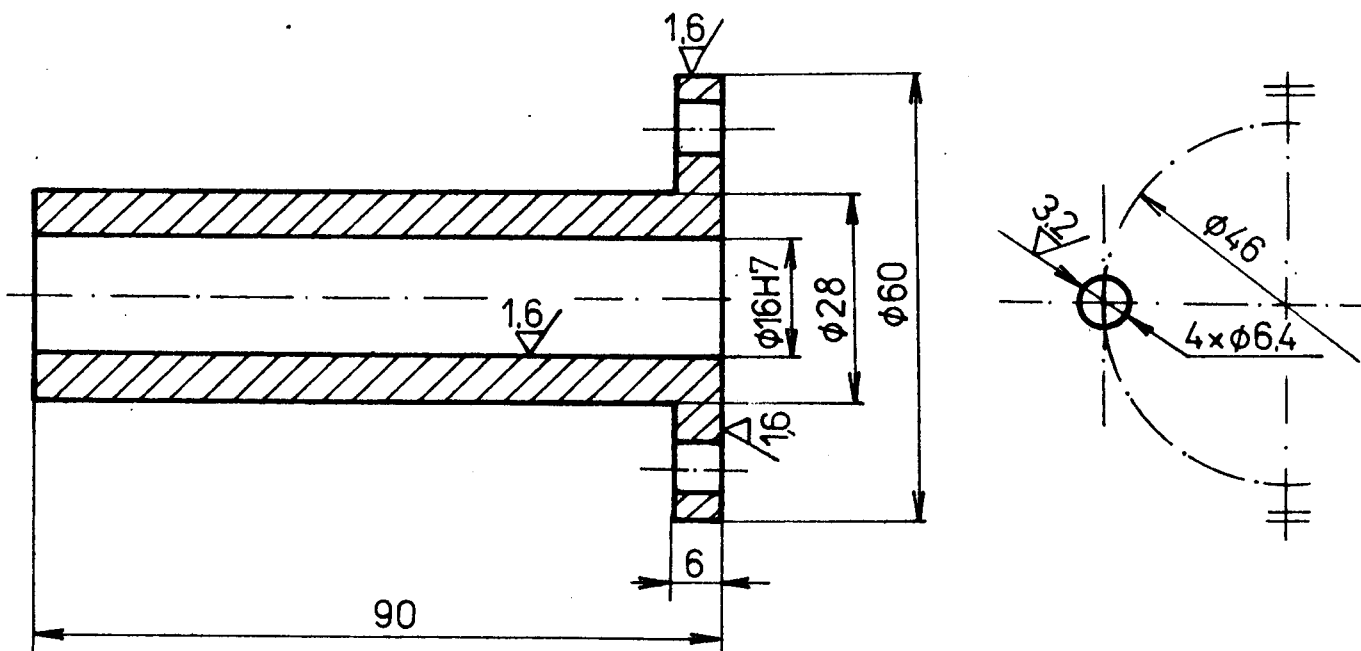
A |



A |



6,3
▽(▽)



11 600.0
 $\phi 63-92$ ČSN 42 55 10.1

0,41

1:1

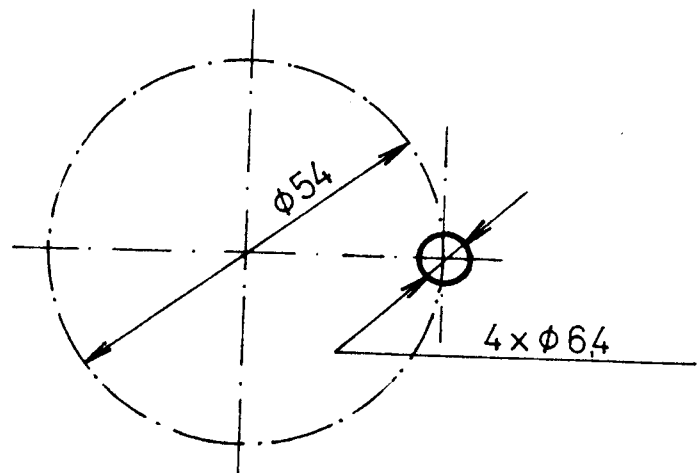
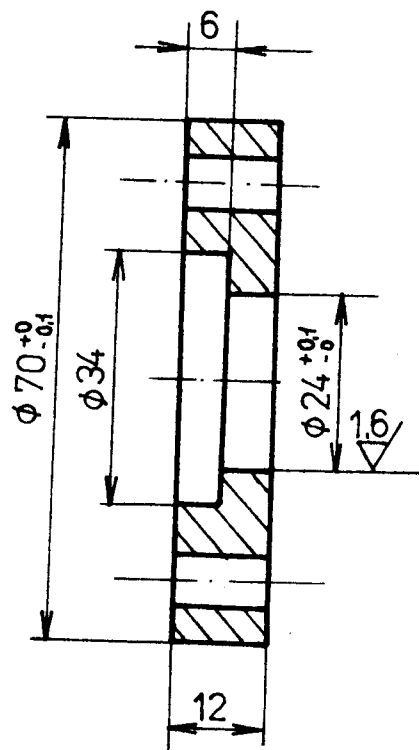
ISSAM

KTS-102-000

PŘÍRUBA

1 KTS-102-004

3.2
▽(▽)



11 523.0
 $\phi 75-15$ ČSN 42 5510.1

ISSAM

0,29

1:1

KTS-102-000

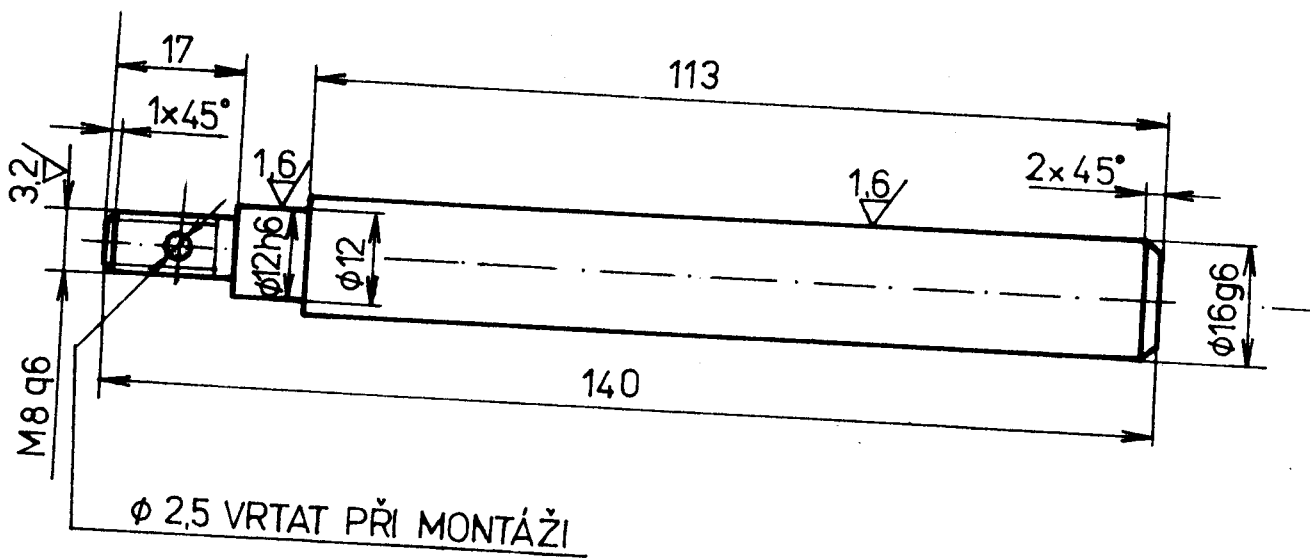
OBJÍMKA

1

KTS-102-005

1

63/
▽(▽)



11109.0

$\phi 18-145$ ČSN 42 5510.1

ISSAM

0.19

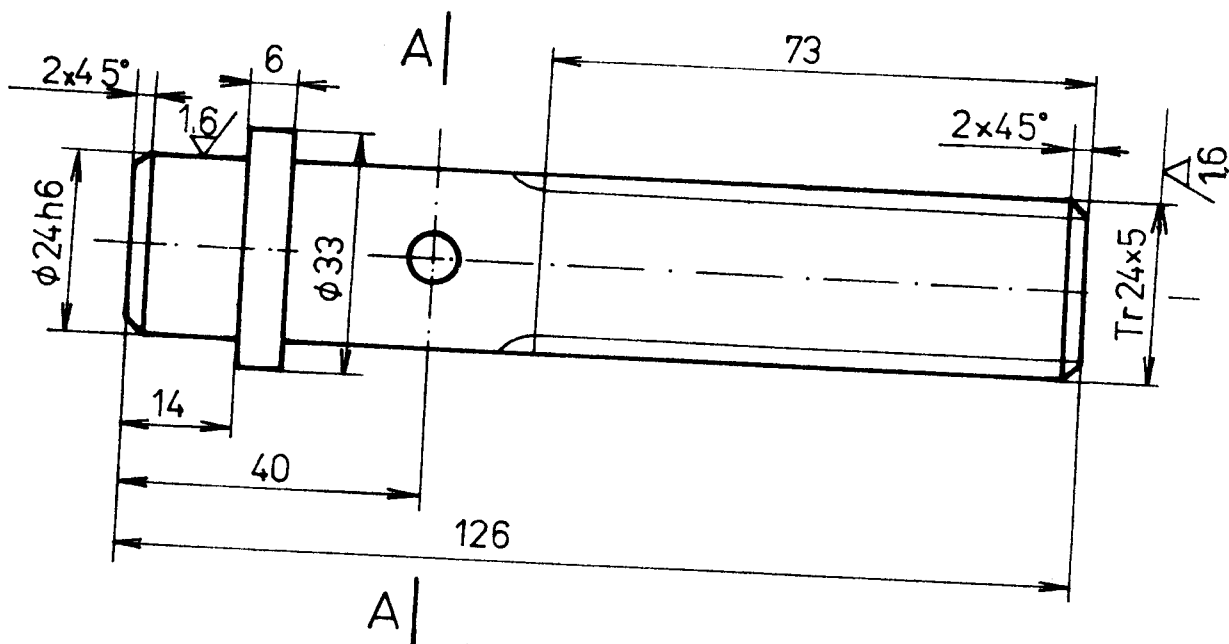
1:1

TRN

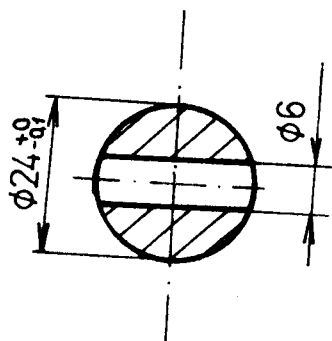
KTS-102-000

1 KTS-120-006

6.3
▽(▽)



A-A



11600.0

$\phi 26-130$ ČSN 4255 10.1

ISSAM

0.42

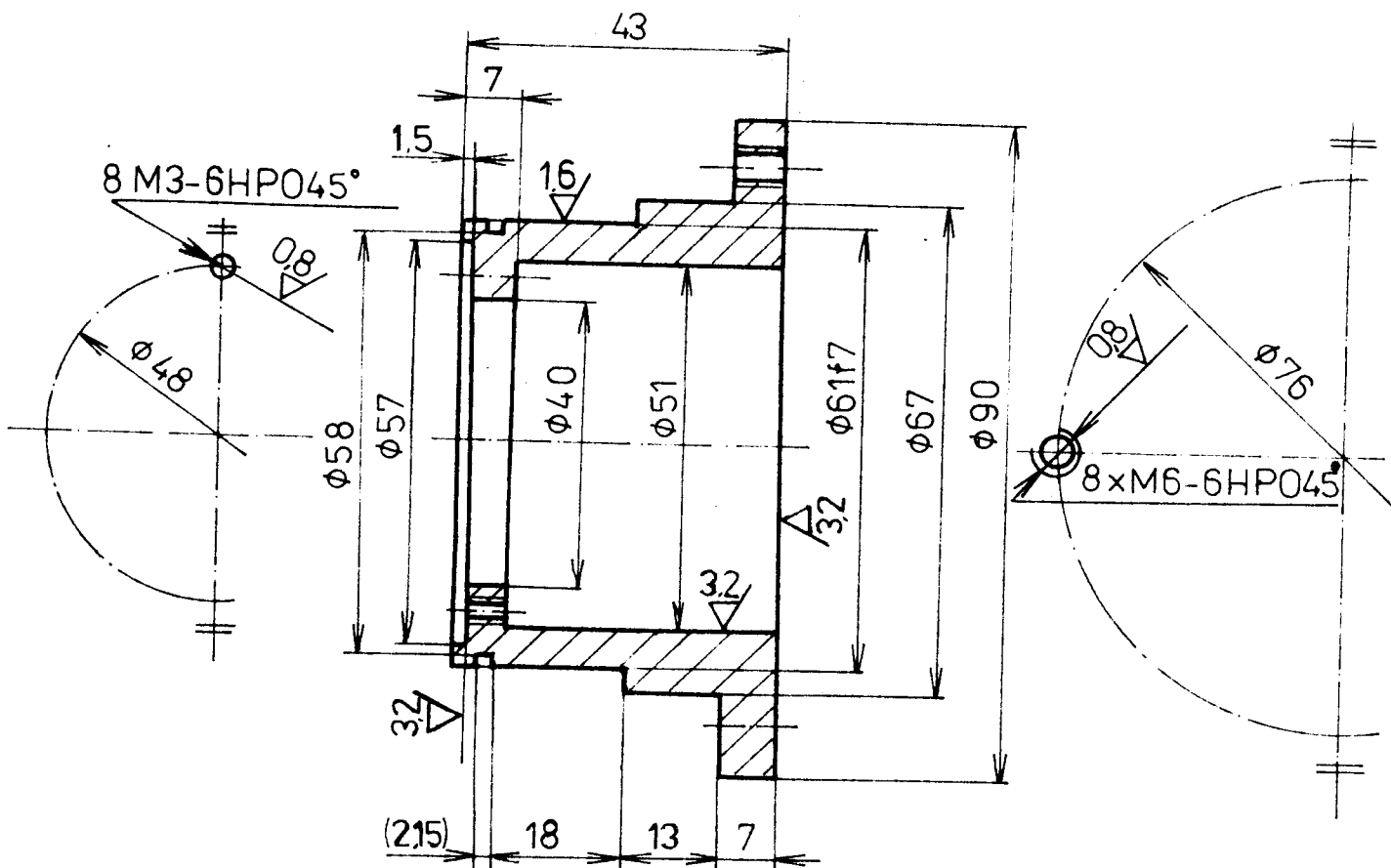
1:1

STOJAN

KTS-102-000

1 KTS-102-007

63
△(△)



115230
100-50 ČSN425510,1

0,7

1:1

ISSAM

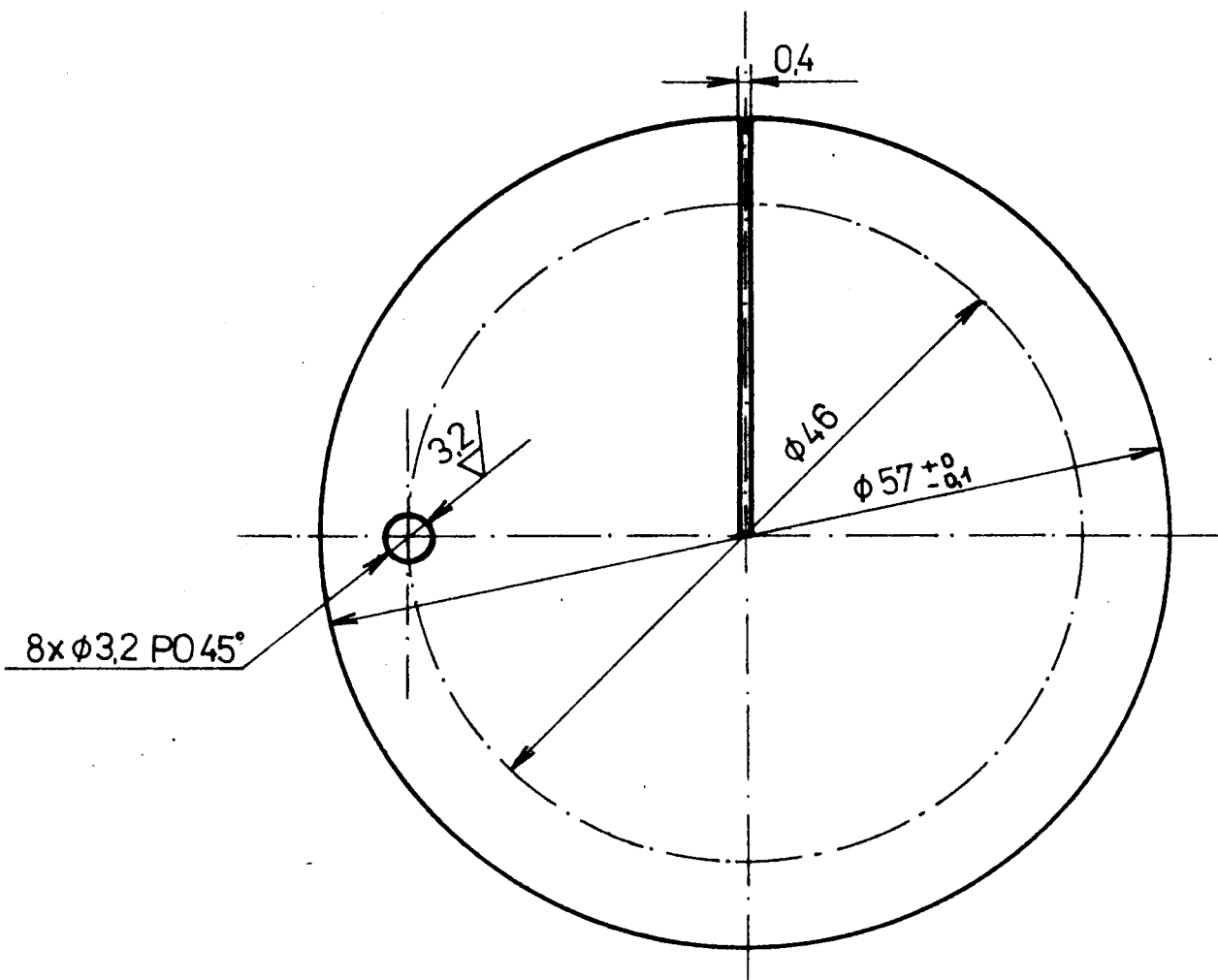
KTS-102-000

DUTÝ HŘÍDEL

1 KTS-102-008

$\vartheta(\Delta)$

TL 1mm



11 373.0
P1-60-60 ČSN 4253 01.12

0,02

2:1

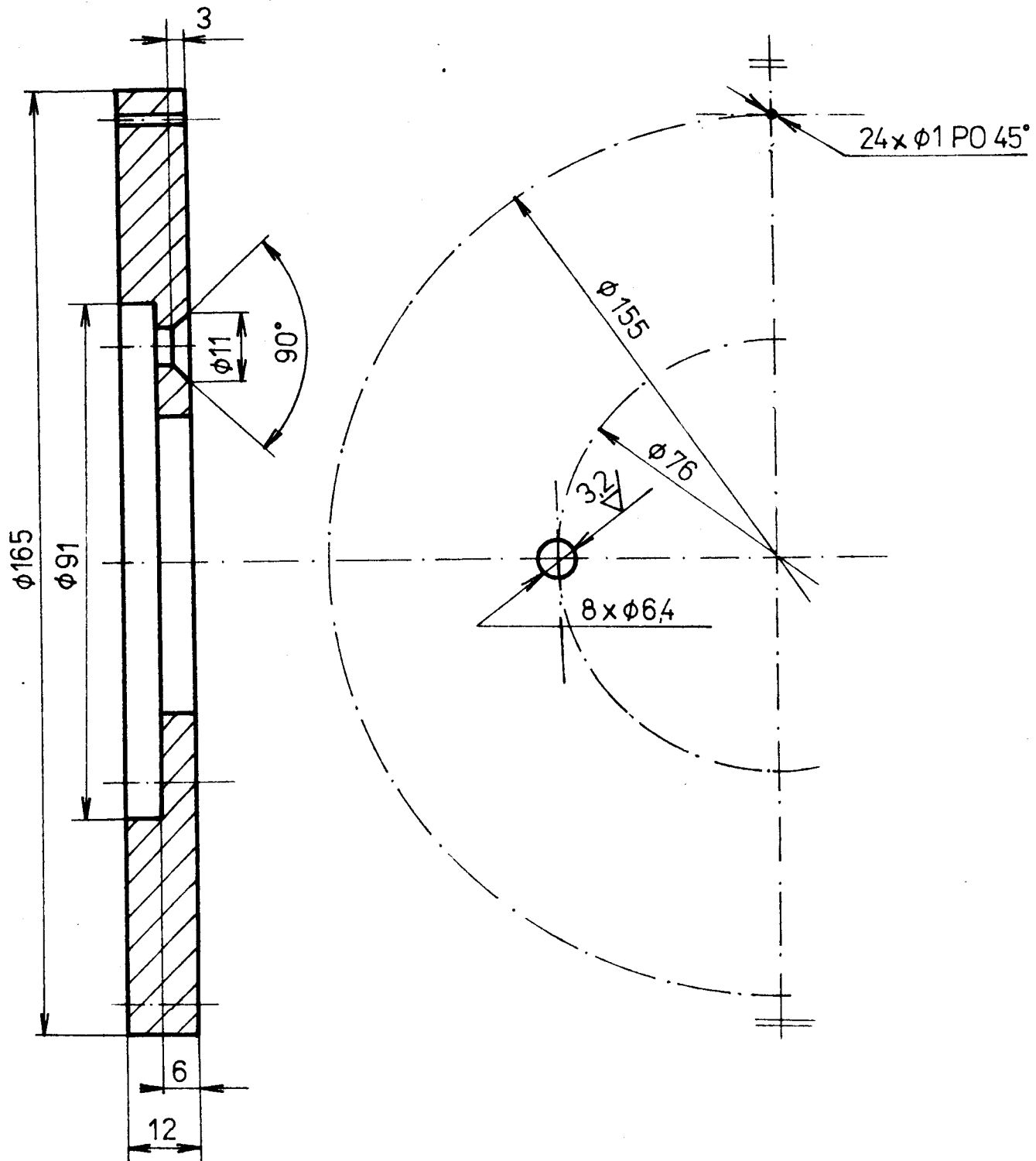
ISSAM

KTS-102-000

ŠTĚRBINA

1 KTS-102-009

32
▽(▽)



TEXTIT

1:1

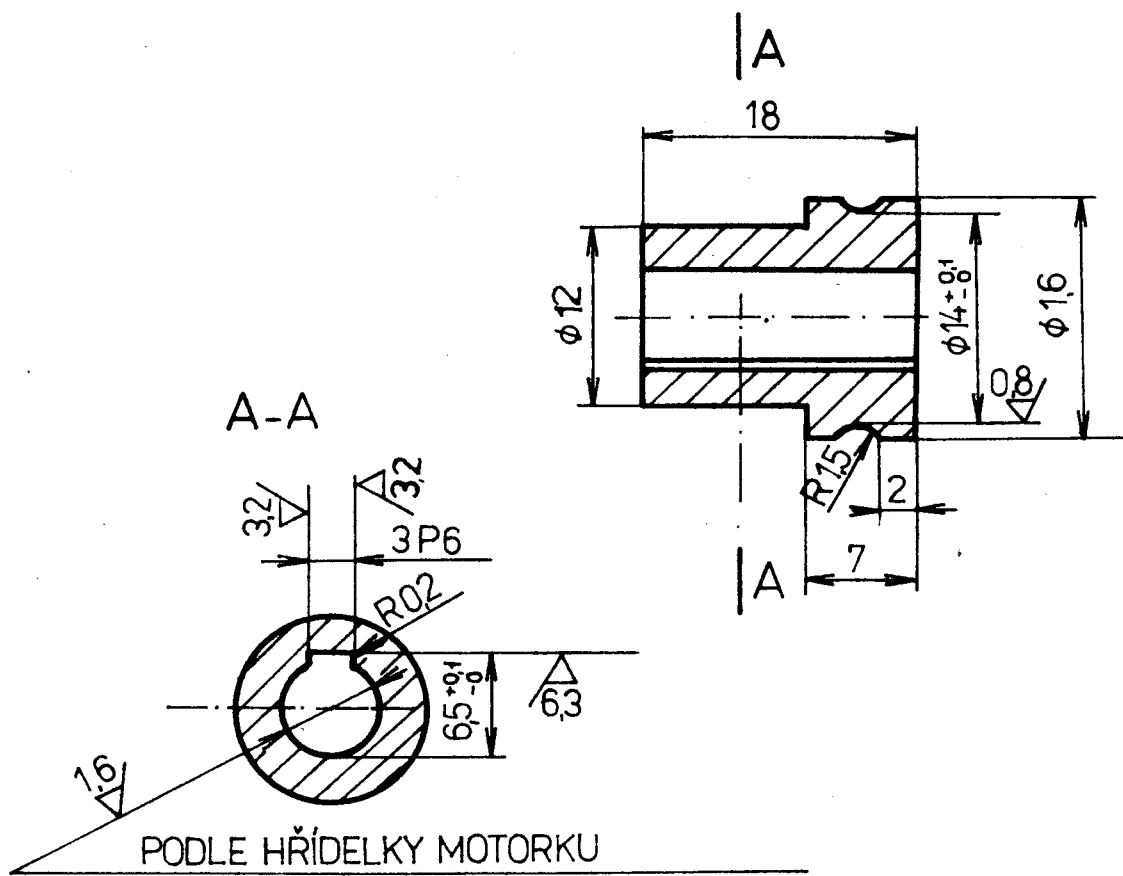
ISSAM

KTS-102-000

TŘECÍ KOTOUČ

KTS-102-010
1

6.3
△(△)



11109.0
 $\phi 18-20$ ČSN 4255 10.1

0.016

2:1

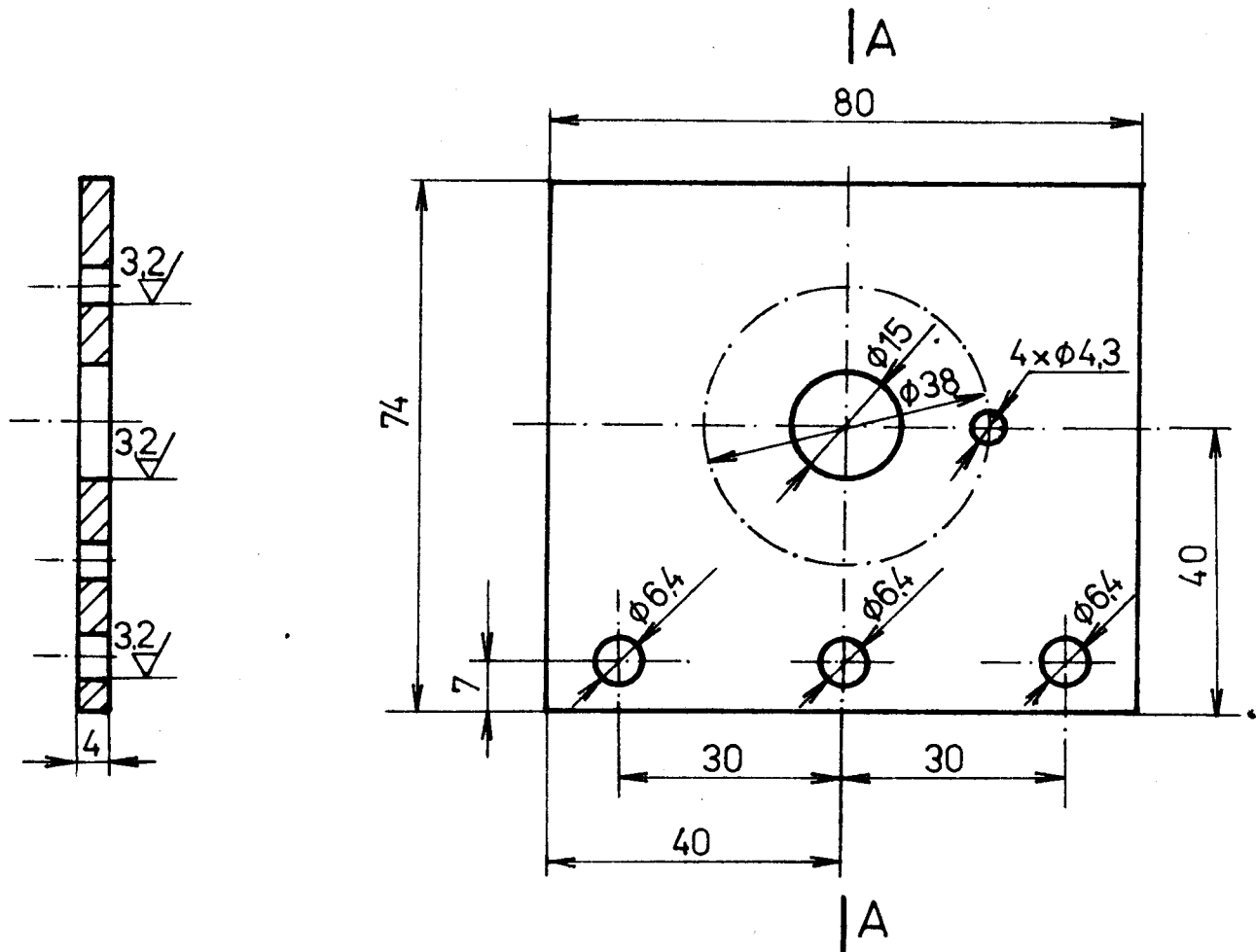
ISSAM

KTS-102-000

NÁBOJ

1 KTS-102-011

63
▽(▽)



11343
P4-80-80 ČSN 425310.12

0.17

1:1

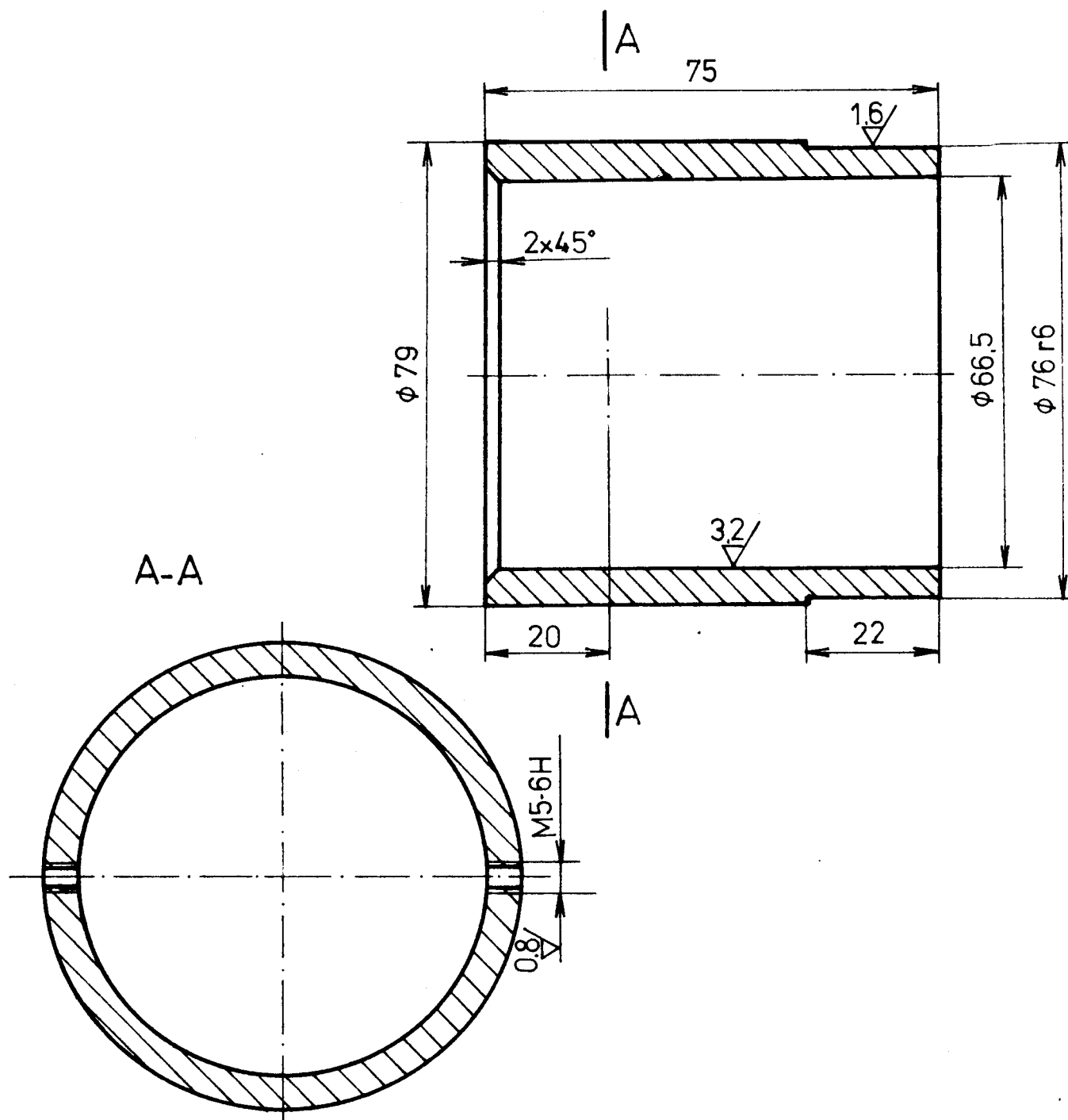
ISSAM

KTS-102-000

RÁM

1 KTS-102-012

6.3
▽(▽)



11523.0
 $\phi 80-80$ ČSN 425510.1

0.8

1:1

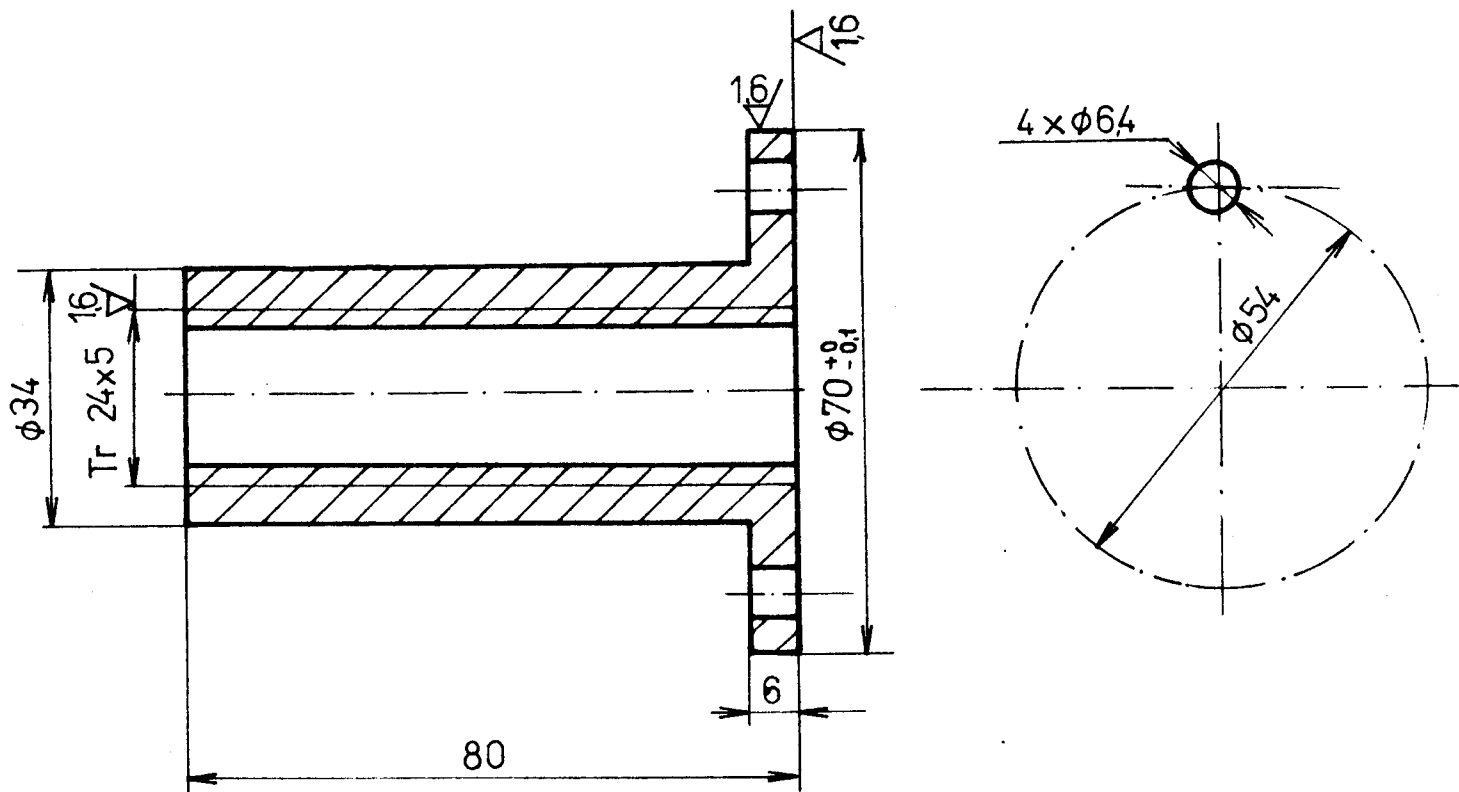
ISSAM

KTS-102-000

TRUBKA

1 KTS-102-013

6,3
▽(▽)



11 523.0
 $\phi 80-85$ ČSN 425510.1

0,42

1:1

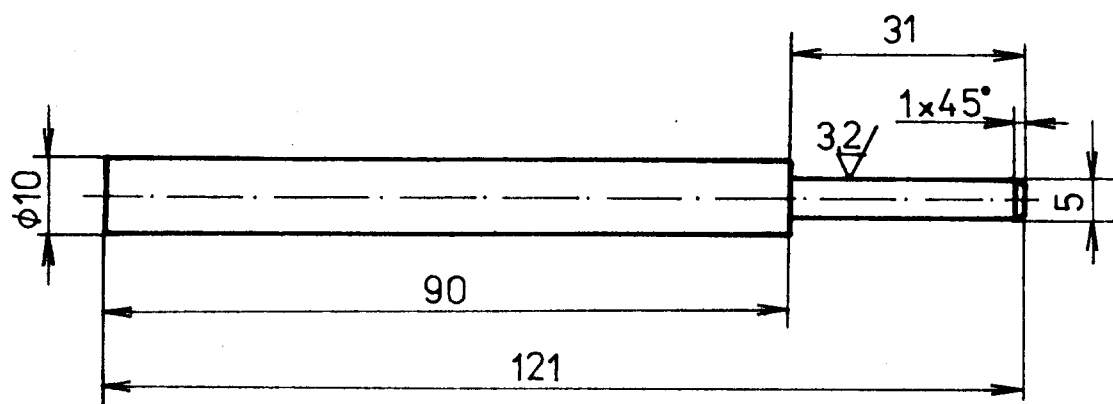
ISSAM

KTS-102-000

MATICE

1 KTS-102-014

$\nabla(\checkmark)$



11109.0
 $\phi 11-130$ ČSN 42 55 10.1

0.07

1:1

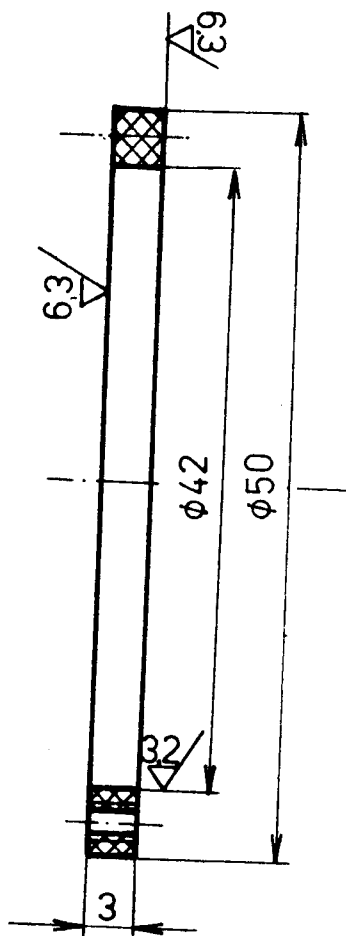
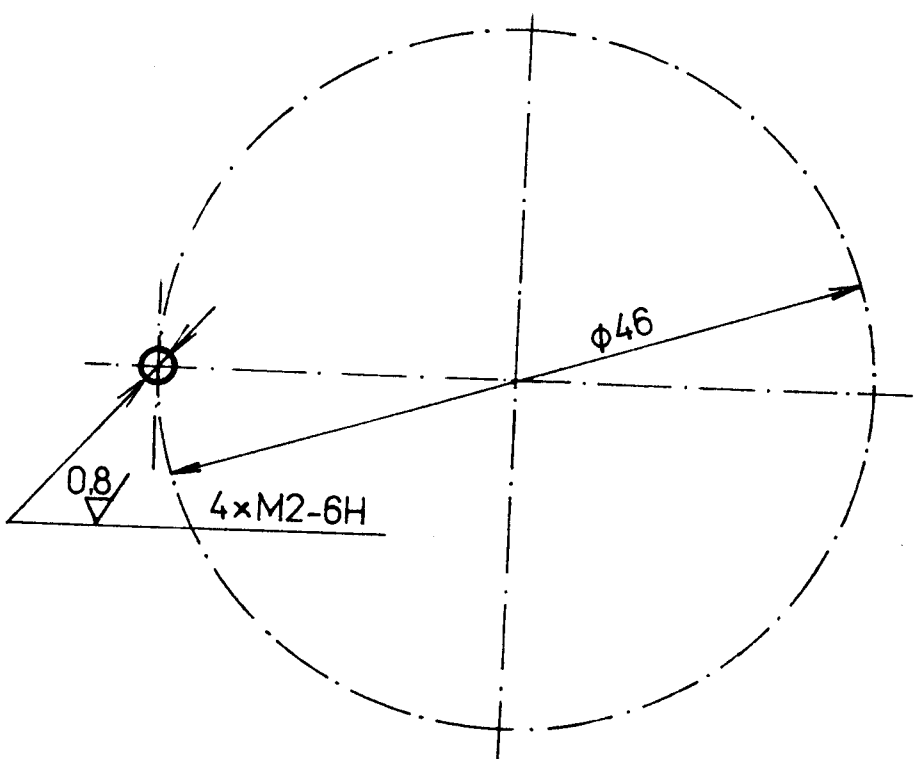
ISSAM

KTS-102-000

KLÍČ

1 KTS-102-015

$\nabla(\nabla)$



PA

$\phi 50\cdot4$ ČSN 643617

ISSAM

0,006

2:1

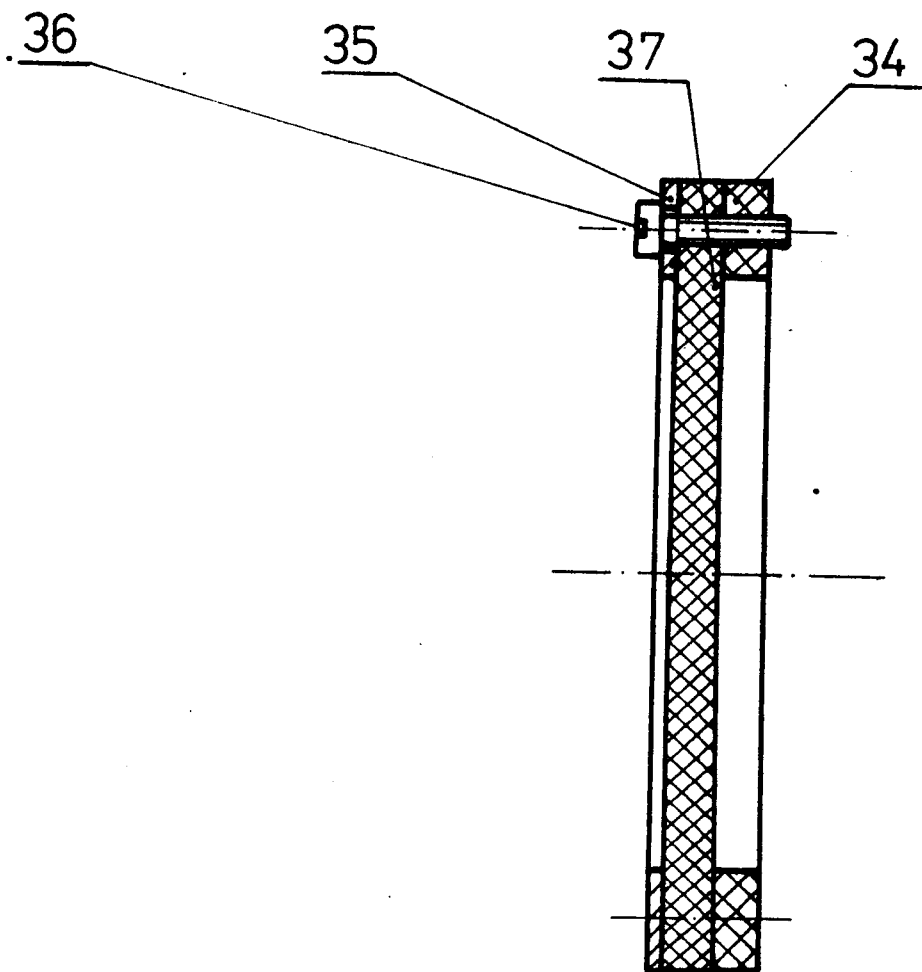
KTS-102-000

UPÍNACÍ DESKA

1

KTS-102-017

1



2:1

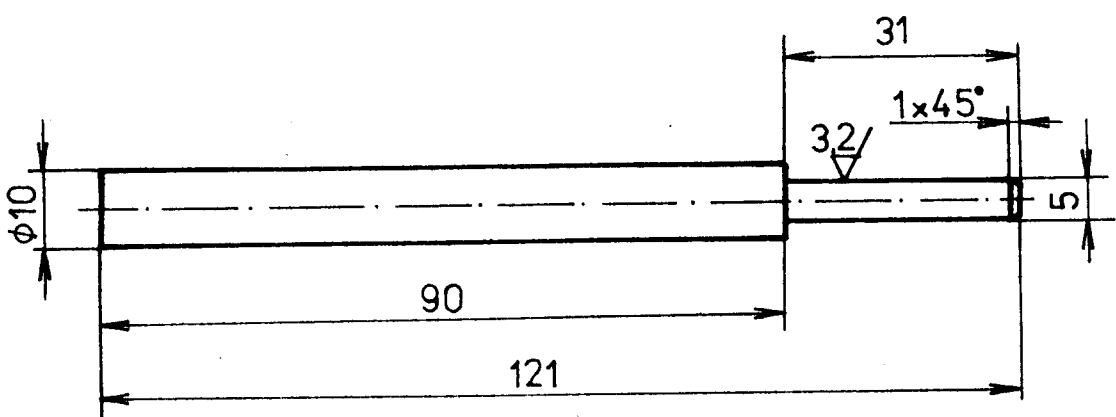
ISSAM

KTS 102 000

PŘI-ZHT 2

1 KTS-102-018

$\theta'(\nu')$



11109.0
φ11-130 ČSN 42 55 10.1

0.07

1:1

ISSAM

KTS-102-000

KLÍČ

1 KTS-102-015

1	LEVÁ STĚNA ø 100-10-300	ČSN425522	11373.0	001	KTS-102-101	1	
1	PRAVÁ STĚNA ø 100-10-300	ČSN425522	11373.0	001	KTS-102-102	2	
2	PODLOŽKA ø 32-5-300	ČSN425522	11373.0	001	KTS-102-103	3	
1	KRÍT ø 100-10-210	ČSN425522	11373.0	001	KTS-102-104	4	
1	VODIČ DRÁHA ø 120-8-70	ČSN425522	11373.0	001	KTS-102-105	5	
1	RAM ø 120-6-120	ČSN425522	11523.0	001	KTS-102-106	6	
1	VEDENÍ 1 ø 100-30-50	ČSN425522	11523.0	001	KTS-102-107	7	
1	VEDENÍ 2 ø 50-25-35	ČSN425522	11523.0	001	KTS-102-108	8	
1	HŘANOL ø 40-20-40	ČSN425522	11523.0	001	KTS-102-109	9	
1	STAVEČÍ KOLEČKO ø 16-20	ČSN426510	11109.0	003	KTS-102-110	10	
1	DOLNÍ RÁMEČEK P2-110-70	ČSN425301	11343.1	007	KTS-102-111	11	
1	HORNÍ RÁMEČEK P2-110-70	ČSN425301	11343.1	007	KTS-102-112	12	
1	SPOJČNÝ ŠKROUB ø 10-300	ČSN425510	11600	001	KTS-102-113	13	
1	VODIČÍ TYČ ø 14-300	ČSN426510	11109.0	003	KTS-102-114	14	
1	VZPĚRNÁ TYČ ø 12-340	ČSN426510	11109.0	003	KTS-102-115	15	
1	TRUBKA ø 14-45	ČSN425510	11523.0	001	KTS-102-116	16	
1	STAVEČÍ ŠKROUB ø 13-135	ČSN425510	11600.0	001	KTS-102-117	17	
2	SPOJUVACÍ TYČ ø 12-75	ČSN426510	11109.0	003	KTS-102-118	18	
2	OZUBEVNÉ KOLO ø 65-15	ČSN425510	11600.6	11600.1	001	KTS-102-119	19
1	ø 16-50	ČSN425510	11500.4	11500.1	001	KTS-102-120	20

ISSAM IBRAHIM

VŠST

ZARIŽENÍ NA HODNOCENÍ
POVRCHU PLOŠNÍCH TEXTILIÍ

KTS - 102 - 100

1	6 17-15	ČSN425510	11500.4	11500.1	001	KTS-102-121	21
1	6 16-10	ČSN426510	11109.0		003	KTS-102-122	22
1	P2-20-20	ČSN425301	11373.0		001	KTS-102-123	23
1	6 12-300	ČSN426510	11109.0		003	KTS-102-124	24
2	LOŽISKO 608	ČSN024633					25
2	LOŽISKO 626	ČSN024633					26
2	PÉRO 2h9x2x9	ČSN022562					27
2	KROUŽEK 6	ČSN022929					28
1	PODLOŽKA 4,3	ČSN021702					29
1	KROUŽEK 4	ČSN022929					30
6	ŠROUB M6x40	Č.N021151					31
2	ŠROUB M6x25	ČSN021151					32
2	ŠROUB M6x28	ČSN021151					33
1	ŠROUB M6x6	ČSN021185					34
4	ŠROUB M1x6	ČSN021185					35
8	MATICE M8	ČSN021401					36
1	RAMÍNKO HC13						37
1	VLOŽKA VK 4202						38
1	MOTOREK	CT 4C34					39
1	PLOŠNÁ TEXTILIE						40

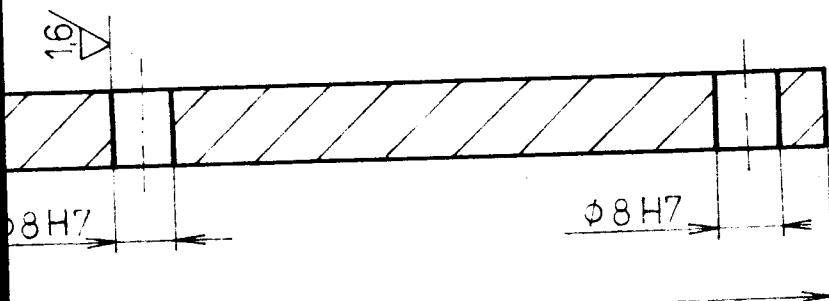
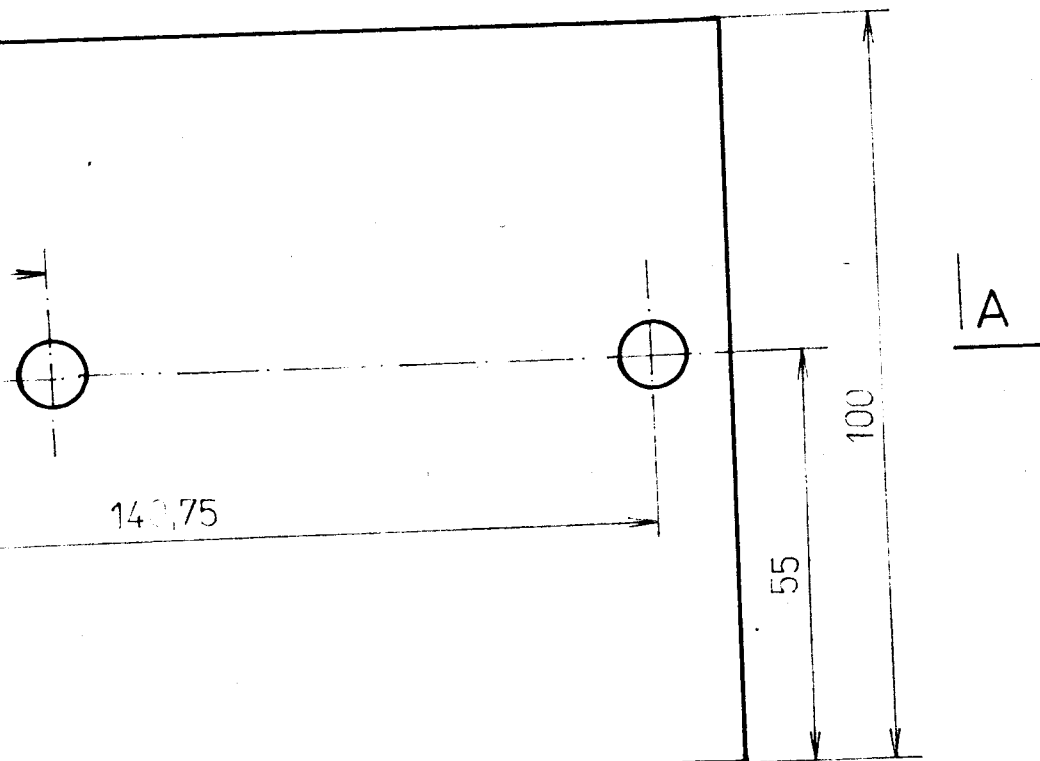
ISSAM IBRAHIM

VŠST

ZARIŽENÍ NA HODNOCENÍ
POVRCHU PLOŠNÝCH TEXTILIÍ

KTS - 102 - 100

A/Δ



11373.0
≠ 100-10-300 ČSN 425522.13

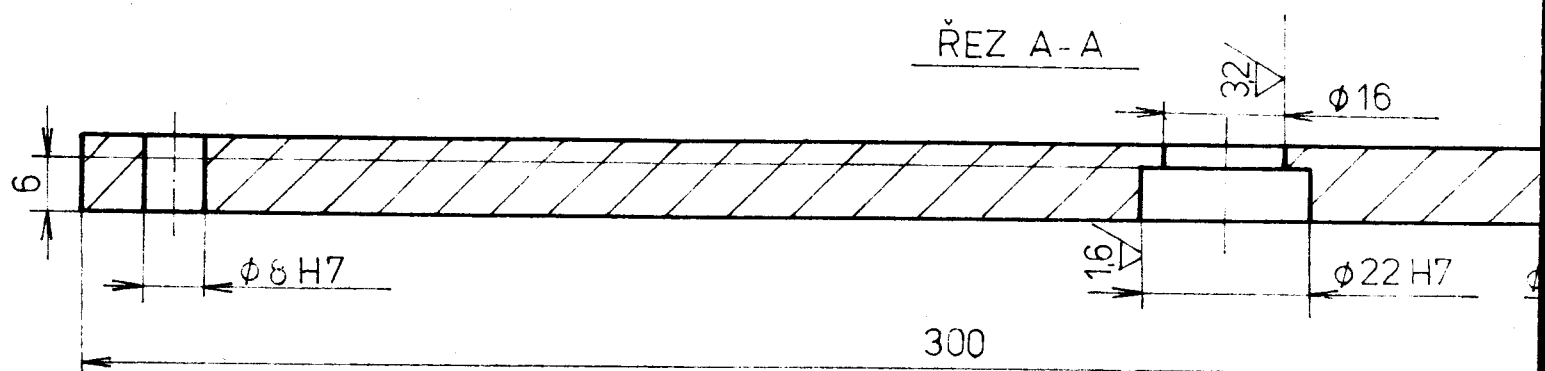
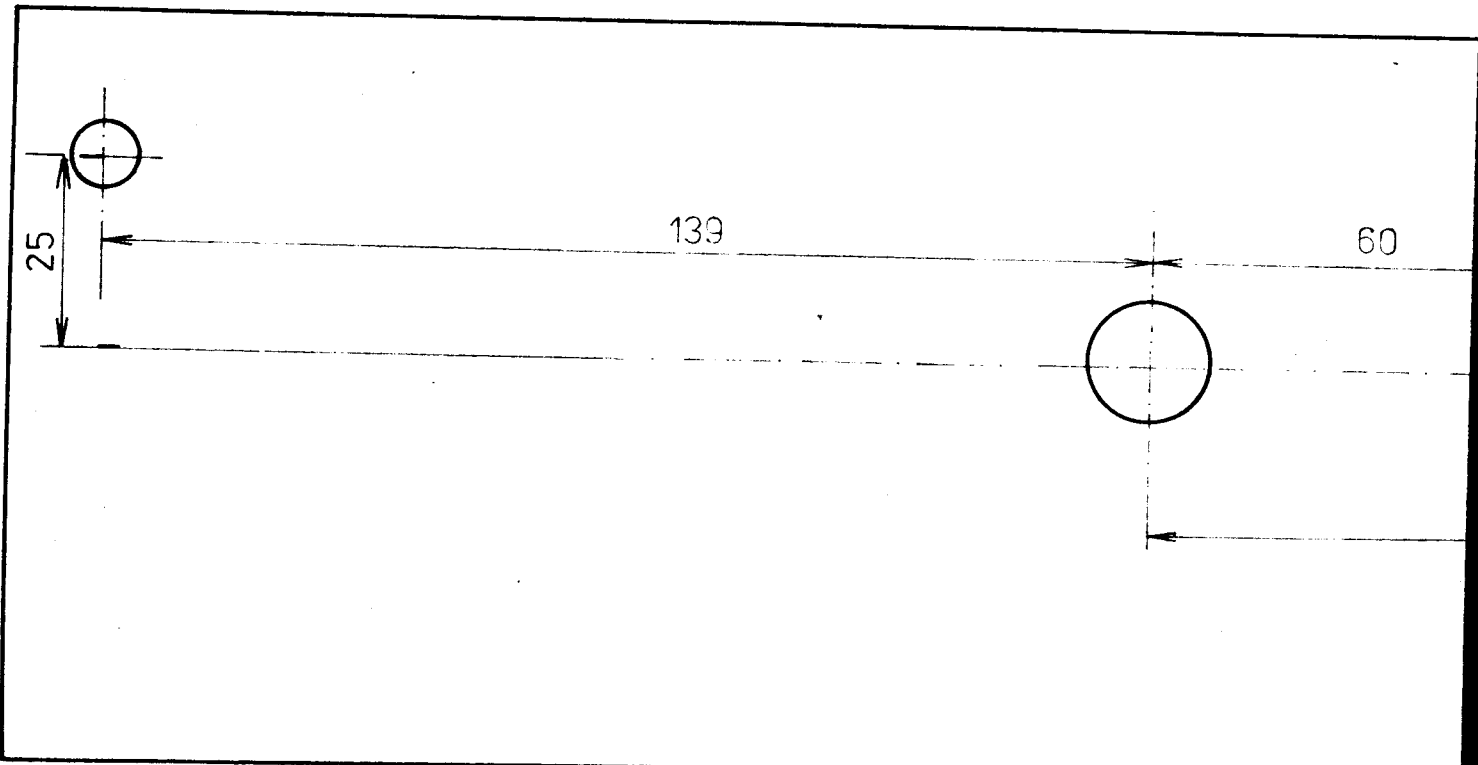
1:1

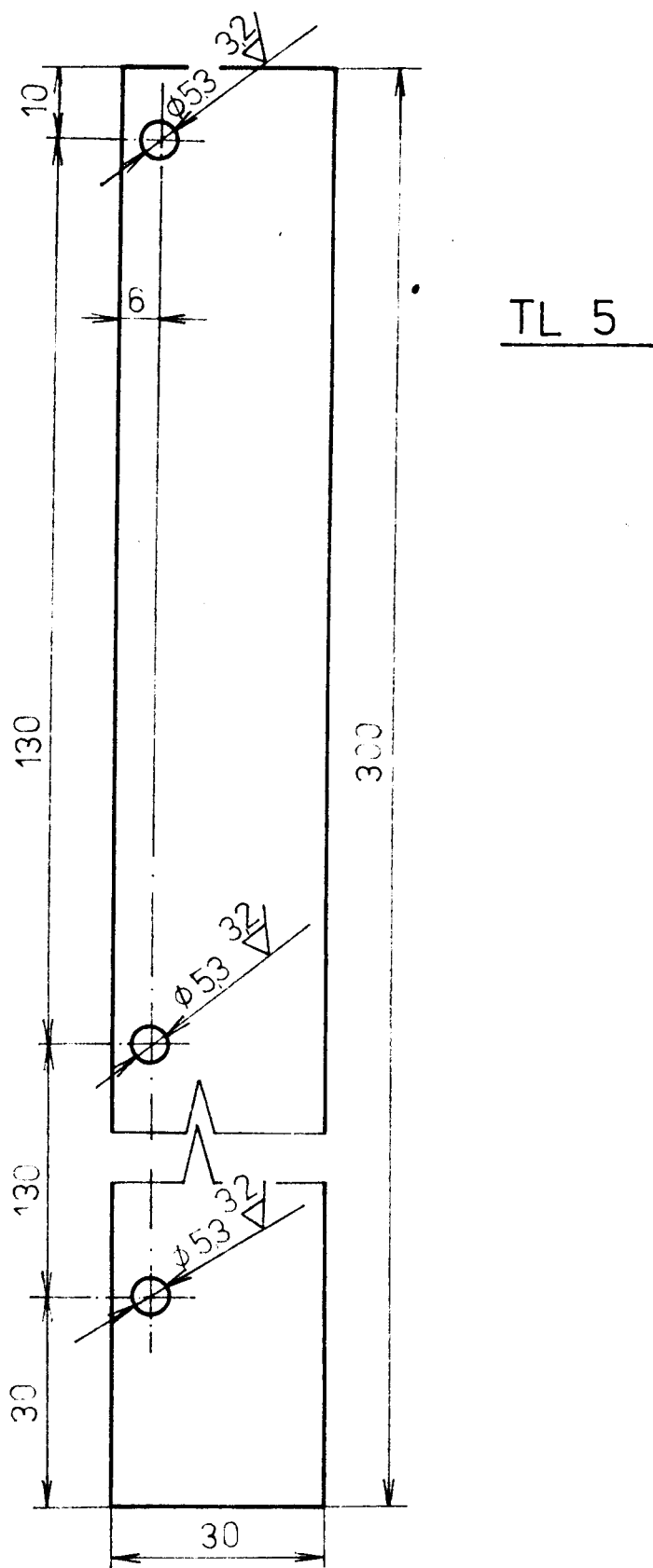
ISSAM

KTS-102-100

LEVÁ STĚNA

1 KTS-102-101





11373.0
≠32-5-300 ČSN 425522.13

1:1

ISSAM

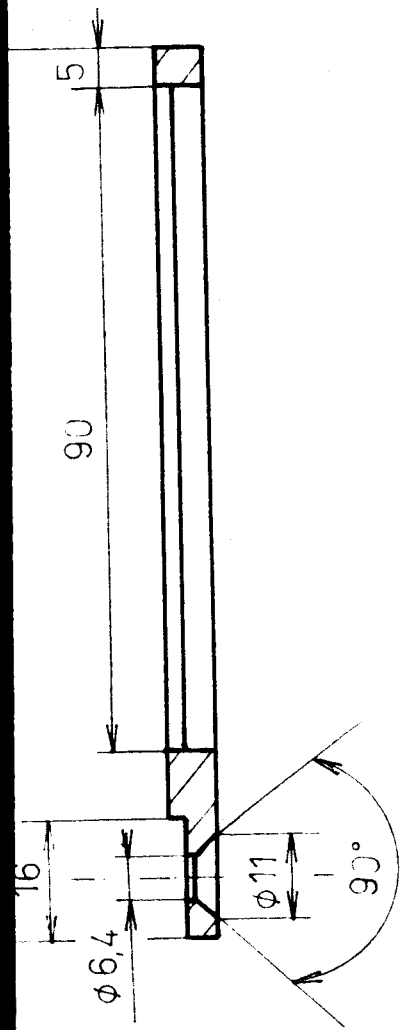
KTS-102-100

PODLOŽKA

KTS-102-103

✓(√)

EZ A-A



11 373.0
#130-8 -130 ČSN 4555 22.13

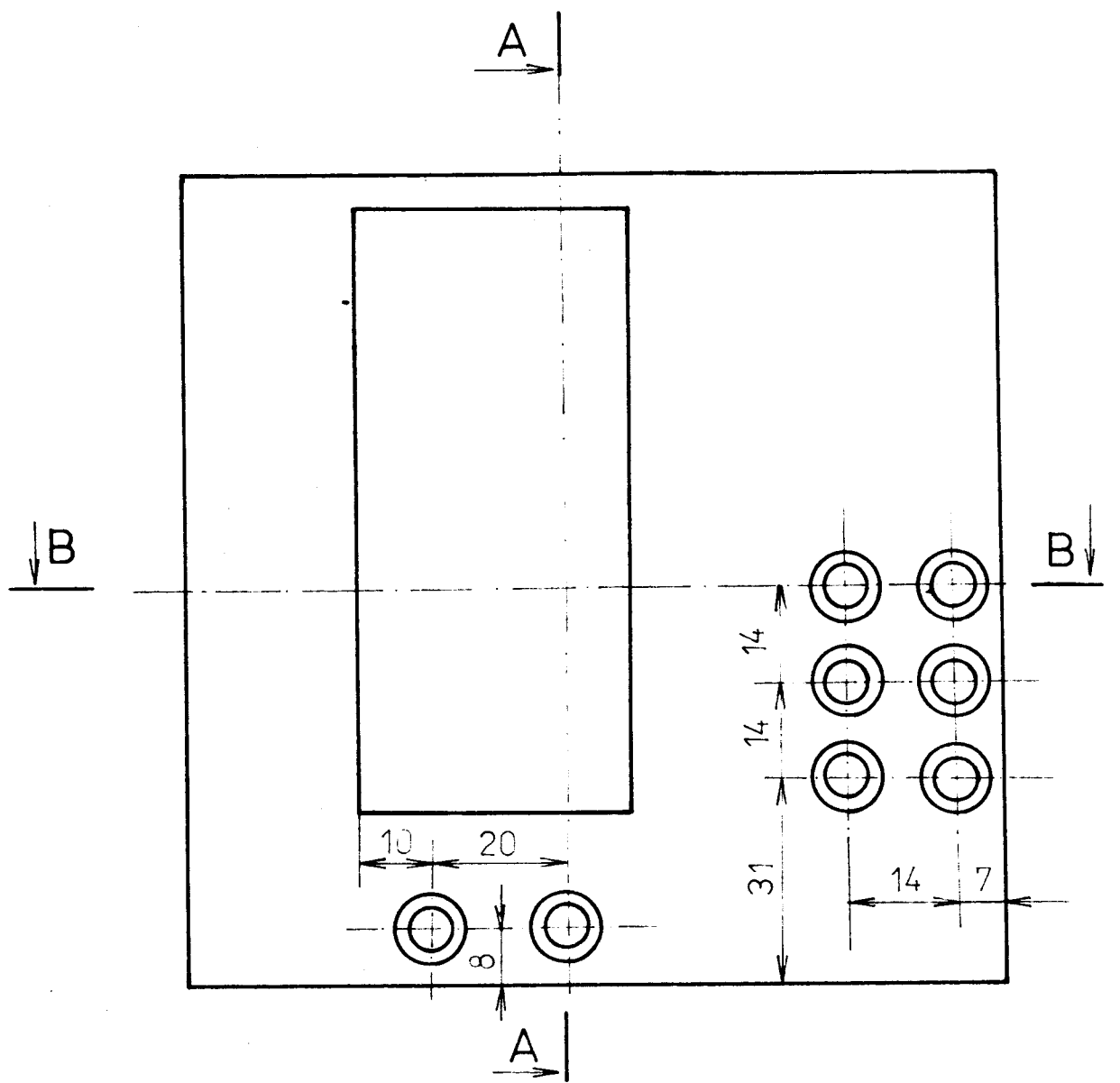
1:1

ISSAM

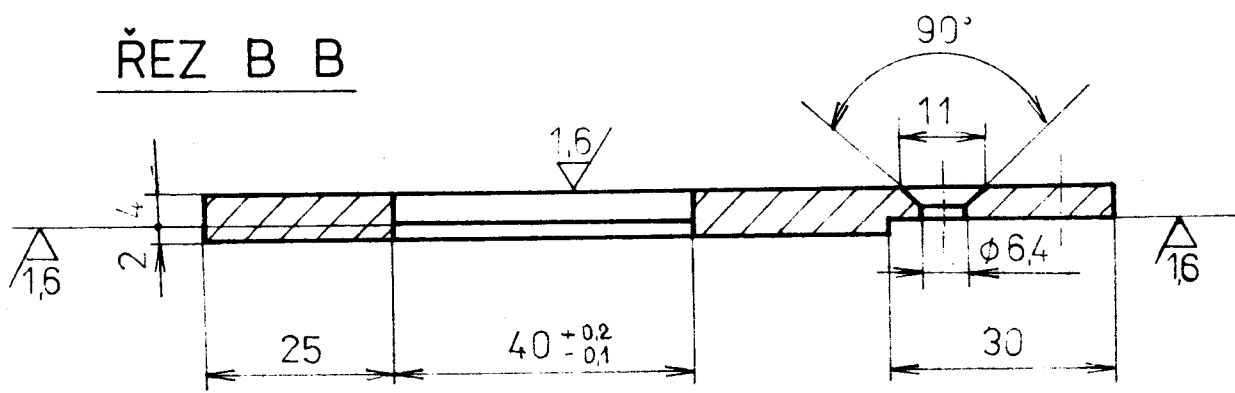
KTS-102-100

VODÍCÍ DRÁHA

1 KTS-102-105

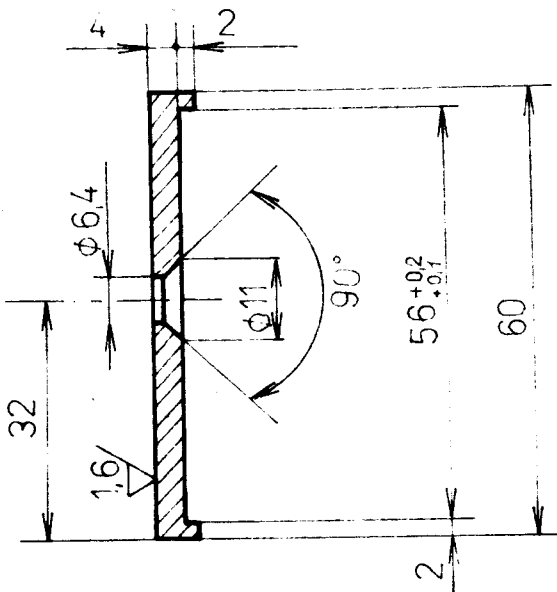


ŘEZ B B



6,3
▽ (✓)

ŘEZ A-A



11 523.0
≠ 120-6-65 ČSN 42 5522.13

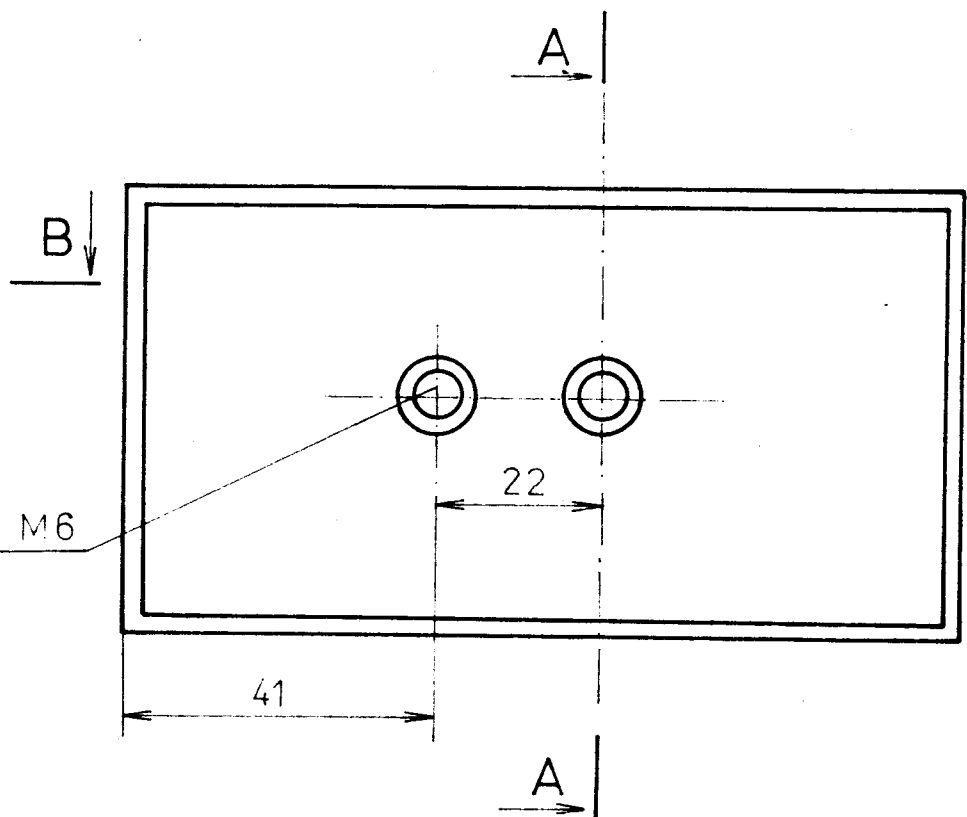
ISSAM

KTS-102-100

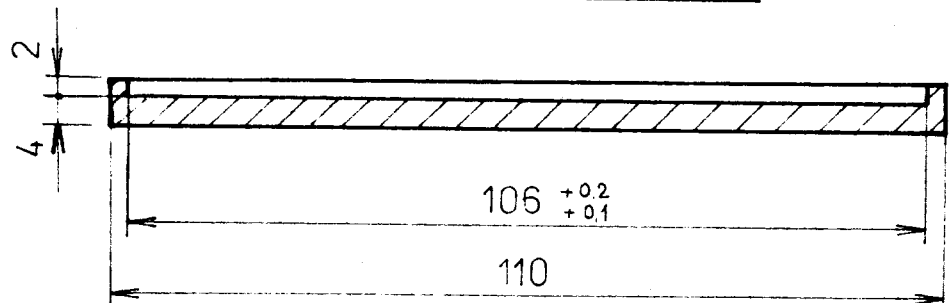
RÁM

1 KTS-102-106

2 OTVORY PRO ŠROUB M6

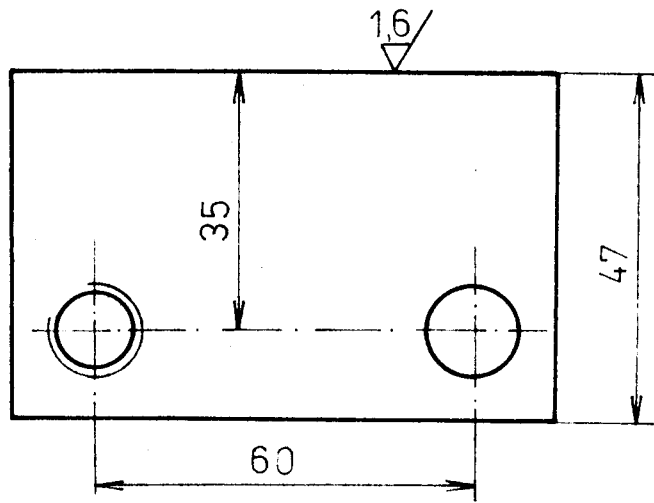
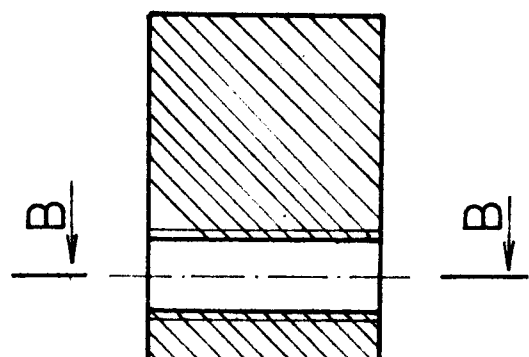


ŘEZ B - B

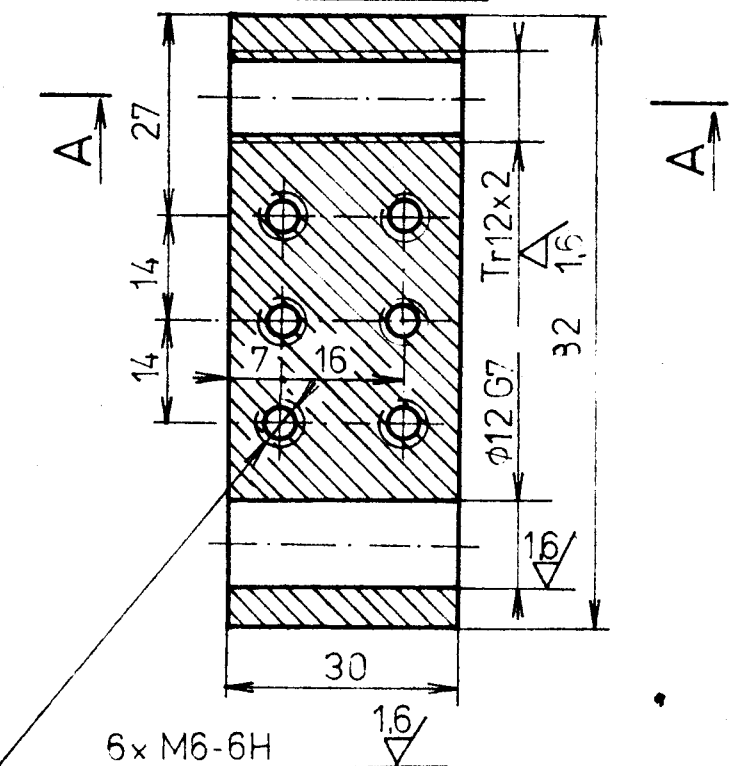


6,3
▽ (▽)

ŘEZ A-A



ŘEZ B-B



11523.0
≠ 100-30-50 ČSN 42552213

1:1

ISSAM

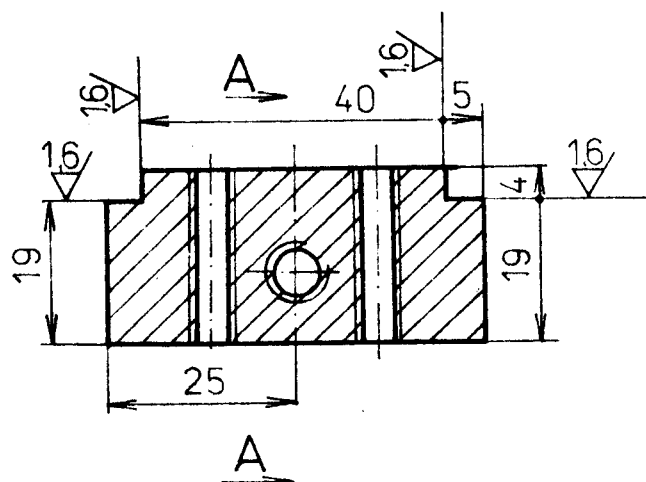
KTS-102-100

VEDENÍ 1

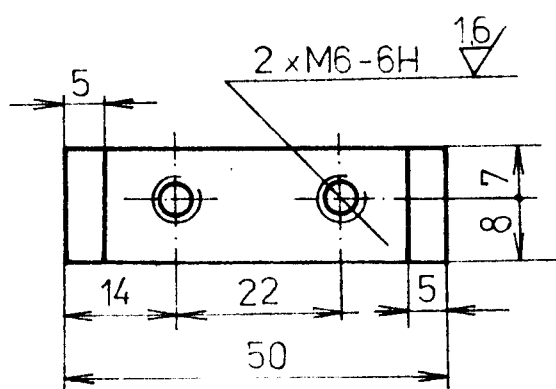
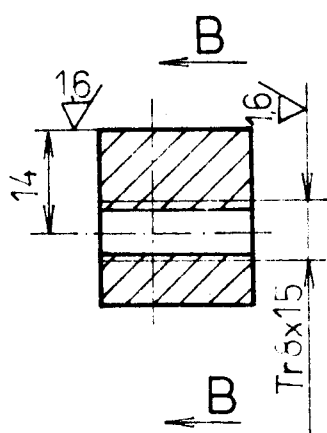
1 KTS-102-107

63
▽(▽)

ŘEZ B-B



ŘEZ A-A



11523.0
≠ 60-25-35 ČSN 425522.13

ISSAM

1:1

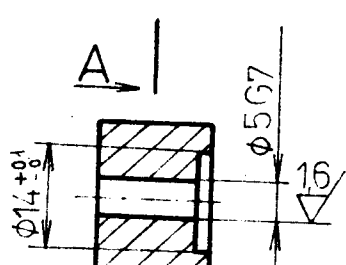
KTS-102-100

VEDENÍ 2

KTS-102-108

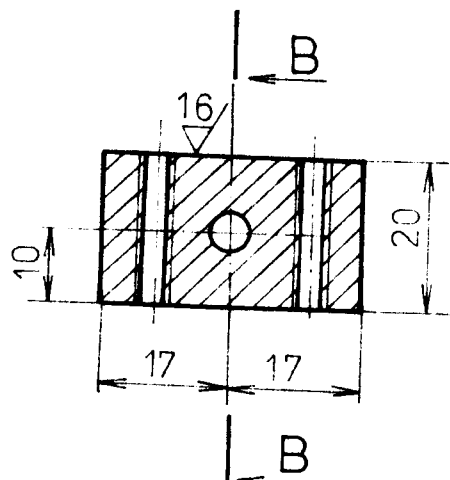
63
✓(✓)

ŘEZ B-B

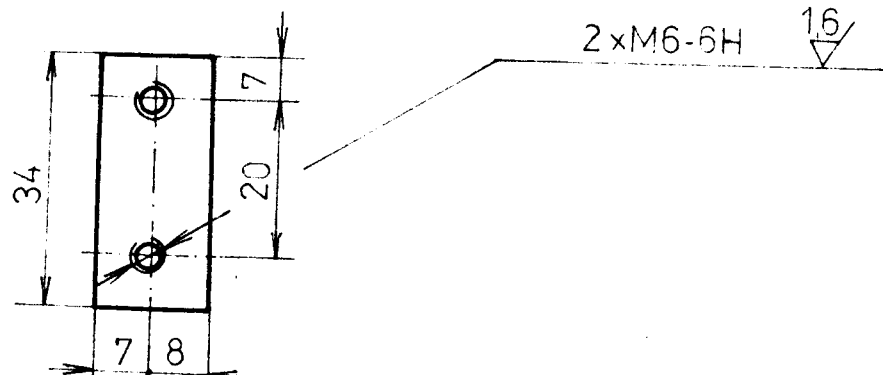


A

ŘEZ A-A



B



11523.0
#40-20-40 ČSN425522.13

ISSAM

1:1

KTS-102-100

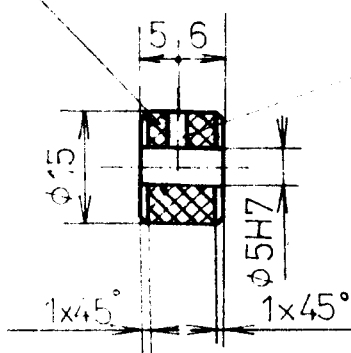
HRANOL

1

KTS-102 - 109

¹⁶
 $\nabla(\nabla')$

VROUBKOVÁNÍ ČSN 014932



³²
 ∇

M2-6q

11109_0
 $\Phi 15-20$ ČSN 426510.12

1:1

ISSAM

KTS-102-100

STAVĚCÍ KOLEČKO

1

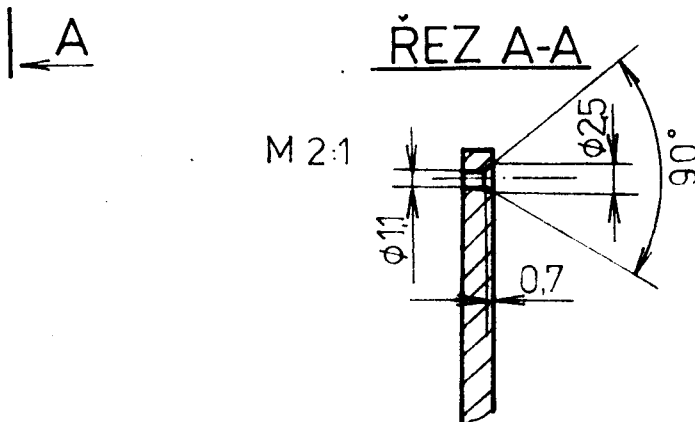
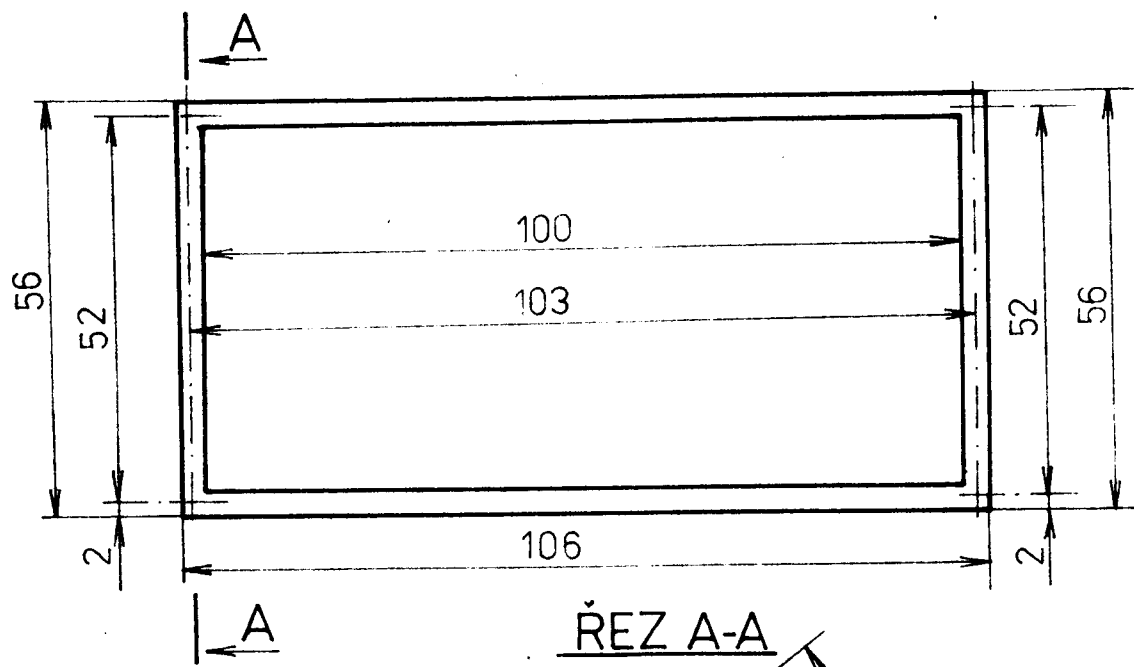
KTS-102-110

1

A' (Δ)

4 OTVORY PRO ŠROUB M1

TL.2



11473.0
PŽ-110-70 ČSN 425301.23

1:1 2:1

ISSAM

KTS-102-100

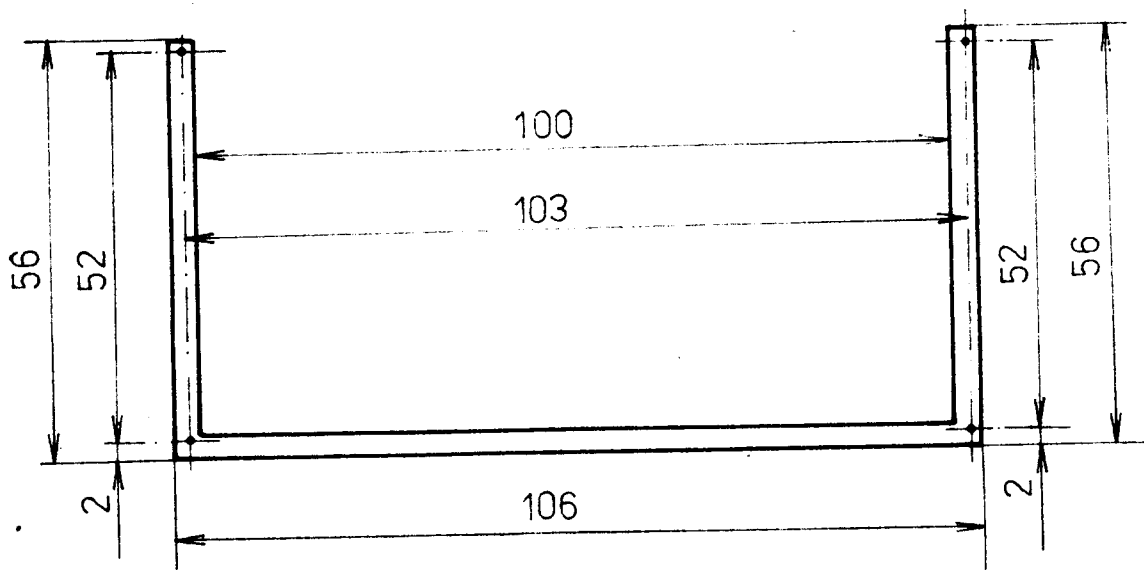
DOLNÍ RÁMEČEK

KTS-102-111

Q (Δ)

TL.2

4x M1-6q 3,2 △



11473.0
P2-110-70 ČSN 42 5301.23

1:1

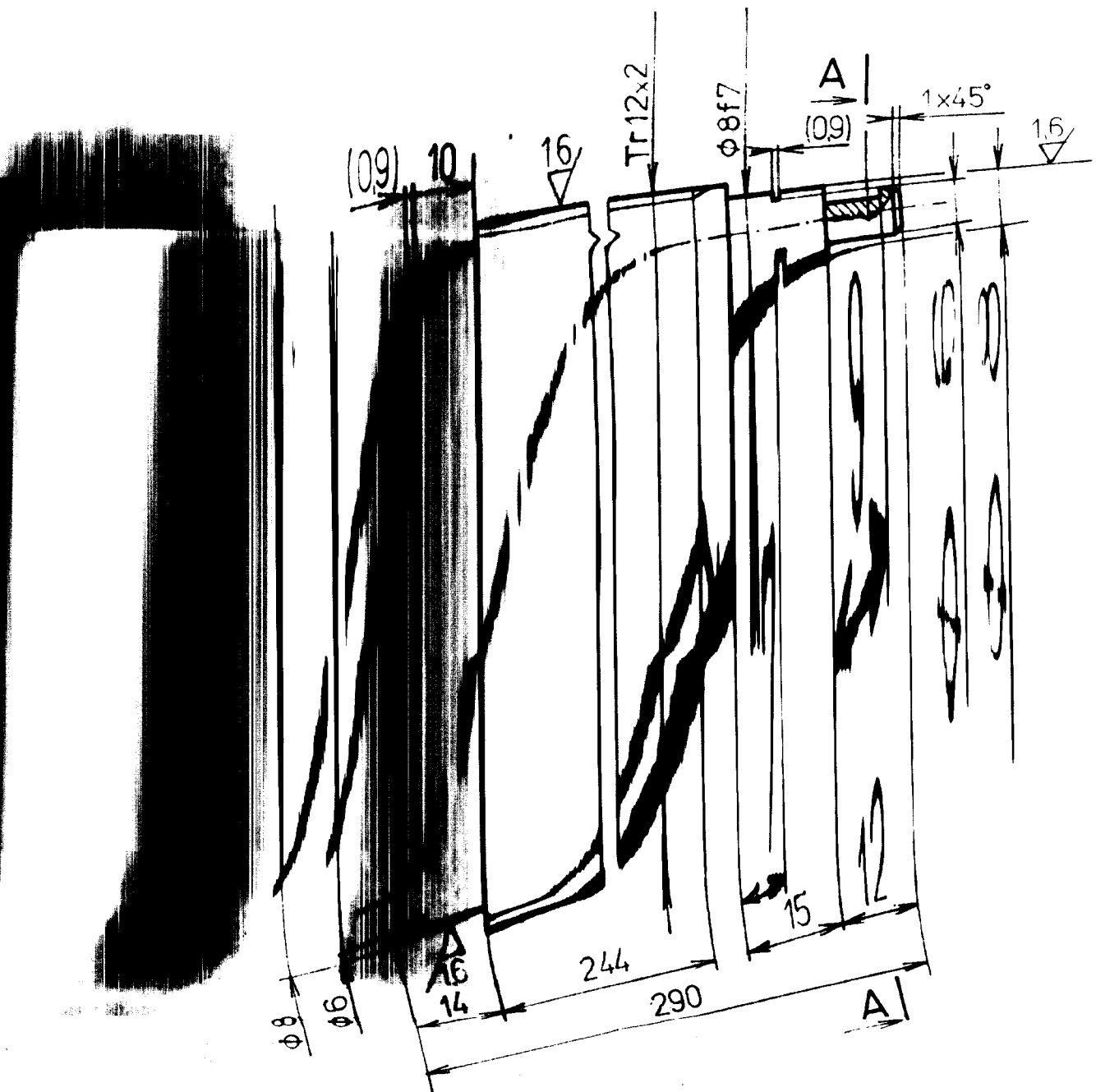
ISSAM

KTS-102-100

HORNÍ RÁMEČEK

KTS-102-112

6,3
▽(▽)

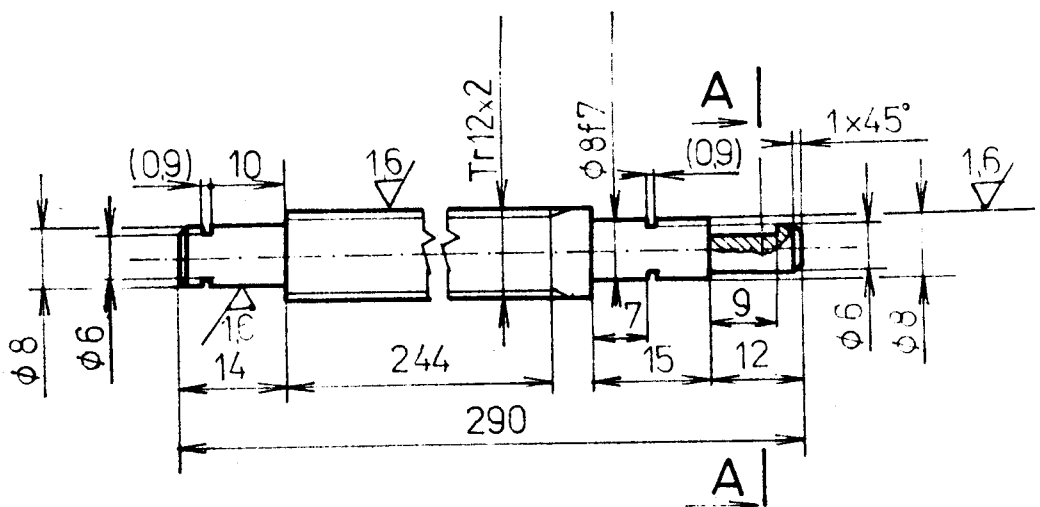


ŘEZ A-A

M 2:1

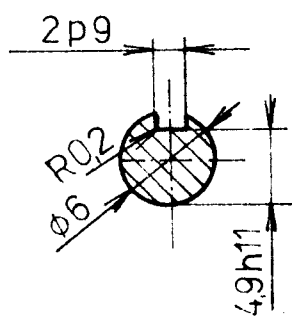
2P9

6.3 ✓(✓)



ŘEZ A-A

M 2:1



11600.0
φ14-300 ČSN 425510.1

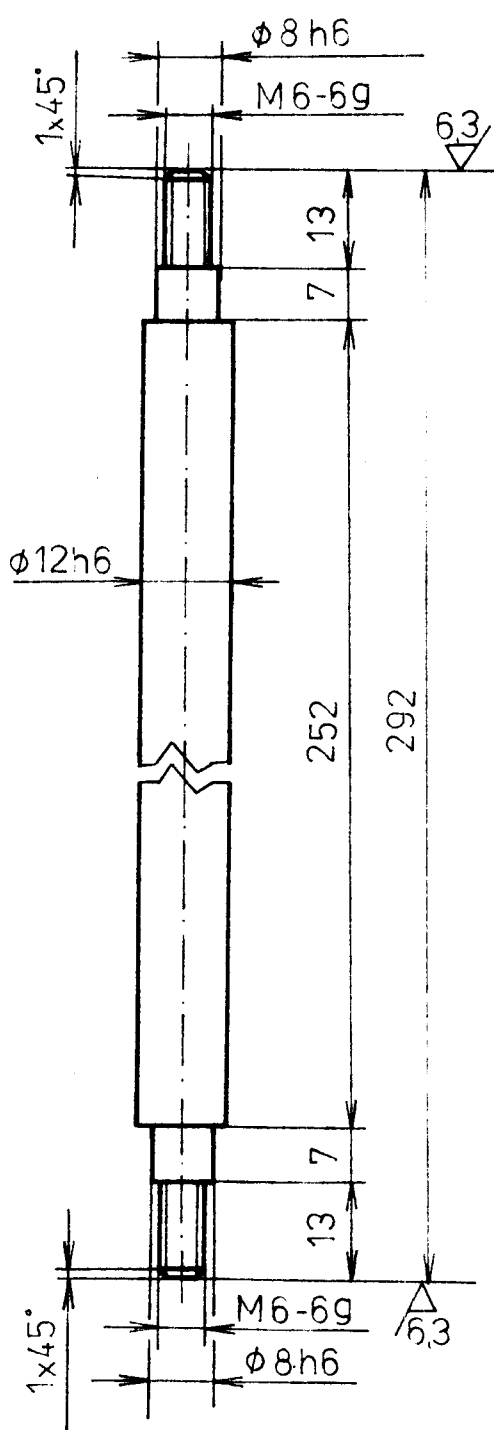
1 : 1

ISSAM

KTS-102-100

OTOČNÝ ŠROUB

1 KTS-102-113



16
△(▽)

11109.0
 $\phi 14-300$ ČSN 42 6510.12

1:1

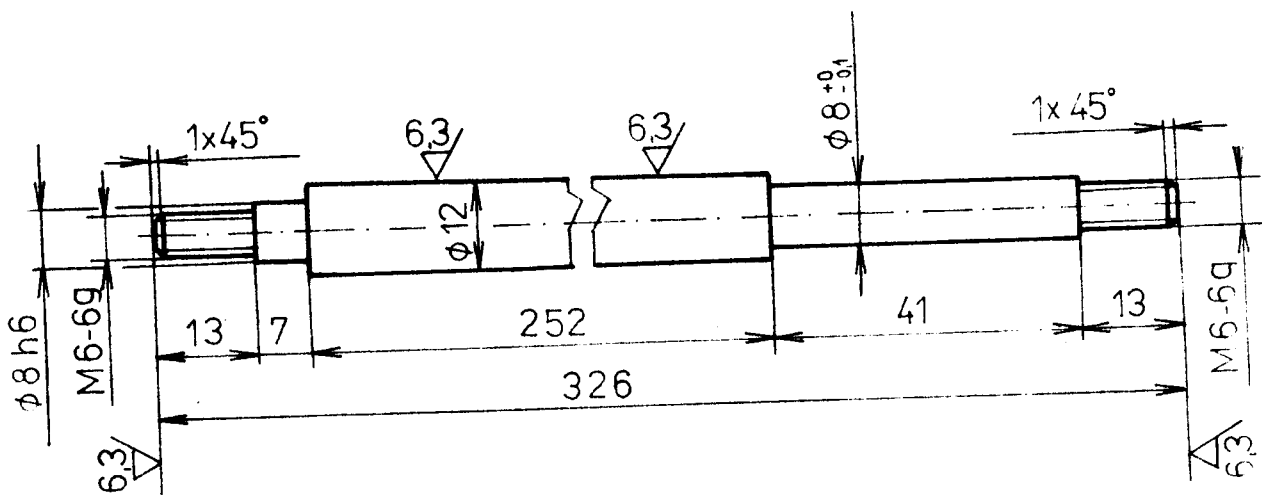
ISSAM

KTS - 102 - 100

VODÍCÍ TYČ

¹ KTS - 102 - 114

∇ (∇)
1:6



11109.0
 $\phi 14$ -340 ČSN 426510.12

1:1

ISSAM

KTS-102-100

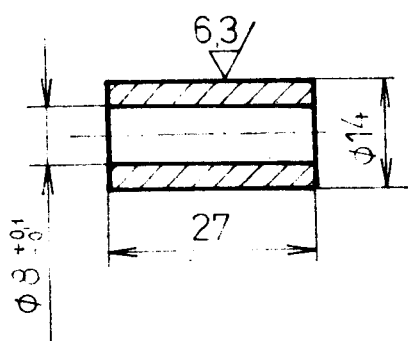
VZPĚRNÁ TYČ

1.

KTS-102-115

1

16/
▽(▽)



11523
Φ 1 1/4 - 35 ČSN 425510.12

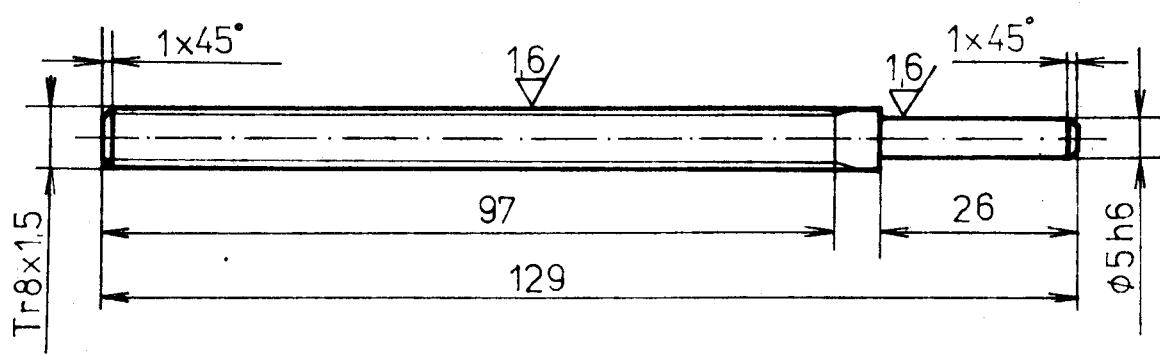
ISSAM

KTS-102-10 J

TRUBKA

KTS-102-116
1

6,3
▽(▽)



11600.0
Ø10-135 ČSN425510.1

1:1

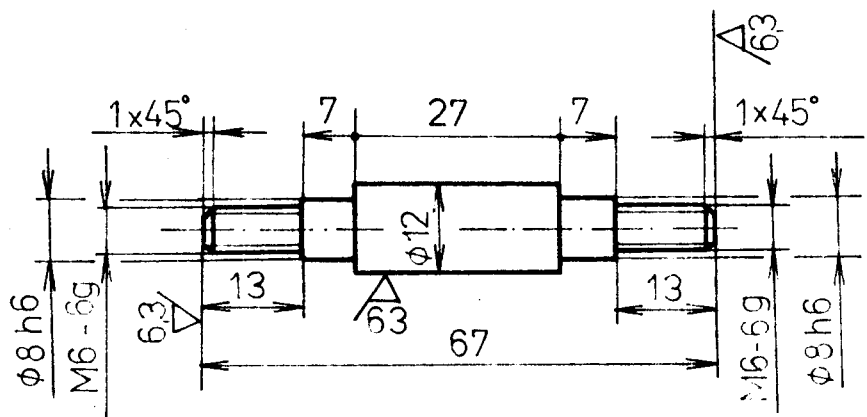
ISSAM

KTS-102-100

STAVĚCÍ ŠROUB

KTS-102-117

16
✓(✓)



11109.0
φ12-75 ČSN 425510.12
ISSAM

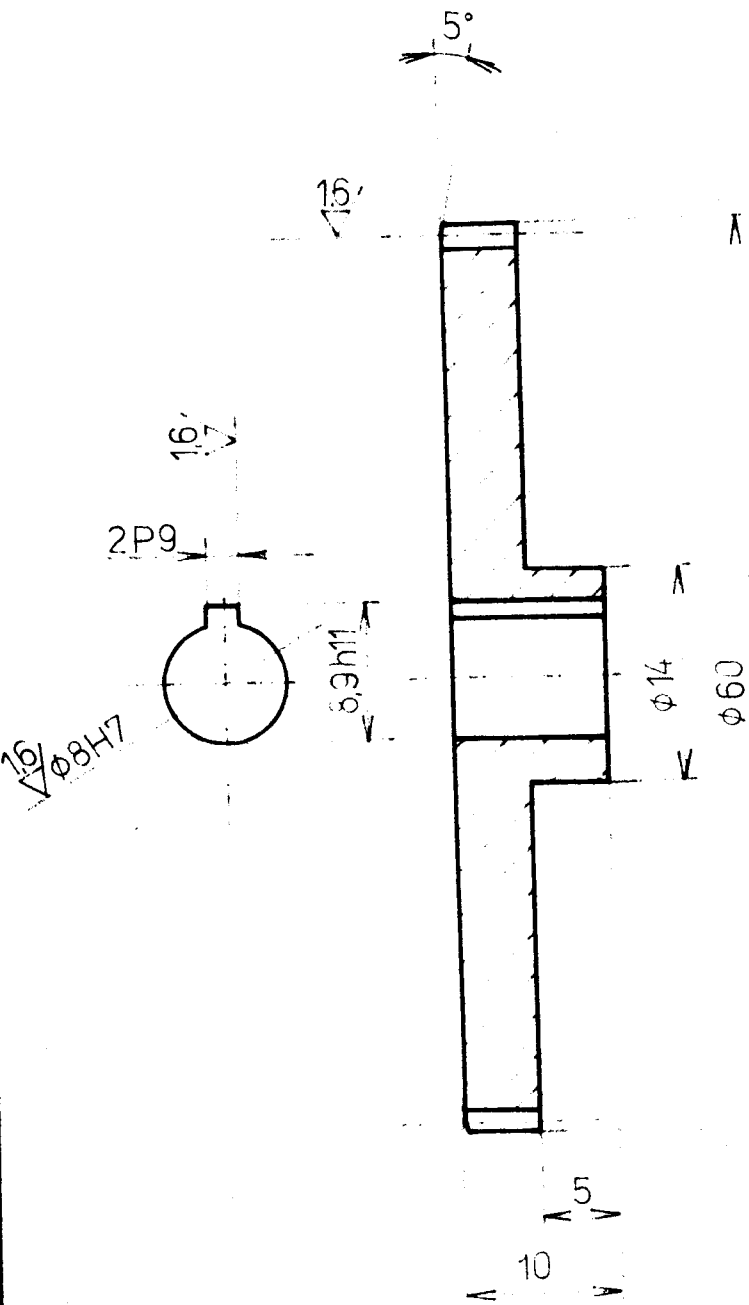
1:1

KTS-102-100

SPOJOVACÍ TYČ

1 KTS-102-118

05
120
ČSN014607
0



KTS-102-120

37.5

55441364
56
57.5

PÓZ. VZDÁLENOST OS a_w 36,25 PRO KTS-102-120

11600,6 11600,1
Ø65-15 ČSN425510,1

2:1

ISSAM

KTS-102-100

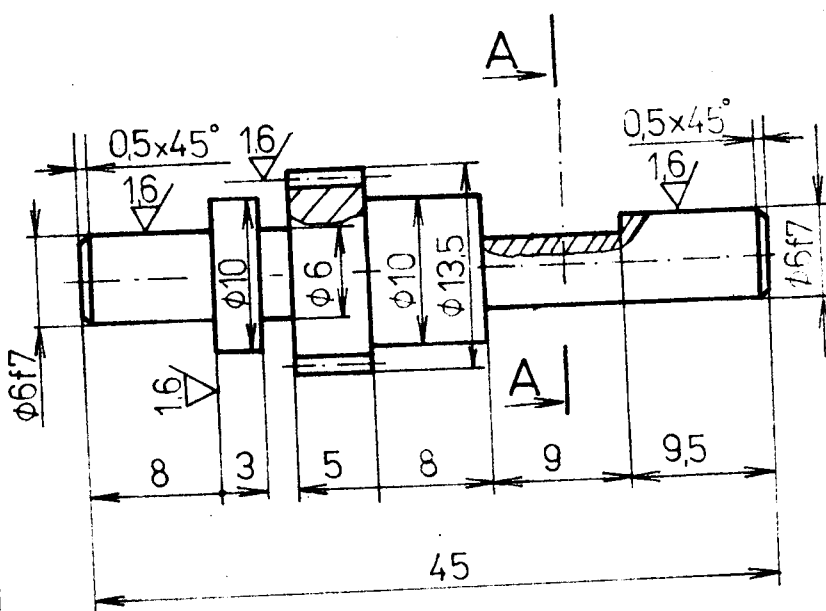
OZUBENÉ KOLO

1 KTS-102-119

32
△ (△)

05.
25

ČSN 014607
0

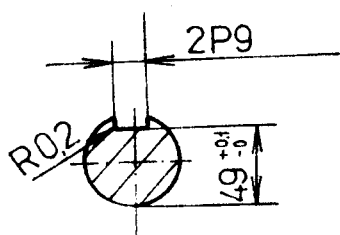


KTS-102-119

120

36,25

ŘEZ A-A



11,746157

12,5

11,25

11500.4 11500.1
φ16-50 ČSN 425510.1

2:1

ISSAM

KTS-102-100

OZUBENÝ HŘÍDEL

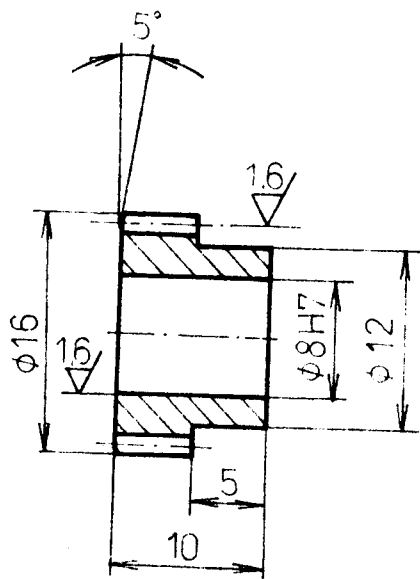
KTS-102-120
1

32
▽ (▽)

05

30

ČSN014607
0



KTS-102-119

120

37.5

14.095339

15

13.75

11500.4 11500.1
017-15 ČSN425510.1

2:1

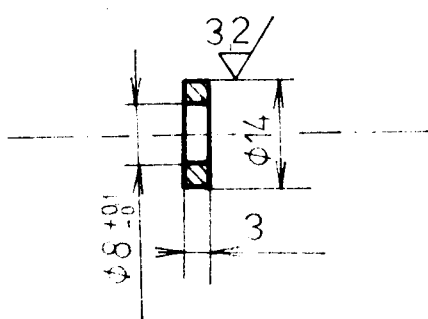
ISSAM

KTS-102-100

PASTOREK

1 KTS-102-121

16/
▽(▽)



11109.C
 $\phi 16-5$ ČSN 42 6510.12

1:1

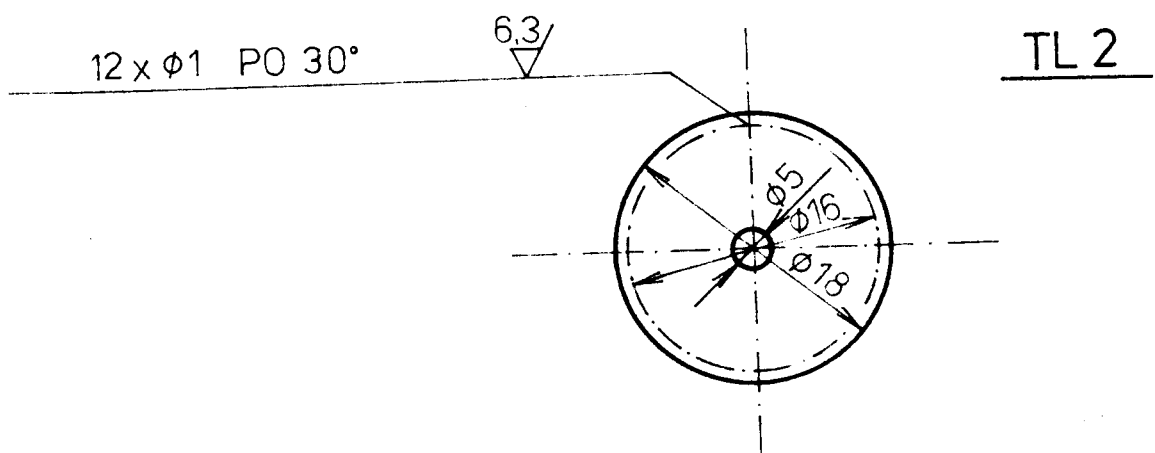
ISSAM

KTS-102-100

MONTÁŽNÍ KROUŽEK

KTS-102-122

∇^2 (∇)



11373.0
P2-20-20 ČSN 425301.21

2:1

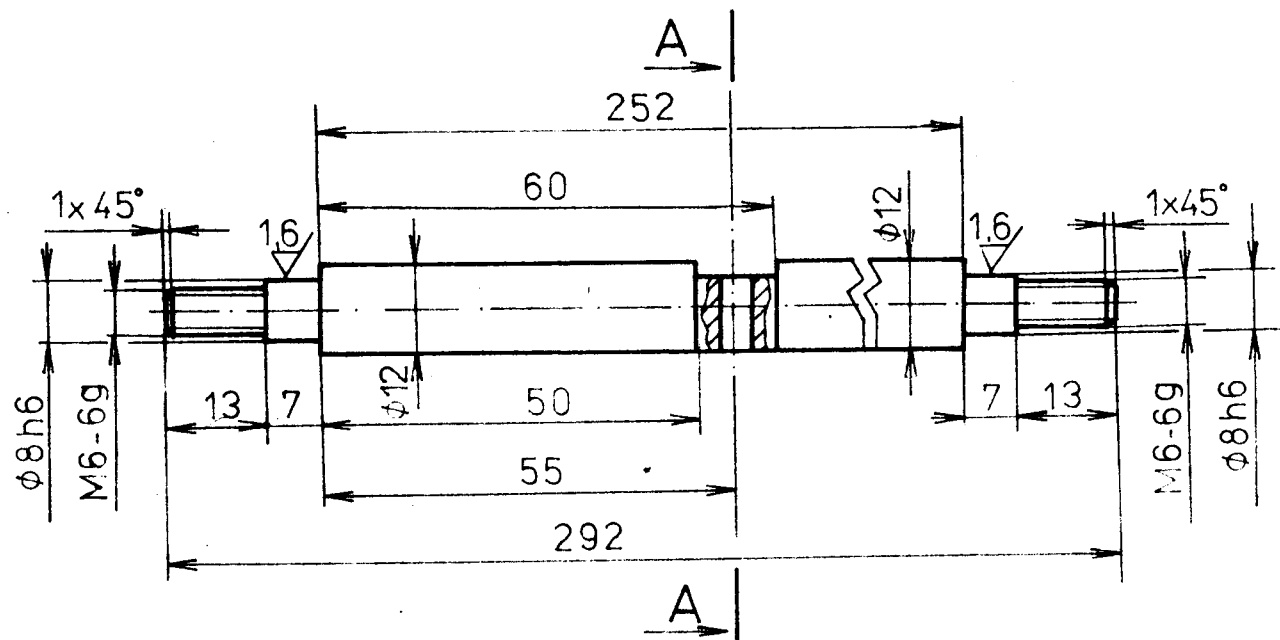
ISSAM

KTS-102-100

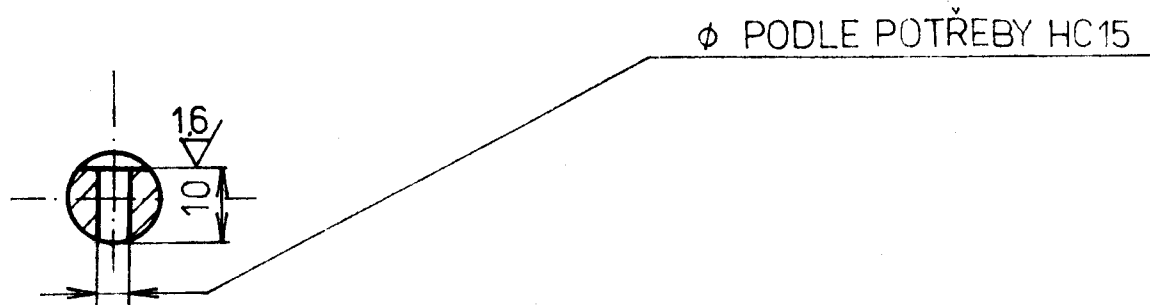
STUPNICE

KTS-102-123
1

63
✓(✓)



ŘEZ A-A



11 109.0
 ϕ 14 - 300 ČSN 426510.13

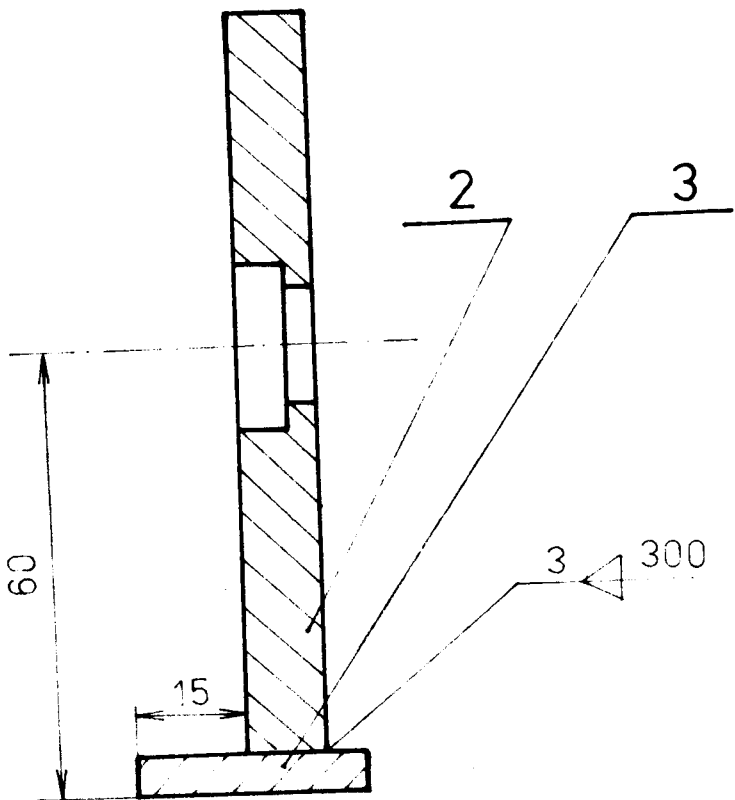
1:1

ISSAM

KTS-102-100

NOSNÍK

1 KTS-102-124



1:1

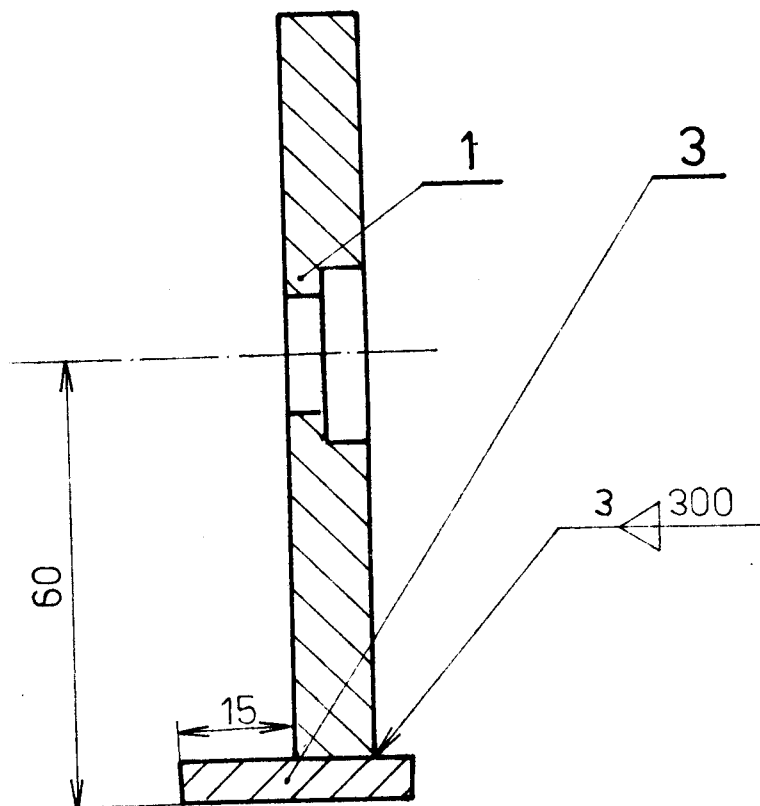
SVÁŘENEC

ISSAN

KTS-102-100

PRAVÁ POSTRANICE

KTS-102-125
1



SVAŘENEC

1:1

ISSAM

KTS-102-100

LEVÁ POSTRANICE

KTS-102-126
1